

1960

11960

CO_2

Bat B., Hansen - Nygaard²

Z. Chem. Phys., 1960, 33, 418(v)

Коррелирующая ассоциация
ионов структур.



1960

Вр - 359 - IV

CO₂

CS₂

4Б60. Ионизация и диссоциация молекул под действием моноэнергетических электронов. II. Возбужденные состояния молекулярных ионов CO₂ и CS₂. Collin Jacques. L'ionisation et la dissociation des molécules par des électrons monoénergétiques. II. États excités de l'ion moléculaire de CO₂ et CS₂. «J. chim. phys. et phys.-biol.», 1960, 57, № 5, 424—429 (Франц). — На масс-спектрометре с применением электронов, монохроматизированных методом разностей задерживающих потенциалов, зарегистрированы кривые появления мол. ионов CO₂ и CS₂. По изломам на кривых появления определены потенциалы ионизации молекул в основном и возбужденном состояниях. Получены следующие значения потенциалов ионизации (в эв): для CO₂ 13,85±0,10, 17,23±0,28, 19,25±0,40 и 21,0±0,39; для CS₂ 10,15±0,05, 12,01±0,09, 13,60±0,19, 14,76±0,25, 15,90±0,12 и 18,10±0,36. Измеренные уровни возбуждения мол. ионов идентифицированы путем сравнения с соответствующими спектроскопич. данными и с теоретич. расчетами. Ч. I см. РЖХим, 1961, № 3, ЗБ124. Е. Ф.

1961

CO_2

IV-365

(1960)

10Б67. Спектры поглощения окиси углерода в дальней ультрафиолетовой области. Damanu-Asto-in Nicole, Sanson Livia, Bonnelle Marie-Claude. Sur le spectre d'absorption de l'anhydride carbonique dans l'ultraviolet extrême. «C. r. Acad. sci.», 1960, 250, № 10, 1824—1826 (Франц.).—В области 160—1000 Å снят спектр CO_2 , который имеет три широкие полосы поглощения. Первая полоса, начинающаяся при $420\ 000 \text{ см}^{-1}$ и достигающая максимума при $144\ 000 \text{ см}^{-1}$ (17,8 эв), отвечает процессам ионизации в молекуле CO_2 . Вторая полоса между $240\ 000 \text{ см}^{-1}$ (29,8 эв) и $320\ 000 \text{ см}^{-1}$ связана, возможно, с процессами: $\text{CO}_2 \rightarrow \text{C}^+({}^2P) + \text{O}({}^4S)$ (28,3 эв) и $\text{CO}_2 \rightarrow \text{CO}^+({}^2\Sigma^+) + \text{O}({}^1D)$ (28,05 эв). Третья полоса, находящаяся выше $340\ 000 \text{ см}^{-1}$ (42 эв), вызвана процессом: $\text{CO}_2 \rightarrow \text{C}^+ + \text{O}^+ + \text{O}$ (41,3 эв).

Н. Куплетская



Х. 1961. 10

1960

CO₂CS₂CuisechleHeggenPaerels

Normal vibration calculation taking into account the anharmonicity. V. Carbon dioxide and carbon disulfide. Itaru Gamo. *Mem. School Sci. Eng., Waseda Univ., Tokyo, Japan* No. 24, 80-3(1960); cf. CA 49, 12957h. The normal vibrations for CO₂ and for CS₂ were calcd., taking anharmonicity into account. Anharmonic corrections were detd. from Courtois's (CA 51, 11066i) values of normal and fundamental frequencies for CO₂ and from Stoicheff's (CA 52, 6930b) values for CS₂. The anharmonic consts. of the 2 mols. were compared and a considerable parallelism between them was observed. The force consts. were calcd. from the normal frequencies and the cross-term consts. for each mol. were found to be far larger, but of the same order of magnitude as the resp. bending consts.

Z. P. Gavrilis

C.A. 1963-59-2
1201 gh

1960

CO₂ Valence-bond structures. A new proposal. J. W. Linnett (Univ. of California, Berkeley). *Nature* 187, 859-61 (1960).—To account for the stability of such mols. as C₆H₆ and CO₂, it is proposed to treat the electron octet as 2 groups of 4 electrons each rather than as 4 pairs. A. Querfeld, Jr.

C.A.1961·55·5·4074d

CO_2
Кислород

(1960)

Mahan B.K.,

Kinetics

J. Chem. Phys., 1960, 33, 959 (v.4).

Баланс глубокого упаривания

1960

CO_2
 C_2H_2

2535 McLean A.D.

Гасение основных состояний
 C_2H_2 и CO_2 по методу само-
сопроводящих межмолекулярных
орбит в приближении АКМО.—

J. Chem. Phys., 1960, 32, N 5,
1595 - 1597.

х. 1961. 2. 2535

W_2

1960

Moore.

McLean A. G., Ransil B. J.,

paues

Mulliken R. S.,

J. Chem. Phys., 1960, 32, 1873 (v6).

Polymerization suspension in cyclohexane to
increase in storage yield -
ga.

CO₂

1960

4B68. Поправки третьего порядка к колебательно-вращательной энергии многоатомных молекул. Maes Serge. Les corrections du troisième ordre à l'énergie de vibration-rotation des molécules polyatomiques. «Cahiers phys.», 1960, 14, № 116—117, 125—208 (франц.; рез. англ.).—Вычислены матричные элементы оператора 3-го порядка малости, входящего в преобразованный колебательно-вращательный гамильтониан многоатомный молекулы. Получены ф-лы, выражающие зависимость этих матричных элементов от квантовых чисел и молекулярных постоянных. Расчеты выполнены для трех

см. Н/б

00196164

случаев: отсутствия резонансов, «истинного» резонанса $2\omega_p \cong 3\omega$, и резонанса Ферми. Рассмотрены примеры асимметричных молекул, молекул с симметрией C_{3v} и D_{3h} и линейных молекул. С вычисленными матричными элементами составлены вековые ур-ния, определяющие поправки к значениям энергии. Эти вековые ур-ния решены для метилциана и метилизоциана. Сопоставление их микроволни. спектров с результатами расчетов позволило определить постоянные Кориолиса: $\zeta_{S^2} = 0,9405 \pm 0,0008$ и $0,930 \pm 0,005$. Теория применена к резонансу $3\omega_1 \cong 2\omega_3$ в ИК-спектре синильной кислоты, что позволило дать детальную интерпретацию этого спектра. Вычисленные коэф. в ф-ле для энергии молекул $C^{12}O_2^{16}$ и $C^{13}O_2^{16}$ хорошо согласуются с их ИК-спектрами.

М. Ковнер

CO_2

Plyler E. K., Danti A.,
Blaine L. R., Tidwell E. D. 1960

(¹¹, J. Res. Natl. Bur. Std., 64A, 29-48.
_{N.I.}

B.P. - 5166-11
Vibration-rotation structure
in absorption bands for the
calibration of spectrometers
from 2 to 16 microns.

1960

24Б89. Высшие потенциалы ионизации линейных трехатомных молекул. I. CO₂. II. CS₂, COS и N₂O. Tanaka Y., Jurso A. S., Le Blanc F. J. Higher ionization potentials of linear triatomic molecules. I. CO₂, II. CS₂, COS, and N₂O. «J. Chem. Phys.», 1960, 32, № 4, 1199—1205; 1205—1214 (англ.). — I. Исследована известная ранее, а также обнаружены две новые ридберговы серии молекулы CO₂, приводящие к потенциалам ионизации 13,78 (I), 18,23 (II) и 19,38 эв (III). Потенциал I в соответствии с интерпретацией Мелликена соответствует энергии 1π_g-МО и должен быть сравним с биэллигии 11,5 эв, рассчитанной Маллиганом (Milligan J. F. «J. Chem. Phys.», 1951, 19, 347) в приближении самосогласованного поля МО ЛКАО. Потенциал II однозначно идентифицировать не удается, однако, вероятно, потенциал II соответствует ионизации 1π_u-МО (полуэмпирич. значение Мелликена равно 1,09 мв). Потенциал III отождествлен с энергией ионизации 2σ_g-МО, причем это отнесение согласуется с расчетом Маллигана и предсказанием Мелликена. Обнаруженные в коротковолновой части спектра (1300—850 Å) неридберговы полосы связаты, возможно, с переходами ${}^1\text{S}^{\frac{1}{2}} \rightarrow {}^1\text{S}^{\frac{1}{2}}$.

Е. Никитин

CO₂
CS₂
COS

N₂O

у.бр.спектр
ногаous.

Х. 1961.24

1960
472

M. Исследованы спектры поглощения CS_2 , COS и N_2O в дальней УФ-области. На основе анализа ридберговых серий определены 4 потенциала ионизации молекулы CS_2 , равные (в eV): 1,01; 14,47; 16,18 и 19,54. Для COS определены 3 потенциала: 11,2, 16,04, 17,93 а для N_2O : 12,9, 16,4 и 20,10 eV . Полученные значения первых потенциалов ионизации удовлетворительно совпадают с определенными ранее, за исключением N_2O , где имеется расхождение. Обсуждены также перидберговые серии полос поглощения. Приводятся таблицы всех измеренных полос.

Г. Неуймин

сей
утри

1B106. Высшие потенциалы ионизации линейных трехатомных молекул. I. CO₂. Tanaka Y., Jursa A. S., LeBlanc F. J. Higher ionization potentials of linear triatomic molecules. I. CO₂, «J. Chem. Phys.», 1960, 32, № 4, 1199—1205. (англ.).—Исследована известная ранее, а также обнаружены две новые ридберговы серии молекулы CO₂, приводящие к потенциалам ионизации 13,78 (I), 18,23 (II) и 19,38 эв (III). Первый из них в соответствии с интерпретацией Мэлликена соответствует энергии 1πg-МО и должен быть сравнен с величиной 11,5 эв, рассчитанной Маллиганом (Mulligan J. F. «J. Chem. Phys.», 1951, 19, 347) в приближении самосогласованного поля ЛКАО МО. Потенциал II однозначно идентифицировать не удается, вероятно, однако, что II соответствует ионизации 1πu-МО (полуэмпирич. значение Мэлликена равно 1,09 эв). Потенциал III отождествлен с энергией ионизации 2σg-МО, причем это отнесение согласуется с расчетом Маллигана и предсказанием Мэлликена. Обнаруженные в коротковолни. части спектра (1300—850 Å) неридберговы полосы связаны, возможно, с переходами ${}^1, {}^3 \Pi_g \rightarrow {}^1 \Sigma^+ g$. Е. Никитин

1961

CO₂

N₂

negative, unknown

Yates

Absorption spectra of CO₂ and N at 160-1000 A. N. Damany-Astoin, L. Sanson, J. Romand, and B. Vodar. *Mem. Soc. Roy. Sci., Liege* 4, 202-6(1961)(in French). CO₂ and N were each introduced sep. into the body of the spectrograph at $\sim 10^{-2}$ mm. The resultant spectra were essentially several groups of bands superimposed on an absorption continuum. The N used contained O (6 p.p.m.) and H₂O (3 p.p.m.) impurities. Six (6) absorption discontinuities were observed at 15.7 e.v. (1st ionization potential of the mol.), 18.9 e.v. (through the 2nd ionization potential), 24.5 e.v. (probably due to N₂ \rightarrow N(⁴S) + N(³P)), 42 e.v. (probably due to N₂ \rightarrow N(²P⁰) + N(³P⁰)), 48.5 e.v. (probably due to the formation of N₂⁺⁺), and 66 e.v. (probably due to N₂ \rightarrow N(²P) + N⁺⁺(⁴P)). The CO₂ used was free from CO, SO₂, O, and H₂O vapor. Three distinct absorptions were observed. Discontinuities were observed at 17.8 e.v. (weak) (corresponds to the 2nd ionization potential of the mol.), 29.8 e.v. (possibly due to CO₂ \rightarrow C^{+(²P)} + 2O(⁴S)), and 42 e.v. (probably due to CO₂ \rightarrow C⁺ + O⁺ + O). 16 references.

H. M. Bowman

C.A.1962.57.1

283 gh

210 - IV

I96I

A.P. -- / N₂, NO, CO, CO₂, HCl, DBr,
HI, NH₃i /

Dorman F.H., Morrison J.D.

J.Chem.Phys., I96I, 35, N 2, 575-58-
(anu.)

Double and triple ionization in
molecules induced by electron impact.
PX, I962, 668I.

M, 10

CO_2 ($\text{C}_p, \text{S}, \text{Hr-Ho}$) E - 1534

1961

m/gcp. min

Gordon Y.S.,

J. Chem. and Eng. Data, 1961, 6, N3; 390

CO_2

G. Herzberg P.R.S.

1961

1282

Revue Universelle des Mines
chéz C. Revue Universelle des Mines
9^e série T. XVII, N^o 2, 1961.

La spectroscop. dans la science
moderne.

p 1-10

CO_2

G. Herzberg, A. Monfils,
B. Rosen.

1961

1281

Mémoires. Soc. R. Sc. Liège,
cinquième Série, tome IV,
fasc. unique. Extrait

p 146 - 178

CO_2

Wm. F. Herget, A. H. Nielsen

1961

Spectrochim. Acta, 1961, 17, 1123

Ноты из циркса $\gamma_3 \text{ CO}_2$.

Виды исследований $\gamma_3 \text{ CO}_2$ при высокой температуре
Численных данных нет, обещают опубликовать
после сдачи. постепенно

11961

12Б84. ИК-спектры толстых пленок CO_2 и $\text{CO}_2 + \text{H}_2\text{O}$ при низких температурах. J. Jacob Marilyn E., Milligan Dolphus E. The infrared spectra of thick films of CO_2 and $\text{CO}_2 + \text{H}_2\text{O}$ at low temperatures. «Spectrochim. acta», 1961, 17, № 11, 1196—1202 (англ.).—Исследованы ИК-спектры поглощения толстых пленок CO_2 и разб. твердых р-ров H_2O в CO_2 при 53 и 4° К. Для этой цели использованы ИК-спектрометр Бекмана IR-7 с решеткой и с двулучевой схемой регистрации (разрешение $\sim 0,5 \text{ см}^{-1}$). Спектрально не установлено образования комплекса между CO_2 и H_2O . Колебательные частоты решетки CO_2 (твердой) находятся в комбинации с частотами ν_2 и ν_3 CO_2 . Отнесены полосы мономера и димера H_2O в области 1600 см^{-1} . Слабое поглощение образцов при 53° К в области $\nu_1 \text{ CO}_2$ несколько возрастает при 4° К, очевидно вследствие увеличения числа дефектов в кристалле. Кроме того, при 4° К наблюдается также и $2\nu_2 \text{ CO}_2$.

Н. Чумаевский

X.1962.12.

CO,

J. Jacob

1961

Coupt. rend. 1961, 253, № 3, 425

Ихоракр. склерит утолщено симметрично
затемнен в пасітре б. ет. пасітровий.

Снерг б. в. 5600.-610 см⁻¹, пасітровий Cp_4, Cs_2 .

Мень турбілент однорідний сірий колір, котріє
післячно проявляється -  розріз, котрим, може кончи-
ти зовнішній затемненій або при зовнішній пасітровий.

I96I

CO₂

I2B208

Ketelaars J. H. F.

Retttschnick R. P. H.

ИК-полосы поглощения, включающие одновременные вращательные переходы в H₂⁰.

"J. Chem. Phys." I96I, 35, №5;
1909

Ф-I962-I2B

IV-405

1961

NH_3 , CO_2 , H_2 , N_2 (Аэл. ионов?)

CS_2 (D) BP-5205-III

Kreuz K.

Z. Naturforsch., 1961, 16a, II 12, 1378-1395
(HCM.)

Bestimmung kritischer Elektronenenergie
für die Bildung negativer Ionen bei
Elektronenstoß mittels einer RAI-Methode.

PK, 1962,
22605

H0



тест грк.

CO_2

1393-422-IV

1961

16Б70. Исследование спектра поглощения CO_2 в области 15—18 микрон при высоком разрешении. Madden Robert P. A high-resolution study of CO_2 absorption spectra between 15 and 18 microns. «J. Chem. Phys.», 1961, 35, № 6. 2083—2097 (англ.).—Исследовано поглощение в индивидуальных линиях и Q -ветвях полос CO_2 в участке спектра 15—18 μ . Определены ширины и интенсивности поглощения линий на длинноволновой стороне основной полосы v_2 и линий полосы $02^00 - 01^10 \text{C}^{12}\text{O}_2^{16}$. В последнем случае определены зависимости ширины и интенсивности линий от вращательного квантового числа I , а также параметр кориолисова взаимодействия. Интенсивности других пяти полос $\text{C}^{12}\text{O}_2^{16}$ найдены из результатов измерения их Q -ветвей. Оценены интенсивности основных полос v_2 для изотопич. молекул $\text{C}^{13}\text{O}_2^{16}$ и $\text{O}^{18}\text{C}^{12}\text{O}^{16}$. Для основной полосы $v_2 \text{C}^{12}\text{O}_2^{16}$ частично разрешена ротационная структура в Q -ветви и определены константы полосы. Найдено положение головы полосы основного колебания v_2 изотопич. молекулы $\text{O}^{18}\text{C}^{12}\text{O}^{16}$.

В. Диапов-Клоков

X-1962-16

CO₂

1 Д140. Исследование спектра поглощения CO₂ в области 15—18 μ при высоком разрешении. Madden Robert P. A high-resolution study of CO₂ absorption spectra between 15 and 18 microns. «J. Chem. Phys.», 1961, 35, № 6, 2083—2097 (англ.)

С помощью светосильного спектрометра Эберта — Фасти (относит. отверстие 1 : 6, решетка 350×350 ми, 11000 штрих/ми, высота щелей 75 ми) при разрешении 0,06—0,08 см⁻¹ в области 15—18 μ исследована вращательная структура колебательной полосы поглощения CO₂, (давл. 25—750 ми рт. ст., т-ра 300°K, длина оптич. пути 0,2—25 см). Определены положения максимумов, значения интенсивностей и полуширины вращательных линий, принадлежащих основной полосе ν₂, полосе 02°0—01°0 (P-ветвь) молекулы C¹²C₂¹⁶, а также полосам ν₂ изотопич. молекул C¹³O₂¹⁶ и O¹⁸C¹²O¹⁶. Частично разрешена вращательная структура Q-ветви основной полосы ν₂ C¹²O₂¹⁶ и вычислены вращательные постоянные молекулы. Результаты сравнены с данными других авторов. Библ. 31 назв.

Н. Ярославский

1963.10
422-89
100%

1963.10

1961

CO₂

1Б77. Высокотемпературное поглощение двуокиси углерода при 4,40 μ . Steinberg Martin, Davies William-O. High-temperature absorption of carbon dioxide at 4.40 μ . «J. Chem. Phys.», 1961, 34, № 4, 1373—1377 (англ.).—Измерено поглощение смесей 5% CO₂ в N₂ в области 4,40 μ при т-рах 1200—2100° K, оптич. плотностях 0,10—0,40 атм-см и парц. давлениях CO₂ 0—40 мм рт. ст. Газовая смесь нагревалась сжатием гелия в ударной трубе. В указанных пределах давлений и т-р оказался справедлив закон Бера. Коэф. поглощения не зависит от общего давления в пределах 0,26—1,05 атм. Эксперим. значения коэф. поглощения CO₂ качественно согласуются с теоретич. расчетами для модели гармонич. осциллятора.

А. Русин

x. 1962.1.

CO_2

Tourin R.H.;

1961

J. Opt. Soc. Am., 51, 799.

Spectral emissivity of hot
 $\text{CO}_2 - \text{H}_2\text{O}$ mixtures in the
 $2,7 \mu$ region.

CO₂ 1962
7Д75. Теоретическое изучение аномальной вращательной структуры 03¹1 вращательно-колебательного спектра C¹³O¹⁶₂. Andrade e Silva M. H., Amat G. Theoretical study of the anomalous rotational structure of level 03¹1 in the rotation-vibration spectrum of C¹³O¹⁶₂. «J. Molec. Spectrosc.», 1962, 9, № 5, 354—365 (англ.)

В работе Куртуа (РЖФиз, 1960, № 1, 2188) установлено, что вращательные подуровни с четными значениями вращательного квантового числа J полосы 01¹0—03¹1 колебательно-вращательного спектра C¹³O¹⁶₂ претерпевают вращательное возмущение, которое не происходит с уровнями с нечетными значениями J . Показано, что это возмущение не может быть объяснено непосредственным взаимодействием двух уровней и обусловлено резонансом Ферми между уровнем 03¹1 и 11¹1 (Π) и между уровнем 30⁰0 и уровнями 22⁰0; 14⁰0; 06⁰0 (Σ^+). Для этих взаимодействий вычислены матричные элементы возмущения. Составленная из них матрица распадается на две субматрицы, соответствующие симметричной и антисимметричной линейной комбинации волн. ф-ций. Из структуры этих матриц следует, что симметричный уровень 03¹1 смещается вследствие резонанса,

об. 1963 г.

а антисимметричный уровень 03^11 не смещается, что согласуется с результатами Куртуа. Матричные элементы выражены через частоты колебаний и постоянные ангармоничности и в результате решения векового ур-ния определены численные значения смещенных уровней энергии, согласующиеся с опытными данными. Помимо рассмотренного сильного резонанса, существуют слабые возмущения других уровней энергии, обусловленные недиагональными матричными элементами. Эти возмущения вызывают изменение постоянных инерций *B.*

М. Ковнер

как
твие

22 Б111. Теоретическое изучение аномальной вращательной структуры полосы 03^11 в колебательно-вращательном спектре $\text{C}^{13}\text{O}_2^{16}$. Andrade Silva M. H., Amat G. Theoretical study of the anomalous rotational structure of level 03^11 in the rotation-vibration spectrum of $\text{C}^{13}\text{O}_2^{16}$. «J. Molec. Spectrosc.», 1962, 9, № 5, 354—365 (апгл.)

Ранее предполагалось, что аномальные положения линий вращательной структуры полосы $01^10 - 03^11$ в колебательно-вращательном спектре $\text{C}^{13}\text{O}_2^{16}$ вызваны спиральным резонансом Ферми между близкими по энергии колебательными уровнями 03^11 и 30^00 . Теоретич. анализ показывает, что картина резонанса более сложная и за смещение линий в спектре ответствен ряд взаимодействий, описываемых матричными

элементами: $(11^11 | II' | 30^00)$, $(11^11 | II' | 22^00)$, $(11^11 | II' | 14^0)$, $(11^11 | II' | 06^0)$, $(11^11 | II' | 06^0)$ ($03^11 | II' | 22^00$), $(03^11 | II' | 14^0)$, $(03^11 | II' | 06^0)$. Методом теории возмущений получена общая ф-ла, описывающая положения возмущенных уровней. Ф-ла упрощена для частного случая слабого взаимодействия.

И. Милевская

Х. 1963.22

1962

CO₂Energy

1443

THEORETICAL STUDY OF THE ANOMALOUS ROTATIONAL STRUCTURE OF LEVEL 03^11 IN THE ROTATION-VIBRATION SPECTRUM OF $C^{13}O_2^{16}$. M. H. Andrade e Silva and G. Amat (Faculté des Sciences, Paris). J. Mol. Spectry., 9: 354-65(Nov. 1962).

The strong resonance which takes place between 03^11 and 30^00 levels of $C^{13}O_2^{16}$ was studied from a theoretical point of view. It was found that the off-diagonal matrix elements involved in the effect were also responsible for weak perturbations in other rotation-vibration levels of the molecule. (P.C.H.)

NSA-1963-17.2

9346 - IV

С₂Н₂

1962

(обзор) О₂Не, СН₄, Н₂, СО, СО₂)
Бажулин И.А.

Успехи физ. наук, 1962, 77, № 4, 639-648
Исследование вращательных ...

J

CO₂

24 Б97. Механизм хемилюминесцентных реакций рекомбинации с участием атомов кислорода. Супе M.,
Л. А., Thrush B. A. Mechanism of chemiluminescent combination reactions involving oxygen atoms. «Proc. Roy. Soc.», 1962, A269, № 1338, 404—418 (англ.)

Газофазные р-ции $O + NO + M \rightarrow NO_2 + M$ (1a) и $O + CO + M \rightarrow CO_2 + M$ (1c) изучены в проточной системе при 200—300° K; M = Ar, He, Ne, O₂, N₂. Атомы O получались при безэлектродном ВЧ-разряде в O₂ в кварцевой трубке ($[O]/[O_2] = 0,5—5\%$) либо при введении NO в поток атомов N, полученных при разряде в N₂, по р-ции $NO + N \rightarrow N_2 + O$. Интенсивность хемилюминесценции (ХЛ) I_a и I_c р-ций (1a) и (1c) изменилась на определенных расстояниях от места смешения фотоумножителем 9558В с фильтрами, выделяющими области 3200—3900 (для I_a) и 5000—5600 Å (для I_c); она подчиняется выражению типа $I = I_0 [O][XO]$. I_0 не зависит от полного давления, т. е. от [M], но для M = O₂ и N₂ немного больше, чем для Ne и He. Влияние природы газа-носителя указывает на механизм тройных столкновений для р-ций (1a) и (1c), а независимость от [M] — на участие третьей частицы как в стадии возбуждения, так и в стадии тушения — при

X · 1963 · 24

Сел.
чуб.

столкновении М с возбужденным продуктом Р-ции. Применение хемилюминесцентного титрования (по вводимому NO_2) позволило определить абс. конц-ию О и получить абс. значения I_{0a} (для $M = \text{O}_2$): $I_{0a} = 3 \cdot 10^6 \exp\{(+1500 \pm 400)/RT\}$, $I_{0c} = 6 \cdot 10^6 \exp\{(-3700 \pm 500)/RT\}$ см² эйнштейн⁻¹ сек⁻¹, а также константы скорости K_{1a} Р-ции (1a): $9 \cdot 10^{14} \exp\{(+1800 \pm 400)/RT\}$ см⁶ моль⁻² сек⁻¹. Отрицательные значения температурных коэф. для I_{0a} и K_{1a} связаны с обратной диссоциацией NO_2^* с высоких колебательных уровней, расположенных на 1—2 ккал/моль ниже предела диссоциации молекулы. По оценке примерно половина всех актов рекомбинации приводит к образованию электронно-возбужденного состояния NO_2 , обусловленного предиссоциацией в спектре поглощения, из которого молекула легко переходит в другое электронное состояние, обусловленное ХЛ. Совпадение температурных коэф. I_{0a} и K_{1a} показывает, что точка пересечения кривых потенциальной энергии этих состояний расположена близко к пределу диссоциации, что оба они устойчивы и что дезактивация при столкновениях не требует энергетич. барьера. Р-ция (1c) в целом запрещена, так как в ней не сохраняется спин: $\text{CO}(^1\Sigma^+) + \text{O}(^3P) \rightarrow \text{CO}_2(^1\Sigma_g^+)$. Авторы полагают, что CO_2 первично образуется в триплетном состоянии 3B_2 , из которого легко переходит в состояние 1B_2 и затем, излучая свет ХЛ, — в $^1\Sigma_g^+$. Предэкспоненты I_{0a} и I_{0c} практически одинаковы, а I_{0c} имеет положительную энергию активации, соответствующую барьеру, который преодолевает образующаяся молекула CO_2 , чтобы оказаться в устойчивом состоянии 3B_2 . Р. Васильев

CO₂

Cheupp

B9P - 7538-IV

1962

1442) ROTATIONAL PERTURBATIONS IN THE
INFRARED SPECTRA OF C¹³O₂. C. P. Courtoy (Facultés
Universitaires Notre-Dame de la Paix, Namur, Belg.), and
E. A. Triaille. J. Mol. Spectry., 9: 339-53(Nov. 1962).

Perturbation for the level 03¹1 of C¹³O₂ was studied
thoroughly. A theory developed to explain the perturbation
was systematically applied to all the energy levels that
might be affected by it. For many levels, the rotational
constants are perturbed, sometimes even for levels more
than 300 cm⁻¹ apart. (auth)

NSA-1963-17-2

$C^{13}O_2$

спектр

14 Б180. Вращательные возмущения в инфракрасном спектре $C^{13}O_2$. Courtois C. P., Traillie E. A. Rotational perturbations in the infrared spectra of $C^{13}O_2$. «J. Molec. Spectrosc.», 1962, 9, № 5, 339—353 (англ.)

1962

Методом, предложенным ранее (РЖХим, 1963, 22Б111), рассмотрены возмущения в колебательном спектре $C^{13}O_2$, вызванные резонансом Ферми. Определены положения невозмущенных уровней для ряда переходов, подверженных сильному резонансу: $(00^{\circ}1)$, $(00^{\circ}3)$, $(01^{\circ}1)$, $(01^{\circ}3)$, $(10^{\circ}1)$, $(02^{\circ}1)$, $(10^{\circ}3)$, $(02^{\circ}3)$, $(11^{\circ}1)$, $(03^{\circ}1)$, $(20^{\circ}1)$, $(12^{\circ}1)$, $(04^{\circ}1)$, $(21^{\circ}1)$, $(13^{\circ}1)$, $(05^{\circ}1)$, $(30^{\circ}1)$, $(22^{\circ}1)$, $(14^{\circ}1)$, $(06^{\circ}1)$, $(31^{\circ}1)$, $(23^{\circ}1)$, $(15^{\circ}1)$, $(07^{\circ}1)$, $(32^{\circ}1)$, $(24^{\circ}1)$. Обнаружено, что некоторые уровни, отстоящие на 100 см^{-1} и даже 200 см^{-1} , взаимодействуют сильнее, чем отстоящие на $30—40 \text{ см}^{-1}$. Параметры теории возмущений требуется вычислять для каждого частного случая. Вращательные постоянные для каждого уровня нужно вычислять только с учетом поправки на возмущение.

И. Милевская

х. 1964.14

ВФ-406-IV

1962

Рацер
сизових
наглядн.
нагл

CO₂

15 Б82. Физическое значение потенциальных констант ангармоничности для трехатомных молекул. Kichitsu Kozo, Iijima Takaо, Morino Yonezо. Physical significance of anharmonic potential constants for triatomic molecules. «Internat. Sympos. Molec. Struct. and Spectrosc. Tokyo, 1962». S. l., s. a., C308/1—C308/4 (англ.)

Метод, предложенный ранее (РЖХим, 1963, ЗБ74), применен для расчета констант ангармоничности третьего и четвертого порядка линейных и нелинейных трехатомных молекул. Для молекул CO₂, CS₂, OCS, NNO, DCN, HCN, H₂O, D₂O, H₂S, D₂S приведены вычисленные значения констант K_{ijk} , K_{ijkl} , a_i , x_{ij} , которые в большинстве случаев удовлетворительно согласуются с эксперим. данными.

А. Александров

X-1963-45

Chem. no. 9,
3 Aug. 1962 -
- quaternary
cyclic.

CO_2

Bsp-406-LV

1962

Physical significance of anharmonic potential constants for triatomic molecules. Kozo Kuchitsu, Takao Iijima, and Yonezo Morino (Univ. Tokyo). *Proc. Intern. Symp. Mol. Struct. Spectry., Tokyo 1962*, (C308), 4 pp. Cubic and quartic potential consts. and spectroscopic consts. α and x , were calcd. for

triat. mols. of the linear XY_2 , XZY , and nonlinear XY_2 types.
Values were calcd. for CO_2 , CS_2 , OCS , NNO , HCN , DCN , H_2O ,
 D_2O , H_2S , and D_2S and compare generally in sign and magnitude
with these observed.

D. A. Shiels

+ μ_{eff} .
anharmonic.

C. A. 1964 v 17 p 845.



1962

Chekiup
Benepr
(CO₂)

Photometry of the infrared spectrum of Venus, 1-2.5 μ .
Gerard P. Kuiper (Univ. of Arizona, Tucson). *Mem. Soc. Roy. Sci. Liege* 7, Fasc. Unique, 269-99(1962)(Pub. 1963). Beyond the photographic range in the spectrum of Venus, 40 absorption bands were identified as ¹²CO₂, ¹³CO₂, and ¹²C¹⁸O¹⁶O. Evidence for CO and H₂O crystals is lacking. A table lists CO₂ bands observed on Venus and in the lab. spectra. It includes so-called hot bands, i.e., those arising from higher levels, which may lead to a detn. of atm. temp.

H. K. Kiess

C.A. 1964. 60. 4
3614d

1962

CO₂

Mould H.M., Price W.C., Wilkinson G.F.

Advances. Molec. Spectrosc. Vol. 3, 1962

ИК-излучение газов, возбужденное посредством радиочастотного разряда,

W.M.C.

1962

9811 - D

H₂O (mol. pos., v)

Parkin J.E., Poole H.G.,

Raynes W.T.

Proc. Chem. Soc., 1962, July, 248-249

Inversion ...

J

CO_2

1962

6 Д191. Полосы поглощения двуокиси углерода в области 2,8—4,2 μ . Plyler Earle K., Tidwell Eugene D., Benedict W. S. Absorption bands of carbon dioxide from 2.8—4.2 μ . «J. Opt. Soc. America», 1962, 52, № 9, 1017—1022 (англ.)

Ряд слабых полос поглощения CO_2 в области 2,8—4,2 μ получен с помощью спектрометра высокого разрешения при длинах оптич. пути до 48 м·атм. Наиболее интенсивными являются две $\pi - \Sigma$ -полосы 05 1 0—000 и 13 1 0—000 со значениями ν_0 , равными соответственно 3181,45 и 3339,34 см^{-1} . Слабая полоса 101—02 0 имеет значение $\nu_0 = 2429,36 \text{ см}^{-1}$. Отдельные линии некоторых более слабых полос отмечены вблизи 3500 см^{-1} . Выполнен анализ вращательной структуры указанных полос и вычислены значения вращательных постоянных. Оценены значения суммарных интенсивностей наблюденных полос. Отмечено крайне аномальное распределение интенсивности линий в ветвях $\pi - \Sigma$ -полос, что приписано взаимодействию Кориолиса, приводящему к смешиванию волн. Ф-ций π -состояний с ф-циями ближайших Σ -состояний (02 0 1 и 101). Библ. 12 назв.

К. Василевский

Ф-1963-68

CO₂

1962

7 Б102. Полосы поглощения двуокиси углерода в области 2,8—4,2 μ . Plyler Earle K., Tidwell Eugene D., Benedict W. S. Absorption bands of carbon dioxide from 2.8—4.2 μ . «J. Opt. Soc. America», 1962, 52, № 9, 1017—1022 (англ.)

Получен ИК-спектр поглощения CO₂ с разрешенной вращательной структурой в области 2385—3540 см^{-1} при комнатной т-ре. Уточнены значения вращательных постоянных для переходов 13¹0—000, 05¹0—000, 101—0,2⁰0. В области 3500 см^{-1} обнаружена серия слабых линий, которые относятся к переходам 05³1—03³, 0,05¹1—03¹0 и 04⁰1—100. Приводятся данные по интенсивности полос и моментам перехода. Наблюдаемое в слабых (π — Σ)-перпендикулярных полосах аномальное распределение интенсивности объясняется кориолисовым взаимодействием между v_2 и v_3 .

А. А.

X·1963·7

CO₂

1962

Absorption bands of carbon dioxide, 2.8-4.2 μ . Earle K. Plyler, Eugene D. Tidwell, and W. S. Benedict (Natl. Bur. of Stds., Washington, D.C.). *J. Opt. Soc. Am.* 52, 1017-22 (1962). High-resolution data were obtained by using paths as great as 48 m.-atm. Band consts. were detd. for the transitions 13¹0-000, 05¹0-000, 101-02⁰0, and for parts of new weak bands near 3500 cm.⁻¹ Band intensities are discussed, including the highly abnormal behavior of the weak perpendicular bands.

George M. Murphy

C. A. 1963.58.3

2026a

1962

CO₂

Spectroscopic temperature and pressure measurements in the Venus atmosphere. Hyron Spinrad (Jet Propulsion Lab., Pasadena, Calif.). *Publ. Astron. Soc. Pacific* 74, 187-202(1962). Equiv. widths were measured for all the unblended lines in the P branch of the CO₂ band at 7820 Å. in the spectrum of Venus. Analysis of these data, for a clear atm., give rotational temps. from 214 to 445°K. for the region above the reflecting layer of the atm., corresponding to pressures from 1.5 to about 5 atm. The abundance derived for CO₂ at the 7820 band is about 2 km.-atm., representing about 4% of the total atm. C. C. Kiess

C.A. 1962-57-8
9357 w

CO₂

4 Д125. Уровни колебательной энергии молекулы CO₂.
Stull V. Robert, Wyatt Philip J., Plass Gilbert N. Vibrational energies of the CO₂ molecule. «J. Chem. Phys.», 1962, 37, № 7, 1442—1445 (англ.)

1962

На электронной счетной машине рассчитаны уровни колебательной энергии для восьми изотопов линейной трехатомной молекулы CO₂: C¹²O₂¹⁶, C¹³O₂¹⁶, C¹²O¹⁶O¹⁸, C¹²O¹⁶O¹⁷, C¹³O¹⁶O¹⁸, C¹³O¹⁶O¹⁷, C¹²O₂¹⁸ и C¹²O¹⁷O¹⁸. Для каждой из молекул вычислено по 1819 колебательных уровней. При расчетах в выражении для энергии учитывались члены разложения по колебательным квантовым числам до третьего порядка включительно, а также ферми-резонанс. Спиральные константы были вычислены с помощью эксперим. данных для C¹²O₂¹⁶. Диагонализация матриц и нахождение собств. значений были проведены с высокой точностью. Полученные результаты не во всех случаях согласуются с известными в литературе расчетами. Авторы объясняют это расхождение тем, что в настоящей работе были использованы новейшие данные по C¹²O₂¹⁶. Кроме того, точность выполненных в настоящей работе расчетов, с использованием машинной техники, на два порядка выше предыдущих.

Е. Пшеничнов

9 · 1963 · 49

1962

Vibrational energies of the CO₂ molecule. V. Robert Stull, Philip J. Wyatt, and Gilbert N. Plass (Ford Motor Co., Newport Beach, Calif.). *J. Chem. Phys.* 37, 1442-5(1962). The vibrational energy levels of the 8 most abundant isotopic species of CO₂ are calcd. Over 1800 energy levels are given for each isotope. The calcns. include terms to the 3rd order in the vibrational quantum nos. and take account of the Fermi resonance. The matrixes are diagonalized by an eigenvalue routine of great accuracy.

CA

C.A. 1963-53-2

940d

13 Б116. Уровни колебательной энергии молекулы
 CO_2 . Stull V. Robert, Wyatt Philip J., Plass
Gilbert N. Vibrational energies of the CO_2 molecule.
«J. Chem. Phys.», 1962, 37, № 7, 1442—1445 (англ.)

С целью расчета колебательного спектра изотопозамещенных молекул CO_2 в интервале частот 500—10 000 см^{-1} составлена программа вычисления на электронной счетной машине IBM-709. На первом этапе по эксперим. колебательному спектру CO_2 определяются спектроскопич. константы ω_i , x_{ih} и y_{ih} . Затем вычисляются отношения частот $\omega_i/\omega_i = Q_i$ для изотопно-замещенной и обычной молекулы CO_2 по теоретич. ф-лам, после чего определяются константы ангармоничности в предположении выполнения соотношений $x_{ij} = x_{ij}Q_iQ_j$, $y_{ijk} = y_{ijk}Q_iQ_jQ_k$. На втором этапе вычислений получаются колебательные уровни энергии (всего 1819 уровней для каждого из восьми изотопозамещенных молекул $\text{CO}_2^{(16,17,18)}$). На третьем этапе эти уровни используются в качестве диагональных матричных элементов при составлении энергетич. матрицы для учета ферми-резонанса. Часть резуль-

X-1963-13

татов расчета табулирована. Отмечается, что полученные величины для колебательных уровней на порядок точнее аналогичных результатов опубликованной ранее работы (РЖХим, 1959, № 4, 10762). Е. Никитин

расс

1962

CO₂

Rydberg absorption series of CO₂, converging to the $^3\Pi_u$ state of CO₂⁺. Y. Tanaka and M. Ogawa (L. G. Hanscom Field, Bedford, Mass.). *Can. J. Phys.* 40, 879-86(1962). The absorption spectrum of CO₂ was reinvestigated, 670-790 Å., with a 6.8-m. grazing-incidence-type vacuum spectrograph. The Henning Rydberg series was remeasured accurately along with its $v' = 1$ vibration series. In this manner, the ionization energy of the $2\sigma_u$ electron was detd. to be 18.076 e.v. Sixteen other Rydberg series were observed in this region. They are formed by the excitation of the $1\pi_u$ electron. The ionization potentials corresponding to the energies of the $^3\Pi_{u,1/2}$ and $^3\Pi_{u,1/2}$ states of CO₂⁺ were found to be 17.312 e.v. and 17.323 e.v., resp. CA

C.A. 1962.57.7
30744

CO₂

1962

27770 RYDBERG ABSORPTION SERIES OF CO₂ CONVERGING TO THE $^2\text{II}_u$ STATE OF CO₂⁺. Y. Tanaka and M. Ogawa Air Force Cambridge Research Labs., Bedford, Mass.). Can. J. Phys., 40: 879-86(July 1962).

The absorption spectrum of CO₂ is investigated in the region 670 to 790 Å with a 6.8-meter grazing-incidence-type vacuum spectrograph. The Henning Rydberg series is measured accurately along with its v' = 1 vibration series. In this manner, the ionization energy of the 2 σ_u electron is determined to be 18.076 ev. Sixteen other Rydberg series are observed in this region. It is concluded that they are formed by the excitation of the 1 π_u electron. The ionization potentials corresponding to the energies of the $^2\text{II}_{u\gamma}$ and $^2\text{II}_{u,\gamma}$ states of CO₂⁺ are found to be 17.312 and 17.323 ev respectively. (auth)

NASA-1962-16-80

1962

(CO₂)Потенциалы
ионизации

1Д109. Спектр поглощения серии Ридберга CO₂, сходящейся к $^2\Pi_u$ -состоянию CO₂⁺. Тапака Y., Oga-wa M. Rydberg absorption series of CO₂ converging to the $^2\Pi_u$ state of CO₂⁺. «Canad. J. Phys.», 1962, 40, № 7, 879—886 (англ.)

Повторно более точно измерен спектр поглощения CO₂ в области 670—790 Å с помощью вакуумного монохроматора с решеткой 6,8 м, 600 штрих/мм. Из измерений спектра серии Ридберга-Хеннинга установлено, что энергия ионизации 2 σ_u и электрона составляет 18,076 эв. В этой же области наблюдено 16 других серий Ридberга. Показано, что они образуются при возбуждении 1 Π_u -электрона. Потенциалы ионизации, соответствующие энергии $^2\Pi_u, 3/2$ и $^2\Pi_u, 1/2$ -состояний CO₂⁺, определены в 17,312 и 17,323 эв.

Ю. М.

об. 1963. 19.

1962

CO₂

5 Б95. Ридберговские серии поглощения CO₂, сходящиеся к состоянию $^2\Pi_u$ CO₂⁺. Tanaka Y., Ogawa M. Rydberg absorption series of CO₂ converging to the $^2\Pi_u$ state of CO₂⁺. «Canad. J. Phys.», 1962, 40, № 7, 879—886 (англ.)

На приборе с большой дисперсией (0,82 Å/мм) проведено исследование спектра поглощения CO₂ в области 670—790 Å. По схождению колебательных полос с $v'=1$ в ридберговских сериях Хеннига определена энергия отрыва $2\sigma_u$ -электрона, составляющая 18,076 эв для состояния $^2\Sigma_u^+$ CO₂⁺. В наблюдавшемся спектре выделено еще 16 ридберговских серий, связанных с возбуждением $1\Pi_u$ электрона, энергия ионизации которого составляет 17,312 и 17,323 эв соответственно для состояний $^2\Pi_{u,3/2}$ и $^2\Pi_{u,1/2}$ CO₂⁺.

А. Мальцев

X·1964·5

P62

B95-9145-1L

CQ₂

Rotational perturbations in the C¹²O₂ spectrum. E. A. Triaille and C. P. Courtoy (Centre Physique Nucl. Moleculaire, Heverle-Louvain, Belg.). *Ann. Soc. Sci. Bruxelles Ser. I* 76, 148-63(1962); cf. Andrade e Silva and Amat, CA 58, 4052g. The cor. values of the rotational consts. are given for levels susceptible of bearing this effect. Thus, the cor. consts. for the levels 30⁰1, 22⁰1, and 14⁰1 were $B = 38,784$ and $D = 8.5$, $B = 38,645$ and $D = 9.2$, and $B = 38,659$ and $D = 17$, resp. CA

C.A. 1963-58-8

#509c

$C^{12}O_2$

спектр

Воп-9145-IV

1962

V 14 Б181. Вращательные возмущения в спектре $C^{12}O_2$.
Trialle E. A., Courtoy C. R. Perturbations de rotation dans les spectres de $^{12}CO_2$. «Ann. Soc. scient. Bruxelles», 1962, Sér. 1, 76, № 3, 148—163 (франц.)

Ранее предложенным методом (РЖХим, 1963, 22Б111) рассмотрены уровни вращательного спектра $C^{12}O_2$, подверженные резонансу Ферми. Вычислены матричные элементы оператора возмущения для пар, троек, четверок, пятерок и шестерок уровней, участвующих в резонансе. Уточнены значения вращательных постоянных для ряда переходов. Результаты работы могут быть использованы для систематич. изучения вращательных постоянных молекул $C^{13}O_2$ и $C^{12}O_2$.

И. Милевская



ж. 1964.14

Тв. A. Anderson, S.H. Walewsky. 1963-64.

CO_2

Mol. Physics 1963-64, № 56, 583.

N_2O

CO_2

Дані щодо широкого спектра
можливих інтервіалів інтенсив-
ностей.

Спектр отриманий при 77°K . Відповідні кристалічні, а саме моноклінічні, та ромбічні кристали отримані на основі широкого спектра діапазонів (від 20-4000 см $^{-1}$). Помітка відсутній

will come down to sprueless
max.

7177 - V

1963

O₂, CO, CO₂, Ar (J)

Asundi R.K., Kurepa M.V.

J. Scient. Instrum, 1963, 40, N 4,
183-186

The calibration of the ...

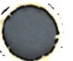
J

CO_2 (A) R.K. Asundi, M.D. ^{11/26/63} (27995)

M.V. Kurpela

Proc. Phys. Soc. 82 no 6, 967

Jas has described oil - u nitrogen -
air mix., O_2 , CO u CO_2



III O_2^-

CO_2 Berney & C., DISS. MITS, 1963, 24, N 2, 532
ИК-спектр CO_2 , обогащенного O^{18} ,
большого разрешения

CO_2 содержит до 10 ат. % O^{18} . Спектр счи-
тается в диапазоне $5400-1620 \text{ cm}^{-1}$.

$\text{C}^{12}\text{O}^{16}\text{O}^{18}$: $\nu_2, 2049, 68; \nu_3, 2332, 16; \nu_1, 2500, 73;$
 $\nu_1 + 2\nu_2, 2614, 20; 4\nu_2, 2757, 14;$
 $2\nu_3, 4639, 48$

$\text{C}^{12}\text{O}_2^{18}$: $\nu_1 + \nu_3, 3525, 23; 2\nu_1 + \nu_3, 4721, 90$

$\text{C}^{13}\text{O}^{16}\text{O}^{18}$: $\nu_3, 2265, 99$

$\text{C}^{13}\text{O}_2^{18}$: $\nu_3, 2247, 30$

Dissertation
Abstracts

1963

CO₂

Berney c. v.

Синоп.

Thesis Seattle, Univ. of
Washington, 1962, 92 pp.
NSR. 1963, 17 ('22), pp. 37246.

Всесоюзный паренхимный синопт.
CO₂ обогащенный О'18.

CO_2

1963

U.K. checkup

The high-resolution infrared spectrum of ^{18}O -enriched CO_2 .
Charles Victor Berney (Univ. of Washington, Seattle). *Univ.*
~~Microfilms~~ (Ann Arbor, Mich.), Order No. 63-3103, 92 pp.;
Dissertation Abstr. 24, 532(1963). SNDC

C.A. 1964. 60.4
3621 ed

Спектир Cook G.R., Metzger P. H. 1963
нормацне

мер.: Sympos. Nucleo. Struct. and
CO₂ Spectrosc., Columbus, 1963.
Columbus, Ohio, s.a., 74-5.

Фотоны организуют в спектр
нормализации CO и CO₂ в
вакуумной яч - обласити
спектра. (см. CO)

1963

B90-7596-IV

CO₂

7 Б183. Слабая атмосферная полоса двуокиси углерода. Diaz F. A. A weak telluric band of carbon dioxide. «J. Opt. Soc. America», 1963, 53, № 1, 203 (англ.)

Слабая атмосферная полоса поглощения в области $2,16 \mu$ отнесена к обертону $2\nu_3$ молекулы $\text{C}^{12}\text{O}^{16}\text{O}^{18}$. Для окончательной идентификации этой полосы был снят спектр поглощения CO₂ на спектрометре с дифракционной решеткой и многоходовой кюветой. По 21 измеренной линии определены молекулярные постоянные (в см^{-1}): $\nu_0 = 4639,530 \pm 0,003$; $B'' = 0,36834 \pm 0,00011$; $B' - B'' = -0,005902 \pm 0,000008$ и $D'' = 1,15 \cdot 10^{-7} \pm 0,03$, которые хорошо согласуются с расчетом и подтверждают правильность отнесения.

А. Мальцев

X·1964·7

¹²C¹⁶O₂¹⁸

1963

BOP-7596-1V

A weak telluric band of carbon dioxide. F. A. Diaz (Pennsylvania State Univ., University Park). *J. Opt. Soc. Am.* 53, 203(1963). A weak telluric absorption band, having the approx. rotational spacing of N₂O, was observed at 2.16 μ by using the sun as a light source. This band is assigned to the $2\nu_3$ band of C¹²O¹⁶O¹⁸. This assignment was confirmed by lab. measurements on 150 m.-atm. of normal CO₂. Calcd. and observed frequencies of R and P lines from J = 7 to J = 23 are tabulated. The mol. consts. obtained are: $\nu_0 = 4639.530 \pm 0.003 \text{ cm.}^{-1}$, $B'' = 0.36834 \pm 0.00011 \text{ cm.}^{-1}$, $B'-B'' = -0.005902 \pm 0.000008 \text{ cm.}^{-1}$, $D' - D'' \cong 0$.

L. C. Thomas

C.A.1963-58-8

4505d

CO_2

спектр.

излучение

1963
24 Б102. Полосы пламени окиси углерода. Di-
xion R. N. Carbon monoxide flame bands. «Disc. Farad-
ay Soc.», 1963, № 35, 105—112 (англ.)

Исследуется спектр послесвечения тлеющего разряда в углекислом газе при давл. 1—5 мм рт. ст. Спектр фотографировался на дифракционном спектрографе с высокой разрешающей силой при ширине щели 35μ с длительностью экспозиции до 5 дней. Спектр совпадает с известными полосами пламени окиси углерода, которые приписываются испусканию возбужденного CO_2 , получающегося в элементарной р-ции $\text{CO}({}^1\Sigma^+) + \text{O}({}^3P) + \text{M} \rightarrow \text{CO}_2^* + \text{M}$. Обнаружены две серии полос в области $\lambda 3100$ и 3900 А. На основе расчета возможных энергетич. уровней молекулы CO_2 , проведенного с помощью электронной вычислительной машины, спектр приписывается переходу возбужденной изогнутой молекулы $\text{CO}_2({}^1B_2)$ на верхние колебательные уровни основного состояния с линейным расположением атомов (нет спектра поглощения до $\lambda 2500$ А). Энергия состояния 1B_2 относительно наименшего основного состояния составляет $46\,700 \text{ см}^{-1}$, угол между атомами $123 \pm 3^\circ$. В. Басевич

Х. 1964. 24

CO_2

спектр

IV-III-23

10 Б95. Полосы пламени окиси углерода. Dixon R. N. The carbon monoxide flame bands. «Proc. Roy. Soc.», 1963, A275, № 1362, 431—446 (англ.)

Полосы пламени окиси углерода получены в установке для наблюдения послесвечения. (CO_2 пропускался через разрядную трубку). Сложную структуру в области 3100—3800 \AA оказалось возможным интерпретировать на основе сравнения с расчетными положениями полос, найденными в соответствии с идентификацией Гейдона: верхнее состояние принадлежит изогнутой, нижнее основное — линейной молекуле CO_2 . На основе дальнейшего колебательного и вращательного анализа и сравнения с данными других работ заключается, что испускание происходит при переходе в основное состояние ${}^1\Sigma_g^+$ с нижнего колебательного уровня и с уровня $V_2^1 = 1$ состояния 1B_2 с высотой $\sim 46000 \text{ см}^{-1}$, углом ОСО $122 \pm 2^\circ$ и длиной связи CO $1,246 \pm 0,007 \text{\AA}$. Отмечается существенное влияние резонанса Ферми в состоянии ${}^1\Sigma_g^+$. Наблюдавшиеся в испускании полосы ставятся также в связь со слабыми полосами поглощения CO_2 при 1475 \AA . В. Сошиков

1963

2. 1965. 10

CO₂

BO - 7578 - IV | 1963

(7)

Delleweeche J.

Bull. Soc. roy. sci.
Liege, 1963, 32,
N 11-12; 854-62

1963

CO₂

Boggers R.F.

U.K.

Cernyj

Dissertation Abstracts, 1963,
24 (2), 539.

The High-Resolution infra
red spectrum of O¹⁸-en-
riched CO₂.

1963

CO₂Gebbie H.A., Stone N.W.B.Phil. Mag.Proc. Phys. Soc., 82, N4, S43canadensisregerCO₂

Внуждение нормальное, вызываемое
одновременно, в начале и в конце

Нормальное в мк. 20-10 cm⁻¹

CO_2

Graner Y.

1963

Spectrochim. acta, 19, n/2,
структура 2113.

Изучение малы-
хших структур на
основе зондирую-
щихся ионов
(ион HCN)

9795 - IV

1963

CO₂ (Apayai. nov.)

Heill H.W.

Sympos. Molec. Struct. and Spectrosc.,
Columbus, 1963, "Columbus, Ohio,
s.a. 53

Line inversion in the ...

J

CO₂

1963
112-483-090

7 Б170. Полосы поглощения двуокиси углерода в ди-
апазоне от 5,3 до 4,6 μ . Maki Arthur G., Plyler
Earle K., Thibault Robert J. Absorption bands
of carbon dioxide from 5.3 to 4.6 microns. «J. Res.
Nat. Bur. Standards», 1963, A67, № 3, 219—223
(англ.)

1963

С помощью ИК-спектрометра высокого разрешения из-
мерены частоты линий в спектре поглощения CO₂ от
1850 до 2150 см^{-1} . Большая часть измерений сделана для
слоя 24 м и давлений <1 атм, хотя при поисках слабых
линий давление повышалось до 3 атм. Для достижения
наибольшего разрешения в сильной Q-ветви использова-
лись слои 4 м, что позволило уменьшить потери при от-
ражении в многоходовой кювете. Среднеквадратичная
дисперсия результатов измерений составляет в разных
случаях от 0,003 до 0,006 см^{-1} . Получены вращательно-
колебательные константы для переходов 11^{1c} 0—000,
11^{1d}0—000, 03^{1c}0—000, 03^{1d}0—000, 200—01^{1c}0, 12^{2c}0—01^{1c}0,
12^{2d}0—01^{1d}0 молекулы C¹²O₂, а также 11^{1c}0—000 молеку-
лы C¹³O₂.

В. Дианов-Клоков

X. 1964. 7

1963

CO₂Clegg

B93-8348-IV

Absorption bands of carbon dioxide from 5.3 to 4.6 μ . Arthur G. Maki, Earle K. Plyler, and Robert J. Thibault. *J. Res. Natl. Bur. Std. A67*, 219-23(1963). Measurements at pressures and path lengths up to a max. of 72 m.-atm. were made of the frequencies of the infrared absorption lines of C¹²O₂ and C¹³O₂ in the region 1850-2150 cm.⁻¹. The following vibration-rotation consts. were obtained (transition, ν_0 (cm.⁻¹), B' (cm.⁻¹), $D' \times 10^8$ (cm.⁻¹)): C¹²O₂, 1200-01^{1c}0, 2129.769, 0.39058₇, —; 12^{2d}0-01^{1c}0, 2093.356, 0.39151₂, —; 12^{2d}0-01^{1d}0, 2093.356, 0.39151₂, 01^{1c}0, 2093.356, 0.39151₂, —; 03^{1c}0-000, 1932.477, 0.39072₃, 14.6; 03^{1d}0-000, 1932.477, 0.39167₇, —; 11^{1c}0-000, 2076.890, 0.39037₇, 12.8; 11^{1d}0-000, 2076.890, 0.39131₁, —; C¹³O₂, 11^{1c}0-000, 2037.093, 0.39004, 12.3.

Walter J. Lafferty

C.A.1963.59.5

4676c

1963

Вор - 8348 - IV

(0₂)

бенз

J 4 Д235. Полосы поглощения двуокиси углерода в области 5,3—4,6 μ . Maki Arthur G., Plylet Eagle K., Thibault Robert J. Absorption bands of carbon dioxide from 5.3 to 4.6 microns. «J. Res. Nat. Bur. Standards», 1963, A67, № 3, 219—223 (англ.)

В области 1850—2150 см^{-1} исследованы полосы поглощения молекулы CO_2 , полученные при различных давлениях и длинах пути с помощью спектрометра высокого разрешения. Измерены частоты линий и определены значения постоянных v_0 , B'' , B' , D'' , D' , ΔB и ΔD для $11^{1c}0-000$ -, $111^{d}0-000$ -, $03^{1c}0-000$ -, $031^{d}0-000$ -, $200-01^{1c}0$ -, $12^{2c}0-01^{1c}0$ -, $12^{2d}0-01^{1d}0$ -полос для C^{12}O_2 и $11^{1c}0-000$ -полосы C^{13}O_2 . Полученные результаты со-поставлены с данными других исследователей. Библ. 14 назв.

К. Василевский

Ф. 1964. ЧЯ

1963

CO₂

U.K.

Wenng

27361

ABSORPTION BANDS OF CARBON DIOXIDE
FROM 5.3 TO 4.6 MICRONS. Arthur G. Maki, Earle K.
Plyler, and Robert J. Thibault. J. Res. Natl. Bur. Std.,
67A: 219-23(May-June 1963).

Measurements were made of the frequencies of the infrared absorption lines of CO₂ in the region from 1850 cm⁻¹ to 2150 cm⁻¹. Observations were made at various pressures and pathlengths up to a maximum of 72 meter-atmospheres. Vibration-rotation constants were obtained characterizing the transitions 11^{1c}0-000, 11^{1d}0-000, 03^{1c}0-000, 03^{1d}0-000, 200-01^{1c}0, 12^{2c}0-01^{1c}0, 12^{2d}0-01^{1d}0 for C¹²O₂. The 11^{1c}0-000 band due to the C¹³O₂ molecule was also measured. (auth)

NSA-1963-17-16

1963

CO₂использовать
свободность

Infrared emissivity of carbon dioxide (4.3- μ band). W. Malkmus (Gen. Dynamics/Astronautics, San Diego, Calif.). *J. Opt. Soc. Am.* 53(8), 951-61(1963). A simplified analysis to predict emissivities of the CO₂ 4.3- μ band employed an oscillator model assumed harmonic for computing band intensities, and anharmonic for the spectral distribution of the emitted radiation. Calcd. values of S/d , and $2\alpha_0^{1/2}S^{1/2}/d$ were given for 300-3000°K. Emissivities were calcd. for pure Doppler line shape for 300-1500°K. The results were in good agreement with published exptl. data, and in disagreement with other theoretical calcns.

William T. Anderson, Jr.

C.A.1963 · 59 · 8
8266c

1963

CO₂

McLean A.D.

reference.

J. Chem. Phys., 1963, 38, 1347 (n° 6)

place-

Extended basis-set LCSTO-LAO-
-SCF calculations on the ground
state of carbon dioxide.

IV-8330

Sept (No 1)

1963

Addison Robert E. A high-resolution
study of Cu₂ absorption spectra between
15 and 18 microns. "J. Chem. Phys.", 1961,
35, N 6, 2083-2097 (Am.).

2900, 1963, 10 140

10

CO_2

1963

2 Д192. Линейная инверсия спектров испускания двуокиси углерода. Neill Howard W. Line inversion in the emission spectrum of carbon dioxide. Abstract. «Sypos. Molec. Struct. and Spectrosc, Columbus, 1963». Columbus, Ohio, s. a., 53 (англ.)

Получен спектр горячих газов высокотемпературного пламени горения углеводородов в области 4 μ . Исследована вращательная структура полос «горячей» углекислоты. Предложено использовать структуру эмиссионных полос CO_2 при 4 μ для определения разрешающей способности монохроматоров в этой области. Д. Г.

д. 1965.28

1963

CO₂V
3

Statistical model applied to the region of the ν_3 fundamental of CO₂ at 1200°K. U. P. Oppenheim and Y. Ben-Aryeh (Technion-Israel Inst. Tech., Haifa). *J. Opt. Soc. Am.* 53, 344-50 (1963). A method is described whereby the observed emissivity of a statistical band is correlated with the exptl. parameters of CO₂. The method is applied to the 4.3- μ bands of CO₂ at 1200°K. The model predicted the emissivity correctly over wide ranges of pressure and optical path. B. E. Hankins

C.A. 1963.58.11
10860de

IV-449

1963

CO_2 (91)

Flyler Leslie A., Mitchell Eugene D.,
Condict W.H.

Absorption bands of carbon dioxide
from 2.0-4.2 "Dept. Soc. Mexican",
1962, 52, L 9, 1017-1022 (ann.)

Aug. 1963, 7, 6102

egp open

10

1963

Бор-10211-IV

 CO_2

6 Б81. Вращательные спектры комбинационного рассеяния. I. Двуокись углерода CO_2 . Тюлин В. И., Татевский В. М. «Оптика и спектроскопия», 1963, 15, № 1, 38—41

В качестве примера использования сконструированной авторами многоходовой кюветы для получения спектров комб. расс. на приборе высокой разрешающей силы (ДФС-3) исследован чисто вращательный спектр комб. расс. CO_2 . Вычисленные значения B_0 и D , находятся в хорошем согласии с литературными данными. А. Бобров

Х 1964. 6

1963

 CO_2

В9Р-10211-IV

V4 Д236. Вращательные спектры комбинационного рассеяния. I. Двуокись углерода CO_2 . Тюлин В. И., Татевский В. М. «Оптика и спектроскопия», 1963, 15, № 1, 38—41

Получены спектры комб. рас. CO_2 в газообразном состоянии на приборе ДФС-3 в первом порядке с линейной дисперсией $10 \text{ см}^{-1}/\text{мм}$ при возбуждении ртутной лампой с $\lambda=4358 \text{ \AA}$. Определены вращательные постоянные B_0 и D , по методу наименьших квадратов, хорошо совпадающие с литературными данными. Библ. 15 назв.

Ф. 1964. Ч. 2

CO₂

Chelyab

1963

Rotational Raman spectra. I. Carbon dioxide. V. I. Tyulin and V. M. Tatevskii. *Optika i Spektroskopiya* 15(1), 38-41 (1963). A method is described for the investigation of the rotational structure of vibrational bands, i.e., of the rotational-vibrational interaction, particularly for mols. without a dipole moment. As excitation source were used 2 Hg lamps (λ 4358 Å) having a discharge distance of about 2 m. and a working current of 25-7 amp. (*ibid.* 14(4), 582-5). Both lamps were located inside a reflector coated with MgO. A multi-channel cell (rated at 10 atm. pressure) with 4 mirrors in coaxial arrangement (Stoicheff, *Usp. Spektroskopii*, Moscow 1963, p. 115) had a vol. of 5 l. The focal length of the mirrors was 2 m., diam. 40 mm., and the reflection coeff. for the 4358-A. line was 97-8%. The spectra of CO₂, kept in the cell at 3.5 atm., were photographed on orthochromatic plates (Raman-Platten Agfa) with exposure time 2.5-10 hrs. The linear dispersion of the spectrograph was 10 and 4.6 cm.⁻¹/mm. with the max. of the reflection lying in the 6800-A. region. Based on the obtained spectrum, the rotational consts. of CO₂ were: $B_0 = 0.3901 \pm 1.5 \times 10^{-4}$ cm.⁻¹ and $D_0 = (10 \pm 1.5) \times 10^8$ cm.⁻¹ A. P. Kotlobay

C.A.1963 50.9
g482a

Bop-10211-IV

0030p

9209-IV

Csp aus. Wm.

1963
)-H₂, HCl, HBr, CO,
CO₂, CH₄, H₂O & ^{pp.}

Vodex-Ho, Va II.

Spectrum, Spectroco. and Radiat.
Spectator, 1963, 3, 14, 4, 397-433

Intensities absolute des transitions

LPh, 1964, 00163

CO_2
спектр

1964.

11 Б184. Инфракрасный спектр двуокиси углерода, обогащенного кислородом-18. Bergneу Charles V., Eggers David F., Jr. Infrared spectrum of carbon dioxide, enriched in oxygen-18. «J. Chem. Phys.», 1964, 40, № 4, 990—1000 (англ.)

Инфракрасный спектр CO_2 , обогащенной на 10% O^{18} , изучен в области 1620—5400 см^{-1} с помощью решеточного спектрометра Эберта со спектральными ширинами щели 0,2—0,4 см^{-1} . Десять ранее не сообщавшихся полос: 2049,68; 2232,16; 2500,73; 2614,20; 2757,14; 4639,48; 3525,23; 4721,90; 2265,98; 2247,30 см^{-1} — были анализированы и отнесены к различным замещениям O^{18} в CO_2 . Произведен расчет вращательных постоянных B' , B'' , D' и D'' и положения центров полос. Аномально высокие значения постоянной Ферми W_0' , примененные для расчета положения полос $\text{C}^{12}\text{O}^{16}\text{O}^{18}$ и $\text{C}^{13}\text{O}^{16}\text{O}^{18}$, подтверждены выделением новых полос ферми-резонанса 3525,23 и 4721,90 см^{-1} . Эти полосы отнесены к молекуле $\text{C}^{12}\text{O}_2^{18}$, а их положение показывает, что W_0' для этой молекулы больше, чем W_0' для $\text{C}^{12}\text{O}^{16}\text{O}^{18}$. Резо-

х. 1965. 11

иансное взаимодействие, найденное в $\text{C}^{12}\text{O}^{16}\text{O}^{18}$, зависит от потенциальной постоянной k_{113} , которая для симметричных молекул равна нулю. Л. Комарова

CO_2

ИК-спектр

254

111

1 Д138. ИК-спектр CO_2 , обогащенного O^{18} . Вегнеру Charles V., Eggers David F., Jr. Infrared spectrum of carbon dioxide, enriched in oxygen-18. «J. Chem. Phys.», 1964, 40, № 4, 990—1000 (англ.)

Получен ИК-спектр CO_2 , обогащенного ~ 10 ат.% O^{18} в области 1620 — 5400 см^{-1} с помощью спектрометра с решеткой со спектральной шириной щели $0,2$ — $0,4 \text{ см}^{-1}$. Наблюдены 10 новых полос, отождествленных с различными типами изотопного замещения CO_2 . Подтверждены результаты Куртуа (Courtois G. P. «Ann. Soc. scient. Bruxelles», Sér. I, 1959, 73, 5), для $\text{C}^{12}\text{O}^{16}\text{O}^{18}$ в области 2μ . Неожиданно высокая величина константы резонанса Ферми для этого соединения по Куртуа подтверждена разрешением ранее не наблюденных полос с резонансом Ферми. Из положения двух полос, отождествленных с $\text{C}^{12}\text{O}_2^{18}$, следует, что константа резонанса для этого соединения более высока. Обнаружено, что резонансное взаимодействие в $\text{C}^{12}\text{O}^{16}\text{O}^{18}$ зависит от потенц. константы k_{113} . Библ. 14 назв.

1964

ф. 1965. 18

1964

*CO₂**UK energy*

**12079) INFRARED SPECTRUM OF CARBON DIOXIDE,
ENRICHED IN OXYGEN-18.** Charles V. Berney and
David F. Eggers, Jr. (Univ. of Washington, Seattle). J.
Chem. Phys., 40: 990-1000(Feb. 15, 1964).

The infrared spectrum of a sample of carbon dioxide enriched to about 10 at. % with O¹⁸ was examined in the region 1620-5400 cm⁻¹, using an Ebert grating spectrometer with spectral slitwidths ranging from 0.2 to 0.4 cm⁻¹. Ten previously unreported bands were analyzed and assigned to various species of O¹⁸ substituted carbon dioxide and Courtoy's results for C¹²O¹⁶O¹⁸ in the 2- μ region were confirmed. Courtoy's unexpectedly high value for the Fermi resonance constant of this species was confirmed by the separation of previously unreported Fermi-resonant bands. The positions of the two bands assigned to C¹²O₂¹⁸ suggest that the resonance constant for this species is larger still. A resonance interaction was found in C¹²O¹⁶O¹⁸, dependent on the potential constant k₁₁₃. (auth)

NSA · 1964 · 18 · 8

CO₂¹⁸

1964

envelope

Infrared spectrum of carbon dioxide, enriched in oxygen-18. Charles V. Berney and David F. Eggers, Jr. (Univ. of Washington, Seattle). *J. Chem. Phys.* 40(4), 990-1000(1964). The infrared spectrum of CO₂ enriched to ~10 at. % with ¹⁸O was examd., 1620-5400 cm.⁻¹. Ten previously unreported bands were analyzed and assigned to various species of ¹⁸O substituted CO₂ and Courtoy's results (*CA* 53, 15763a) for ¹²C¹⁶O¹⁸O in the 2-μ region were confirmed. Courtoy's unexpectedly high value for the Fermi resonance const. of this species was confirmed by the sepn. of previously unreported Fermi-resonant bands. The positions of the 2 bands assigned to ¹²C¹⁸O suggest that the resonance const. for this species is larger still. A resonance interaction was found in ¹²C¹⁶O¹⁸O, dependent on the potential const. k_{113} .

RCJQ

C.A. 1964. 60.6
6347 fg

CO_2

вращат.
последи-
мое

IV-9583

196

V1 Д55. Исправленные значения вращательных постоянных $^{12}\text{CO}_2$ и $^{13}\text{CO}_2$. Courtoy C. P. Valeurs corrigées pour les constantes de rotation de $^{12}\text{CO}_2$ et $^{13}\text{CO}_2$. Résumé. «Mém. Soc. roy. sci. Liège», 1964, 9, 54 (франц.)

На основании исправленных опытных значений вращательной постоянной В молекул $^{12}\text{CO}_2$ и $^{13}\text{CO}_2$ в их различных колебательных состояниях определены наиболее удовлетворительные численные значения постоянных, определяющих зависимость В от колебательных квантовых чисел.

Ф. 1965. 18

C₁₂O₂ 1964
19936 A STUDY OF THE HIGH-RESOLUTION INFRA-
RED ADSORPTION SPECTRUM OF C¹²O¹⁸ BETWEEN 1800
AND 5000 CM⁻¹. Charles Chackerian, Jr. Thesis, Seattle,
Univ. of Washington, 1964. 103p.

A sample of carbon dioxide ninety-five per cent of which is C¹²O¹⁸ was prepared, and a number of vibration-rotation infrared absorption bands of this molecule was measured using a 1.5-meter Ebert spectrometer in the region between 1800 and 5000 cm⁻¹. Quadratic and cubic vibrational anharmonicity constants calculated from the corresponding constants in normal carbon dioxide via simple isotopic substitution rules were used to calculate vibrational band centers, and the agreement with experimentally determined band centers is good. A set of Fermi resonance parameters was determined to fit the seven bands involved in Fermi resonance, which have been observed ($\lambda_1 = 0.05$ cm⁻¹, $\lambda_2 = 0.39$ cm⁻¹, $\lambda_3 = 0.72$ cm⁻¹, and $W_e = 54.64$ cm⁻¹), and the anomalous increase in the Fermi resonance interaction in going from ¹²C¹⁶O, to ¹²C¹⁶O¹⁸O (Courtoy, Ann.

NSA 1965 19.11

Soc. Sci. Bruxelles, 73: 1959) is seen to be extended in going from $^{12}\text{C}^{16}\text{O}^{18}\text{O}$ to $^{12}\text{C}^{18}\text{O}_2$. The constants α_1 , α_2 , and α_3 , which are necessary to calculate the rotational constant in a state other than the ground vibrational state, were determined for $^{12}\text{C}^{18}\text{O}_2$: $\alpha_1 = 91 \times 10^{-5} \text{ cm}^{-1}$, $\alpha_2 = -61 \times 10^{-5} \text{ cm}^{-1}$, $\alpha_3 = 273 \times 10^{-5} \text{ cm}^{-1}$, and also α_3 for $^{12}\text{C}^{18}\text{O}_2 = 261 \times 10^{-5} \text{ cm}^{-1}$. (Dissertation Abstr., 25: No. 5, Nov. 1964)

1964

C 12 O 18

9 Д187 Д. Исследование ИК-спектров высокого разрешения $\text{C}^{12}\text{O}_2^{18}$ в области 1800—5000 см^{-1} . Chacke-gian Charthes, Jr. A study of the high-resolution infrared absorption spectrum of $\text{C}^{12}\text{O}_2^{18}$ between 1800 and 5000 см^{-1} . Doct. diss. Univ. Washington, 1964, 103 pp. Ref. «Dissert. Abstrs», 1964, 25, № 5, 2775 (англ.)

При помощи 1,5-м спектрометра Эберта изучены ИК-спектры поглощения CO_2 (I) с содержанием $\text{C}^{12}\text{O}_2^{18}$ (II) до 95% в области 1800—5000 см^{-1} . Из значений констант ангармоничности I подсчитано положение центров колебательных полос II; результаты расчета хорошо совпали с экспериментом. Определены параметры резонанса Ферми для 7 линий. Показано аномальное возрастание взаимодействия Ферми при переходе от I к II. Для II определены константы α_1 , α_2 , и α_3 , равные соответственно 91, —61 и $273 \cdot 10^{-5} \text{ см}^{-1}$.

95. 1965. 90

CO₂

1964

U.K. currey

A study of the high-resolution infrared absorption spectrum of $^{12}\text{C}^{18}\text{O}_2$ between 1800 and 5000 cm.⁻¹ Charles Chackerian, Jr. (Univ. of Washington, Seattle). *Univ. Microfilms* (Ann Arbor, Mich.), Order No. 64-11,163, 103 pp.; *Dissertation Abstr.* 25 (5), 2775(1964)(Eng).

SNDC

14-354

14

C.A. 1965-62-7
7254c

CO_2

Drewart. y.

Омск

(81)

nom. nobile

1964

CO₂

20 Б103. Сравнение поглощения для полос CO₂ около 9,4 и 10,4 μ . Edwards D. K., Sun W. Correlations for absorption by the 9.4- μ and 10.4- μ CO₂ bands. «Appl. Optics», 1964, 3, № 12, 1501—1502 (англ.)

С помощью методики, разработанной авторами на основании предположенной произвольной экспоненциальной модели (РЖХим, 1965, 12Б98), произведено сопоставление интегральных интенсивностей комбинационных полос CO около 9,4 и 10,4 μ при различных т-рах (294—1390° K), давлениях (1—10 атм) и кол-вах на пути луча.

М. Киселева

X·1965·20

1964

 CO_2 (11x4,7)литература

Д219. Сравнение поглощения для полос CO_2 около 9,4 и 10,4 μ . Edwards D. K., Sun W. Correlations for absorption by the 9.4- μ and 10.4- μ CO_2 bands. «Appl. Optics», 1964, 3, № 12, 1501—1502 (англ.)

С помощью методики, разработанной авторами на основании предложенной «произвольной экспоненц. модели» (РЖФиз, 1965, 2Д300), произведено сопоставление интегр. интенсивностей комбинационных полос CO около 9,4 и 10,4 μ при различных т-рах (294—1390° К), различных давлениях (1—10 атм.) и различных количествах в-ва на пути луча.

М. Киселева

оф. 1965. 89

1964

*CO₂**Числ.**смущ.*

З Д209. Спектральная излучательная способность и интегральная интенсивность полосы CO₂ около 2,7 μ в области температур 1200—1800° К. Ferriso C. C., Ludwig C. B. Spectral emissivities and integrated intensities of the 2.7- μ CO₂ band between 1200° and 1800° K. «J. Opt. Soc. America», 1964, 54, № 5, 657—662 (англ.)

Для комбинационных полос $2\nu_2 + \nu_3$ и $\nu_3 + \nu_1$ CO₂ (3100—3800 см) измерена спектральная излучательная способность при т-рах 1200, 1500 и 1800° К. Излучение однородной по составу, т-ре и давлению (1 атм) газовой струи, полученной от спец. горелки, сравнивалось с излучением черного тела. Т-ра газа определялась методом поглощения и испускания с использованием полос 2,7 и 4,3 μ . Исследована зависимость оптич. толщи газа от т-ры струи. По измеренным данным вычислены интегр. интенсивности полосы 2,7 μ для разных т-р. Результаты сравнены с данными других авторов. Библ. 19 назв.

М. Киселева

9. 1965. Зд

CO_2

Черновое д. в., 1964
Срасова Н. Н.

Пр. Комис. по спектральным
АИ СССР, 1964, т. 3, вып. 1,
205-213.

Предположение вероятности
состава - N_2O , CO_2 и CO_2 (см. N_2O)

CO_2

Kant A., Strauss B. 1964

(P_2)

J. Chem. Phys., 41, 3806 (n 12)

Испарение диссоциирующих гидроксидных ионов. переход
типа Энненберг. II Ti , Cr ,
 Mn и Co .



($\text{Co} \cdot \text{Ti}_2$)

CO_2

Légray F.

1964

Z. Phys. (France), 25, 999.

Luminescence, infrarouge des
gaz excités par l'arcote ac-
tive. II. Anhydride carbo-
nique.

Cl_2 +

?

18
II-9695

1964

Br_2

(Accord. noem.)

CO_2

John J. W. C.

Canad. J. Phys., 1964, 42, 115, 1004-1005

Passay

A new assignment of some

CO_2 bands.

+1

Pregrin, 1965, 1838

10

1964

CO₂

ЗД208. ИК-излучательная способность углекислого газа (полоса 2,7 μ). Mal'mus W. Infrared emissivity of carbon dioxide (2,7- μ band). «J. Opt. Soc. America», 1964, 54, № 6, 751—758 (англ.)

*W. Mal'mus.**Санкт-Петербург*

Выполнены расчеты спектральной излучательной способности CO₂ в полосе 2,7 μ при различных т-рах от 300 до 3000° К. Для расчета спектральной поглощательной способности использованы отношения средних интенсивностей и средних полуширин линий к расстоянию между линиями, определенные как ф-ции длины волны и т-ры. Расчеты выполнены в приближениях полос со слабыми и сильными линиями и полос с линиями чисто допплеровской формы. Показано, что спектральная излучательная способность CO₂ у 2,7 μ , вычисленная в приближении полосы со слабыми линиями, хорошо совпадает с эксперим. данными для т-р 1200 и 1500° К. Хорошее согласие с эксперим. данными получено также для вычисленной интегр. интенсивности полосы в области т-р 300—3000° К.

К. Василевский

95. 1965. 38

CO₂ | B0 - 8515 - 15 | 1964

(A.P.)

Newton A.S.,
Sciamania A.F.

J. Chem. Phys., 1964,
40 (3), 718-23

1964

CO₂

Patel C. K. N.

Phys. Rev. 136, A1187 (1964)

Continuous-wave laser ac-
tion on vibrational-rotational
transitions of CO₂.

1964

CO_2

Penner S. S., Varanasi P.

J. Quant. Spectr. and Radiat.
Transfer 4, 799 (1964)

Approximate band absorption
and total emissivity calcu-
lations for CO_2 .

C₈2

W. B. Person and L. C. Hall 1964

(C₈2)

Spectr. Acta 1964 V20 pp. 771-779 (es)

Радиотехнические и генераторы 21. Синтез
УК-сигнала C₈2. Импульсный
датчик C₈2 и C₈2.



Изменение структуры УК-спектра Cs_2 в растворе и
изменение коэффициента ε^* ($= d\mu/d_2 = 5.6 \text{ D}/A$ and $\mu = 0.60 \text{ D}$)

(ν_3 при 1520 cm^{-1})

ν_3 при 1523 cm^{-1}

ν_1 при 1510

ν_2 при 396

ν_1 при 392

изменение

$\mu(\text{D})$	CO_2	Cs_2
1.33	0.60	
$\mu_2(\text{D}/\text{A})$	1.15	0.39
$\varepsilon(\text{D}/\text{A})$	6.0	5.6
M	4.9	5.2

CO_2

Pinter F

1964

Opt. Spectry, 17, 428.

Dependence of the width of
the rotational Raman
lines of N_2 and CO_2 on the
quantum number j .



CO_2

Rasool S. Y.

1964

Recd. Soc. Roy. Sci. Liege, 9,
55.

Intensities of 9.4μ and
 10.4μ CO_2 bands.

CO_2

Stull V.R., Wyatt P.J., 1964
Plass G.N.

Appl. Optics, 3, 243-284.

The infrared transmittance
of carbon dioxide.

1964

CO₂ 223

Sulzmann KGB

J. Quant Sp. Rodiz 4(1964) 375 (3)

зг. аспири

Синтетичні нарадобаки

методом

CO₂ в розчині 4,25% в б

моделі

Високоімпульсний здарюв. приск

спайдер 400

шорти 6014

CO₂
2

Warneck P.

1964

J. Chem. Phys., 41, 3435

Reactions of $^{1\Delta}$ oxygen
atoms in the photolysis
of carbon dioxide II.

CO₂

A. D. Walsh.

1964

Ann. Rept. Progr. Chem./Chem.
Soc. London) 61, 8-26.

Electronic spectra of polyatomic molecules.

1964

*CO₂**форма линий*

ЗД210. Форма линии вдалеком крыле полосы CO₂ у 4,3 μ. Winters Benjamin Hamilton. Line shape in the distant wing of the 4.3 micron band of carbon dioxide. Doct. diss. Cathol. Univ. America, 1963, 57 pp. Ref. «Dissert. Abstrs», 1964, 24, № 10, 4248 (англ.)

Определены коэф. поглощения CO₂ и смеси CO₂ с N₂ в области 2400—2575 см^{-1} , лежащей за кантом основной полосы ν_3 . Измерения выполнены для давлений 0,25—5 атм. Отмечается, что поглощение во всех случаях экспоненциально уменьшается с частотой. К. Василевский

9.1965. ЗР

1963

CO₂

Winters B.H., Silverman S., Benedict W.S.

D. mops

J. Quant. Sp and Rad Tr.

monotomous

v 4 (1964) 527(8)

Populations across 6 upwelling zones
monitored (O₂, g, 3 hr.)

CO₂
N₂O
Chemphys

1964

Absolute infrared intensities of the fundamental absorption bands in solid CO₂ and N₂O. Haruka Yamada and Willis B. Person (Univ. of Iowa, Iowa City). *J. Chem. Phys.* 41(8), 2478-87(1964). Abs. infrared intensities of the fundamental vibrations of CO₂ and N₂O were measured in polycryst. solid films. The path length was measured by observing interference fringes. In contrast with CS₂, the results for the solid phase do not agree exactly with those predicted from the gas phase values, using only the simple field-effect correction. In particular, the intensity in the solid is less than that in the gas phase for ν_1 and ν_3 of N₂O and for ν_2 of CO₂, whereas the field effect predicts an increase in intensity. The observed changes in intensity are relatively small. The predicted frequency shifts also do not agree with the observed values, indicating that other effects are important. Bond-moment parameters are presented. The bond moment μ is the same as in the gas phase, but the deriv., $\partial\mu/\partial r$, decreases by ~25%. Some incomplete studies of the intensities in mixed crystals of N₂O and CO₂ are presented. RCJQ

C.A. 1964.67.11
12801 g



1968

CO₂результаты
Ферми

4 Д215. Резонанс Ферми в молекулах CO₂. Amat G., Pimbert M. On Fermi resonance in carbon dioxide. «J. Molec. Spectrosc», 1965, 16, № 2, 278—290 (англ.)

В теории резонанса Ферми в молекулах C¹³O₂¹⁶, C¹²O¹⁶O¹⁸, C¹²O₂¹⁸ встречаются две трудности: значения отношения $(W_e^* - W_e)/W_e$ (W_e — параметр взаимодействия), найденные для трех молекул, не совпадают между собой; для постоянной ангармоничности k_{122} , вычисленной по значениям постоянных x_{22} и $x_{l_1 l_2}$, получается минимальное значение. Ф-ла второго приближения для колебательной энергии содержит 10 постоянных, для которых получаются 9 ур-ний. Для определения всех 10 постоянных построены эллипсы, описываемые соотношением $\Delta^2 = \Delta_0^2 + 4W^2$, Δ , Δ_0 — разности энергий двух возмущенных и невозмущенных колебательных уровней, $W = W_e$.

окт. 1966.

170

для Σ и $W = 2^{1/2} W_c$ для Π . Но эти эллипсы не пересекаются. Это означает, что существует множество наборов колебательных постоянных, при которых вычисленные и опытные значения колебательной энергии совпадают. Для определения истинного набора в ф-лу для колебательной энергии должны включаться поправки 3-го и 4-го приближений. При учете изменений в значениях вращательных постоянных, обусловленных резонансом Ферми, зависимость k_{122} от разности $x_{12} - 4x_{22}$ представляется в виде параболы. Ее пересечение с эллипсами, построенными для Σ , Π , Δ -состояний, позволяет найти правильные значения k_{122} и $x_{12} - 4x_{22}$. При этом выясняется, что обычное отнесение частот v_1 и $2v_2$ молекулы $C^{12}O_2^{16}$ должно быть заменено на обратное.

М. Ковнер

CO₂

IV - M - 1319

1065

$\nu_1, 2\nu_2$

Fermi resonance in carbon dioxide. G. Amat and M. Pimbert (Fac. Sci., Paris). *J. Mol. Spectry.* 16(2), 278-90 (1965) (Eng). A method is proposed to obtain a set of more consistent vibrational consts. for CO₂. This can possibly be achieved by reversing the traditional assignment of ν_1 and $2\nu_2$ in ¹²C¹⁶O₂.

RCKP

C.A. 1965-63-3
2530d

CO₂

IV

I

IV

IV

V

V

V

V

V

13 Б86. Молекулярная фотоэлектронная спектроскопия. Часть IV. Потенциалы ионизации и конфигурации CO₂, COS, CS₂ и NO. Al-Joboury M. I., May D. P., Turner D. W. Molecular photoelectron spectroscopy. Part IV. The ionisation potentials and configurations of carbon dioxide, carbon oxysulphide, carbon disulphide, and nitrous oxide. «J. Chem. Soc.», 1965, Nov., 6350—6355 (англ.)

1965

Получены энергетич. спектры фотоэлектронов при облучении фотонами с энергией 21,21 эв паров CO₂, NO, COS, CS₂. Сопоставление наблюдаемых потенциалов ионизации с известными данными об оптич. спектрах приводит авторов к заключению, что электронная конфигурация $(\sigma_g)_{C-O(S)} (\sigma_u)_{C-O(S)}^2 (\sigma_g)_{O(S)}^2 (\sigma_u)_{O(S)}^2 (\pi_u)^4 (\pi_g)^1$ наилучшим образом описывает CO₂, COS, CS₂, а конфигурация $(\sigma)_N^2 O (\sigma)_N^2 N (\sigma)_O^2 (\pi_u)^4 (\sigma)_N^2 (\pi_g)^4 - N_2 O$. Часть I см. РЖХим, 1966, 5Б68.

В. Дианов-Клоков

x · 1966 · 13

☒

1965

CO₂(нч.н))

ГД162. Колебательно-вращательная энергия линейных молекул. Поправка четвертого порядка. II. Andrade et Silva M. H., Ramadier J. Énergie de vibration-rotation des molécules linéaires. Correction du quatrième ordre. II. «J. phys.», 1965, 26, № 5, 246—248
(франц.; рез. англ.)

При учете членов 4-го порядка в колебательно-вращательном гамильтониане постоянная центробежного изъятия описывается ф-лой:

$$D_v = D_e + \sum_s \beta_s (v_s + g_s/2),$$

кв. 1966. 18

в которой g_s — степень вырождения s -го колебания, а β_s — сложная ф-ция норм. частот, коэф. разложения момента инерции и потенц. энергии по норм. координатам и постоянных Кориолиса. Ф-ла для D_v относится к линейной молекуле. Явные ф-лы для коэф. β_s получены для двухатомной и симметричной трехатомной молекул. Эти ф-лы принимают более сложный вид в случае резонанса Ферми и будут использованы авторами при вычислении постоянной D_v для молекулы CO_2 . Ч. I см. РЖФиз, 1959, № 10, 22332.

М. Ковнер

1965

CO

Barchewitz P. et al.

CO_2

C. R. Acad. Sci. 260, 3581

Emission infrarouge de CO
et CO_2 et laser continu à
 CO_2 par action directe
d'une excitation haute
fréquence.

1965

CO_2

N_2O

Barchewitz, Dorbec,
Truffert, and Vautier

C. R. Acad. Sci., 260, 5491.

Emission laser continue par
excitation haute fréquence
directe de CO_2 et N_2O dans
les transitions vibrationnelles
 $00^1 - 10^1$ et $00^1 - 02^0$.

1965

Kong p model

W.R.Bradford
U.K.

CO₂
(2345 cm⁻¹)

Rapid graphical method for predicting infrared absorption band contours. W. R. Bradford (E. M. I. Electron. Ltd., Feltham, Engl.). *Appl. Opt.* 4(9), 1207-8(1965)(Eng). A new graphical method of predicting ir transmittance in the gas phase is described, which does not depend on the approxns. of the band model. The method is illustrated for the 2349-cm.⁻¹ CO₂ band and the Elsasser band model transmission function (Walter M. Elsasser, *CA* 32, 7342³), although it has also been used for other absorption bands and for the statistical model. Glen F. Bailey

C.A. 1965. 63. 13
17323a

$^{12}\text{C}^{18}\text{O}_2$

Б99 - м 1097 - IV

1965

ИК-спектр

ЗД252. ИК-спектр $^{12}\text{C}^{18}\text{O}_2$. Chackerian, Charles, Jr., Eggers David F., Jr. Infrared spectrum of $^{12}\text{C}^{18}\text{O}_2$. «J. Chem. Phys.», 1965, 43, № 2, 757—758 (англ.)

Приведены предварительные результаты анализа колебательно-вращательных полос поглощения $^{12}\text{C}^{18}\text{O}_2$ в области 1800—5000 cm^{-1} . Не обнаружено ожидаемого аномального поведения константы взаимодействия Ферми W_0 при переходе к меченому CO_2 . Найдено, что W_0 возрастает при переходе от $^{12}\text{C}^{16}\text{O}_2$ к $^{12}\text{C}^{16}\text{O}^{18}\text{O}$ и от $^{12}\text{C}^{16}\text{O}^{18}\text{O}$ к $^{12}\text{C}^{18}\text{O}_2$. Проведено сравнение экспериментально найденных и вычисляемых максимумов полос поглощения $^{13}\text{C}^{18}\text{O}_2$ и $^{12}\text{C}^{18}\text{O}_2$.

Л. Гудкин

д. 1966. ЗД

CO₂

B90 - M 1097-IV

1965

(30172) INFRARED SPECTRUM OF $^{12}\text{C}^{18}\text{O}_2$. Charles
Chackerian, Jr. and David F. Eggers, Jr. (Univ. of Wash-
ington, Seattle). J. Chem. Phys., 43: 757-8(July 15, 1965).

A number of vibration-rotation absorption bands of $^{12}\text{C}^{18}\text{O}_2$
lying in the region between 1800 and 5000 cm^{-1} were ana-
lyzed and the derived vibrational-band centers are reported.
The Fermi interaction constant W_0 , which gives the best fit
to the data, essentially confirms the determination of others
who analyzed the $\nu_1 + \nu_3$ and $2\nu_1 + \nu_3$ bands. Data are tabu-
lated. (P.C.H.)

NSA 1965 19.16

CO₂

U.N. unexp

Bop - M 1097-IV

1965

Infrared spectrum of ¹²C ¹⁸O₂. Charles Chackerian, Jr., and David F. Eggers, Jr. (Univ. of Washington, Seattle). *J. Chem. Phys.* 43(2), 757-8(1965)(Eng); cf. *CA* 60, 6347f. Analysis of some vibration-rotation absorption bands of ¹²C ¹⁸O₂ yields more derived vibrational band centers; (0,1',1) band 2301.73 (cm.⁻¹, observed to ± 0.05 cm.⁻¹), (0,0,1) 2313.97, (0,2°,1) 3638.03, (1,1',1) 3493.88, and (1,2°,1) 4833.17. The best Fermi interaction const., W_0 , is 53.50 cm.⁻¹

A. H. Kalantar

C. A. 1965. 63.8
9237 d

CO_2

B92-M1400-IV | 1965

Davies W.O.

u.n.

"J. Chem. Phys." 1965, 43,
N8, 2809-2818.

CO₂

1965

58934g Absorption by CO₂ between 8000 and 10,000 cm.⁻¹ (1-1.25 μ region). Darrell E. Burch, David A. Gryvnak, and Richard R. Patty (Philco, Corp., Newport Beach, Calif.). AD 626316. Avail. CFSTI \$3.00 cy, 37 pp.(1965)(Eng). The absorption by CO₂ in the 9300- to 9650-cm.⁻¹ and 8000- to 8325-cm.⁻¹ regions were studied. Spectra were obtained for 4 samples of CO₂ in the 1.0-m μ region at a pressure of 2.5 atm. and path lengths up to 933 m μ . Spectra were obtained for 10 samples of CO₂ in the 1.2-m μ region at pressures as high as 15 atm. for path lengths up to 32.9 m. and pressures as high as 2.50 atm. for path lengths up to 933 m. The strengths of the important bands and the half-widths of several lines have been measured. Tables of transmittance vs. wave no. are included for both regions as well as photographs of most of the spectra. Also presented are tables of the integrated absorbance vs. wavelength for both regions. From *U.S. Govt. Res. Develop. Rept.* 41(4), 43(1966).

TCVL

C.A. 1967. 07. 12

CO₂

1965

IV-11-1016

16 Б175. Новое исследование полосы $3\nu_3\text{CO}_2$. Fa-
yt A., Courtoy C. P., Nemtinne M. d e. Nouvelle
mesure de la bande $3\nu_3$ du CO₂. «Ann. Soc. scient. Bru-
xelles», 1965, Ser. I, 79, № 3, 233—235 (франц.)

Проведено точное измерение частоты в максимуме
полосы поглощения $3\nu_3\text{CO}_2$. Для C¹²O₂ и C¹³O₂ полу-
чены значения 6972,62 и 6780,27 см^{-1} соотв. Вычислены
коэф. ангармоничности.

Е. Рыльцев

X · 1966 · 16

CO₂

IV-04-10/6

1965

New measurement of the $3\nu_3$ band of carbon dioxide. A. Fayt, C. P. Courtoy, and M. de Hemptinne (Centre Phys. Nucl. Mol., Heverle-Louvain, Belg.). *Ann. Soc. Sci. Bruxelles, Ser. I* 79(3), 233-5(1965)(Fr). With a new ir spectrograph which allows measurements to 0.01 cm.⁻¹, the frequency of the $3\nu_3$ band of CO₂ was detd. as 6972.62 cm.⁻¹, and former rotational analyses were confirmed. New values for vibration consts., on using 2283.48 cm.⁻¹ for ν_3 (CA 53, 15763a) ω_{33}° 2295.18 and χ_{33}° -11.70, were also obtained. Charles A. Horton

C.A. 1966: 65-2
1598g.

C i₂ O₂¹⁶

10-IV-2019

1965

6 Д274. 15- μ полосы $\text{C}^{12}\text{O}_2^{16}$. Gordon H. Howard R., McCubbin T. K., Jr. The 15-micron bands of $\text{C}^{12}\text{O}_2^{16}$. «J. Molec. Spectrosc.», 1965, 18, № 1, 73—82 (англ.)

Измерены 15- μ полосы CO_2 . Эксперименты проводились на вакуумном спектрографе с высокой разрешающей способностью (разрешение $0,08 \text{ см}^{-1}$ при 15μ). Спектры регистрировались в 3-м и 4-м порядках эшелле Бауша и Ломба. В качестве предварительного монохроматора использовалась призма. С целью калибровки измеряемых волн чисел в 15- μ полосе CO_2 были использованы данные Ранка и Уиггинса для полосы 1—0 молекулы $\text{C}^{12}\text{O}^{16}$. Благодаря этой методике волны, числа ли-

97 · 1966 · 67

ий поглощения CO_2 были измерены с точностью $539.293 \pm 0,005 \text{ см}^{-1}$ по отношению к соответствующим волнам числом $\text{C}^{12}\text{O}^{16}$. Путем подгонки методом наименьших квадратов эксперим. данных к коэф. ур-ния для воли. чисел колебательно-вращательных полос $\text{C}^{12}\text{O}^{16}$ (Martin P. E., Barker E. F. «Phys. Rev.», 1932, 41, 291) определены постоянные $\Delta B = B' - B''$; $\Delta D = D' - D''$ и v_0 для крем- следующих полос $\text{C}^{12}\text{O}^{16}$: $01^10 - 00^00$; $10^00 - 01^10$ и $02^00 - 01^10$. Кроме того, получены ΔB и v_0 для полос $02^20 - 01^10$; $03^10 - 02^20$ и $11^10 - 02^20$.

А. Покровский/

CO_2

1965

6 Д156. Расчеты относительных интенсивностей для CO_2 . Gray L. D., Selvidge Judith E. Relative intensity calculations for carbon dioxide. «J. Quant. Spectrosc. and Radiat. Transfer», 1965, 5, № 2, 291—301 (англ.)

Произведен расчет колебательных и вращательно-колебательных статистич. сумм для $^{12}\text{C}^{16}\text{O}_2$ в области т-р 150—1200° К. Результаты представлены в таблицах с интервалом 10° К. Для сопоставления табулированы также статистич. суммы для гармонич. осциллятора и жесткого ротатора. Различие между вычисленными значениями статистич. сумм и значениями, найденными в приближении гармонич. осциллятора и жесткого ротатора, меняется от 2% при 1200° К до 0,5—0,05% при 300° К. Произведен расчет относит. интенсивностей вращательных линий для переходов с колебательных уровней 00⁰⁰ и 01¹⁰ для $^{12}\text{C}^{16}\text{O}_2$ при т-ре 300° К. Приведена таблица относит. интенсивностей для П—П, П—Δ, П—Σ, Σ—Σ, Σ—Π-переходов в R, Q и P-ветвях.

С. Ветчинкин

• 1966 • 69

Физ. 1

539.12.01

Tani S.

Padé approximant in potential scattering.
Phys. Rev., 1965, 139, N 4B, 1011—1020.

Апроксимант Падэ в потенциальном рассеянии. Библиогр.
18 назв.

1965

 CO_2

2 Б127. Расчет относительной интенсивности вращательных линий двуокиси углерода. Gray L. D. Selby J. dith E. Relative intensity calculations for carbon dioxide. «J. Quant. Spectrosc. and Radiat. Transfer», 1965, 5, № 2, 291—301 (англ.)

Произведены вычисления колебательно-вращательной суммы состояний CO_2 как с учетом, так и без учета ангармоничности колебаний и колебательно-вращательного взаимодействия при т-рах 150—1200° К с интервалом 10° К. Для расчета использованы литературные данные по значениям мол. постоянных ω_i , X_{ij} , B_0 , D , α_i и γ_{ij} . Значения B_v для нек-рых колебательных состояний вычислены заново с учетом резонанса Ферми и l -удвоения.

термод.

Ф-Учи

М. Н.

x 1967-8

Отмечено, что учет ангармонич. поправки при вычислении колебательно-вращательной суммы по состояниям необходим лишь при высоких т-рах. Величина этой поправки при т-ре 1200° К составляет 2%, а при т-ре 300° К 0,5% от общей величины суммы. Вычислены относительные интенсивности вращательных линий в полосах, соотв-щих переходам $\Sigma \rightarrow \Sigma$, $\Sigma \rightarrow \Pi$, $\Pi \rightarrow \Sigma$, $\Pi \rightarrow \Pi$ и $\Pi \rightarrow \Delta$ при т-ре 300° К для идеального газа. Расчеты проведены для линий со значением J вплоть до 103.

М. Алиев

1965

CO₂negative
recording

Spectral emissivity calculations for the parallel bands of CO₂ at 4.3 μ . L. D. Gray (California Inst. of Technol., Pasadena). *J. Quant. Spectry. Radiative Transfer* 5(4), 569-83(1965)(Eng). The quasistatistical band model was used to machine compute the spectral emissivity due to the parallel bands in the 4.3- μ region of CO₂; no allowance was made for line wing emission beyond the band head. The transmission was calcd. for the spectral range 2100 to 2400 cm.⁻¹ at 5-cm.⁻¹ intervals. Computed spectral emissivity at various temps., pressure, and amts. of absorber were compared with literature results, with good agreement.

G. G. Mannella

C.A. 1966-64.1
166 a

12 C 16 O 2

1965

The 15- μ bands of $^{12}\text{C}^{16}\text{O}_2$. Howard R. Gordon and T. K. McCubbin, Jr. (Pennsylvania State University, University Park). *J. Mol. Spectry.* 18(1), 73-82(1965)(Eng). The 15- μ bands of CO₂ were measured by using a prism-grating echelle vacuum spectrograph capable of giving a resoln. of 0.08 cm.⁻¹ at 15 μ . ν_0 , ΔB , and ΔD were obtained for the 01'0-00'0, 10'0-01'0, and 02'0-01'0 bands, and ν_0 and ΔB were obtained for the 02'0-01'0, 03'0-02'0, and 11'0-02'0 transitions. RCKP

C. A. 1965. 63.11
14235 f9

CD
Lynn

279



CO₂

B9-V4190

1965

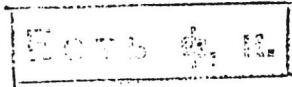
NH₂; ND₂; BO₂; (forst. const.)

Kuchitsu K., Morino Y.

Bull. Chem. Soc. Japan, 1965, 38 (5), 805-
-813

Estimation of anharmonic potential ...

CA, 1965, 63, N 4, 3634e



J

CO₂

1965

Cuerip
noneby.
bar. 400

17621d) Absorption spectrum of carbon dioxide in the vacuum ultraviolet. Kosinskaya, I. V.; Startsev, G. P. (USSR). *Spektrosk., Tr. Sib. Soveshch.*, 4th 1965 (Pub. 1969), 92-4 (Russ.). Edited by Prilezhaeva, N. A. Izd. "Nauka": Moscow, USSR. The spectra were obtained by using a He-continuum in a 2-meter spectrograph and were recorded photographically in the 2nd order at exposure times of 3 and 9 min for the intense and weak spectral regions, resp. The absorption line of Ne were photographed at CO₂ pressures of 10⁻² to 10⁻⁴ torr in the app. A graph was constructed enabling detn. of CO₂ concn. from the dependence of the absorption lines on CO₂ pressure. The absorption cross section was calcd. for each spectrum. The dependence of absorption cross section on CO₂ pressure remains const. Results on the absorption cross section and structure of the absorption spectra agree with data published in the literature.

Marv A. Kersten

C.A. 1971.84.4

CO_2

Lassettre & N.,
Shiloff & C.

1965

J. Chem. Phys., 43, 560

Collision cross-section study
of CO_2 .

CO Myers B.F., Sulzmann 11965
CO₂ K. G. P., Bartle & R.

J. Chem. Phys.; 43, 1220.

Oxidation of CO. II. Influence
of H₂ on the induction pe-
riod preceding rapid CO₂
formation in shock-heated

CO - O₂ - Ar mixtures.

1965

CO₂ | н
(E),
перо 25Н.
механическое

12 Д124. Силы осцилляторов для некоторых пиков в спектре электронного удара двуокиси углерода. Спин-орбитальное взаимодействие. Mozier Vincent D., Lassettre Edwin N. Oscillator strengths of several peaks in the electron-impact spectrum of carbon dioxide Spin-orbit coupling. «J. Chem. Phys.», 1965, 42, № 10, 3436—3441 (англ.)

Исследовались спектры потерь энергии электронов с начальной кинетич. энергией 150, 200, 300, 400 эв, рассеянных на молекулах CO₂ (угол рассеяния 0°). Измерения проводились на установке с повышенной разрешающей силой. Положения максимумов потерь энергии (МПЭ) в спектре хорошо согласуются с положениями полос в УФ-спектре поглощения CO₂. На основании теории МО в приближении ЛКАО с учетом спин-орбиталь-

ф. 1965. 128

ного взаимодействия произведен расчет энергетич. уровней CO_2 и отождествлены наблюдавшиеся МПЭ. В опытах со смесями $\text{CO}-\text{He}$ с помощью относит. метода определены силы осцилляторов для ряда переходов CO_2 (в скобках указано положение МПЭ в эв): $0,0049 \pm \pm 0,0004$ (8,52); $0,0072 \pm 0,0006$ (9,30); $0,16 \pm 0,007$ (11,07); $0,076 \pm 0,001$ (11,40). Полученные величины сравниваются с найденными методами оптич. спектроскопии.

В. Скурат

1965

Bond and molecular polarizabilities in some linear and non-linear triatomic molecules. G. Nagarajan (Univ. of Maryland, College Park). *Acta Phys. Polon.* 28(6), 869-74(1965)(Eng). The electronic configurations of CO_2 , CS_2 , CSe_2 , OCS , OCSe , SCSe , SCTe , O_3 , SO_2 , and SeO_2 were examd. in the light of the Lewis-Langmuir octet rule modified by Linnett as a double quartet of electrons. Bond and mol. polarizabilities were computed by the method of Lippincott-Stutmann, employing the δ -function model of chem. bonding. Good agreement was found between the calcd. and exptl. values of mol. polarizabilities in the case of CO_2 , O_3 , and SO_2 , while slightly higher calcd. values were obtained for CS_2 and OCS , which may be attributed to the uncertainty in the exptl. data. It was also observed that the π and σ electrons did not make equal contributions to the bond parallel component of the polarizability. While the values of bond perpendicular component could be transferred from 1 mol. system to another having similar chem. bonds irresp. of the accuracy in the values of internuclear distances, such a transfer would be possible in the cases of bond parallel component only when the latter were nearly identical. Vishnu

C. A. 1966. 65.5

6319g

1965

CO₂

(у)

1 Д192. Коэффициенты поглощения и фотоионизации CO₂ в области 580÷1670 Å. Nakata R. S., Watanabe K., Matsunaga F. M. Absorption and photoionization coefficients of CO₂ in the region 580—1670 Å. «Sci. Light», 1965, 14, № 1, 54—71 (англ.).

В вакуумной УФ-области с помощью фотоэлектрической техники определены значения коэф. поглощения (в области 580÷1670 Å) и коэф. фотоионизации (в области 580÷900 Å) CO₂. Использовались водородный и гелиевый источники сплошного излучения и спектрометр с высоким разрешением (0,2 Å); длина оптической ячейки варьировалась от 1,05 до 27,1 см при давлении газа 0,006÷102 мм рт. ст. Приведены кривые зависимости коэф. поглощения и фотоионизации от длины

оф. 1966. 156

волны. Выход фотононизаций составлял от 60 до 95%. Обнаружено, что большинство наблюдавшихся полос являются предъионизованными. Дублетные потенциалы ионизации (13,786 и 13,766 эв) подтверждены кривой фотононизаций. Определены также частоты диффузных полос CO₂ в области 1239—1380 Å. Библ. 19 назв.

С. Бурейко

1965

10 Д 196. Уточнение ангармонических силовых постоянных по методу наименьших квадратов: применение к $^{12}\text{CO}_2$ и $^{13}\text{CO}_2$. Paris eau M. A., Suzuki I., Ove-
rend John. Least-squares adjustment of anharmonic potential constants: application to $^{12}\text{CO}_2$ and $^{13}\text{CO}_2$. «J. Chem. Phys.», 1965, 42, № 7, 2335—2344 (англ.)

В случае ангармонич. колебаний потенц. энергия молекулы выражается через криволинейные естественные колебательные координаты. Введены в рассмотрение силовые постоянные, имеющие вид производных второго, третьего и четвертого порядков от потенц. энергии по этим координатам. Эти координаты преобразуются к разностным декартовым координатам и затем к декартовым координатам атомов в неподвижной системе отсчета. К декартовым координатам преобразуются и сило-

9.1945.108

вые постоянные, что позволяет представить кинетич. и потенц. энергию в одних и тех же координатах. Полная колебательная энергия выражается через постоянные ангармоничности, которые имеют вид сложных ф-ций от силовых и вращательных постоянных, нулевых частот и постоянных Кориолиса. Силовые постоянные определяются по методу наименьших квадратов с использованием матрицы производных от частот по силовым постоянным. В полученные ф-лы для постоянных ангармоничности вносятся поправки, необходимые в случае ре-

зонаанса Ферми. Метод расчета применен к молекулам $^{12}\text{CO}_2$ и $^{13}\text{CO}_2$, для которых определены численные значения силовых постоянных, постоянных ангармоничности, нулевых частот и постоянных колебательно-вращательного взаимодействия. Зависимость потенц. энергии молекулы CO_2 от декартовой координаты атома О представлена графически.

М. Ковнер

1965

CO₂
T₂O
CH₃Cl

Mol. Tog

Buy

C. A - 1966

64.5

5938 d

Line intensity and pressure broadening studies in hydrogen fluoride and other problems in infrared spectroscopy.. Alvin H. Nielsen, Robert J. Lovell, Norman M. Gilar, W. Edward Deeds, and William F. Herget (Univ. of Tennessee, Knoxville). AD 618401. Avail. CFSTI, 119 pp.(1965)(Eng). The shapes, shifts, and effects of self-broadening of spectral lines have been studied by using the vibration-rotation lines in the fundamental ir band of HF as the medium for measurement. All measurements were made with a high-dispersion vacuum-grating ir spectrometer capable of resolution to better than 0.1/cm. in the region of the HF fundamental. Slit functions were detd. carefully by using absorption lines from the fundamental of CO at very low pressures. Computational methods were developed making it possible to det. true line shapes accurately. Measured line shapes were compared with predicted Lorentz line shapes. The Lorentz parameter was obtained by the equiv.-width method for the pressure-broadened spectral lines in the HF fundamental from $m = -6$ to $m = +12$. Investigations of the ir spectra of several mols., such as CO₂, T₂O, and CH₃Cl, are included. Mol. consts. are listed. From U.S. Govt. Res. Develop. Rept. 40(17), 59(1965). TCVL

✓22 Б37. Уточнение ангармонических силовых постоянных по методу наименьших квадратов: применение к C^{12}O_2 и C^{13}O_2 . Parisau M. A., Suzuki I., Overend John. Least-squares adjustment of anharmonic potential constants: application to $^{12}\text{CO}_2$ and $^{13}\text{CO}_2$. «J. Chem. Phys.», 1965, 42, № 7, 2335—2344 (англ.)

Отмечено, что в случае ангармонич. колебаний потенциальная энергия молекулы выражается через криволинейные естественные колебательные координаты. Рассмотрены силовые постоянные, имеющие вид производных 2-го, 3-го и 4-го порядков от потенциальной энергии по этим координатам. Эти координаты преобразуются к разностным декартовым координатам и затем к декартовым координатам атомов в неподвижной системе отсчета. К декартовым координатам преобразуются и силовые постоянные, что позволяет представить кинетич. и потенциальную энергию в одних и тех же координатах. Полная колебательная энергия выражается через постоянные ангармоничности, имеющие вид сложных функ-

1965

CO_2

расчеты

✓

✓

✓

✓

✓

✓

1.1965.22

☒

ций от силовых и вращательных постоянных, нулевых частот и кориолисовых постоянных. Силовые постоянные определяются по методу наименьших квадратов с использованием матрицы производных от частот по силовым постоянным. В полученные ф-лы для постоянных ангармоничности вносятся поправки, необходимые в случае резонанса Ферми. Метод расчета применен к молекулам $C^{12}O_2$ и $C^{13}O_2$, для которых определены численные значения силовых постоянных, постоянных ангармоничности, нулевых частот и постоянных колебательно-вращательного взаимодействия. Зависимость потенциальной энергии молекулы CO_2 от декартовой координаты атома кислорода представлена графически. М. Ковнер

1965

CO₂

Péresse Joseph

Riv. Grouppen avancem. méthodes
spectrogr., janv.-juin, 34-36 lippia

Романе спектрографии cerealia

спектрографии макроаддитивные методы

на O₂ III

1965

CO₂

2 Д274. Излучательная способность молекул CO₂ при температурах до 1200° К в области спектра 4,1—4,6 μ.м. Подкладенко М. В. «Ж. прикл. спектроскопии», 1965, 3, № 1, 76—82 (рез. англ.)

С помощью спектрометра среднего разрешения (ИКС-12) и кварцевой кюветы исследована зависимость излучательной способности молекул CO₂ в области основного вал. кол. ν₃ при $300 \leq T \leq 1200^{\circ}$ К, $100 \leq P \leq 750$ мм рт. ст. и $0,18 \leq P_{\text{CO}_2} l \leq 4$ атм·см. Проведено сравнение эксперимента с результатами вычислений по схематизированным моделям полос поглощения. Показано, что при соответствующем выборе параметров (средней интегр. интенсивности линий, полуширине линий и расстояния между ними) все рассмотренные модели дают достаточно хорошее совпадение с эксперим. данными. Библ. 10 назв.

97.1966.270

CO_2

Roncin F.-Y.,
Damany N.

1965

C. R. Acad. sci., 260, 6069

Spectres d'absorption, dans
l'ultraviolet lointain, de
l'oxyde de carbon et de
l'azote solides à basse
température.

CO₂

✓ 4 Д216. Статистическое вычисление равновесного распределения O¹⁸ и O¹⁷ в системах CO₂/H₂O и CO₂/D₂O по молекулярным спектрам. Staschewski Dieter.

1965

Statistische Berechnung der O¹⁸- und O¹⁷-Gleichgewichtsverteilung in den Systemen CO₂/H₂O und CO₂/D₂O aus molekülspektroskopischen Daten. «Вег. Bunsenges. phys. Chem.», 1965, 69, № 5, 426—440 (нем.; рез. англ.)

Отношения статич. сумм для изотопич. молекул CO₂ и H₂O выражены через вращательные постоянные и колебательные статистич. суммы. Для вычисления этих сумм используются соотношения между частотами колебаний, постоянными резонанса Ферми и постоянными ангармоничности изотопич. молекул. Приводятся численные значения этих величин для четырех молекул CO₂, шести молекул H₂O и D₂O. Определены их нулевые частоты и вращательные постоянные. Эти данные использованы для вычисления статистич. сумм и постоянных разделения изотопич. молекул. Сравниваются вычисленные и опытные значения этих постоянных. М. Ковнер

3

о. 1966. 4/8



1965

 CO_2

Warneck P.

possibly

J. Chem. Phys., 43 (5), 1849-
50, (1965)Excited oxygen atoms in
the photolyses of CO_2 and
 N_2O .

2

CO_2

Energy levels of polyac-
t¹⁷gibberel molecule
C. Amat.

1966

Final report 1 February

1960 - 31 January 1966.

Chapter VI

General discussion of Fermi
resonance in CO_2 with a new
assignment of vibrational
levels

CO₂

1966

20 Б230. Измерения интенсивности полос CO₂ у 1 μ
Boese Robert W., Miller Jacob H., Inn Ed
~~dard C. Y. Intensity measurements of the 1 μ CO₂ bands.~~
«J. Quant. Spectrosc. and Radiat. Transfer», 1966, 6,
№ 6, 717—725 (англ.)

*Чис.
зима*

При разрешении до 0,1 см^{-1} исследованы спектры поглощения слабых полос CO₂ у 1 μ, полученные в многоходовой кювете при длинах пути до 900 м и кол-вах поглощающего в-ва до 4,8 $\text{км} \cdot \text{атм}$. Измерены интегр. интенсивности R-ветвей, равные для полос 20°3—00°0, 12°3—00°0 и 04°3—00°0, соответственно, 1,27; 3,50 и 0,59 $\text{см}^{-1} \cdot \text{км}^{-1} \cdot \text{атм}^{-1}$. Для наиболее сильной 12°3—00°0 полосы измерены интенсивности и полуширины отдельных линий P-ветви от I=4 до I=22. Найдено, что среднее значение полуширин линий равно 0,084 $\text{см}^{-1} \cdot \text{атм}^{-1}$, а интенсивность наиболее сильной линии P(16) равна $0,250 \pm 0,15 \text{ см}^{-1} \cdot \text{км}^{-1} \cdot \text{атм}^{-1}$. К. Василевский

X · 1967 · 20

CO₂

1866

*up to
useful.*

6754n Intensity measurements of the 1- μ CO₂ bands. Robert W. Boese, Jacob H. Miller, and Edward C. Y. Inn (NASA, Moffett Field, Calif.). *J. Quant. Spectrosc. Radiat. Transfer* 6(6), 717-25(1966)(Eng). The quant. intensity of the weak CO₂ triad in the 1- μ spectral region has been measured. Integrated R-branch intensities were obtained by using pressure broadening techniques with absorbing paths up to 4.8 km.-atm. The R-branch intensities for the transitions 20⁰3 ← 00⁰0, 12⁰3 ← 00⁰0, and 04⁰3 ← 00⁰0 are 1.27, 3.50, and 0.59 cm.⁻¹ km.⁻¹ atm.⁻¹ S.T.P., resp. Intensities and half-widths of the J₄ through J₂₂ lines in the P branch of the 12⁰3 ← 00⁰0 transition have been detd. 15 references.

RCHR

C.A. 1967-66-2

CO₂

1986

9 Д212. Измерения интенсивности полос CO₂ у 1 μ.
Boese Robert W., Miller Jacob H., Inn
Edward C. Y. Intensity measurements of the 1 μ CO₂
bands. «J. Quant. Spectrosc. and Radiat. Transfer», 1966,
6, № 6, 717—725 (англ.)

При разрешении до 0,1 см⁻¹ исследованы спектры по-
глощения слабых полос CO₂ у 1 μ, полученные в много-
ходовой кювете при длинах пути до 900 м и кол-вах по-
глощающего в-ва до 4,8 км·атм. Измерены интегр. ин-
тенсивности R-ветвей, равные для полос 20°3—00°0,
12°3—00°0 и 04°3—00°0, соответственно, 1,27; 3,50 и
0,59 см⁻¹·км⁻¹·атм⁻¹. Для наиболее сильной 12°3—
00°0-полосы измерены интенсивности и полуширины от-
дельных линий P-ветви от J=4 до J=22. Найдено, что
среднее значение полуширин линий равно 0,084 см⁻¹·
атм⁻¹, а интенсивность наиболее сильной линии P(16)
равна 0,250±0,015 см⁻¹·км⁻¹·атм⁻¹. К. Василевский

Ф. 1987. 92

CO_2

1966

12 Д217. Лабораторное исследование поглощения и испускания ИК-излучения. *Wigch Daggel E., Grunnak David A.* Laboratory investigation of the absorption and emission of infrared radiation. «J. Quant. Spectrosc. and Radiat. Transfer», 1966, 6, № 3, 229—240 (англ.)

Изучены спектры поглощения H_2O и CO_2 в области 0,6—5,5 μ при т-рах, близких к комнатной. Использовались абсорбционные кюветы многократного прохождения с оптич. длиной 2—933 м при давлениях образцов от нескольких микрон рт. ст. до 15 атм. Определено и идентифицировано около 30 новых полос CO_2 и рассчитаны силы важнейших полос. Для H_2O найдены силы и ширины нескольких сот наиболее важных линий. Обнаружена зависимость формы крыла линий поглощения CO_2 от т-ры, уширяющего газа (применялось либо

ф. 1967 · 28

самоуширение, либо уширение азотом или гелием) и длины волны, которая не объясняется имеющимися теориями. Исследовано также поглощение H_2O и CO_2 в области 1—5 μ при т-рах до 1800° К. Рассмотрено пропускание излучения из горячих CO_2 и H_2O через холодные CO_2 и H_2O соответственно для изучения влияния совпадения линий испускания с линиями поглощения. Приведены некоторые данные, иллюстрирующие результаты упомянутых исследований. Библ. 11 назв.

С. Бурейко

CO₂

1966

з Д249 РЕЦ. Рассчитанные значения частот и интенсивностей спектральных линий CO₂ в областях 2,05 и 2,7 μ . Calfee Robert F., Benedict William S. Carbon dioxide spectral line positions and intensities calculated for the 2.05 and 2.7 micron regions. Washington, D. C., Nat. Bur. of Standards, 1966, 110 pp., 0.60 doll. (англ.) [Рец. Williams Dudley. «Appl. Optics», 1966, 5, № 10, 1695—1696]

В книге дан детальный расчет частот и интенсивностей линий CO₂ в областях 2,05 и 2,7 μ . Интенсивности рассчитаны для т-ры 296°К. Таблицы содержат данные для всех переходов, включая все вращательные состояния вплоть до $J=100$.

Э. Броун

ch. 1967. 39

CO₂

1966

Carbon dioxide spectral line positions and intensities calculated for the 2.05- and 2.7-m μ regions. Robert F. Calfee and William S. Benedict (Inst. for Telecommun. Sci. & Aeronomy, Boulder, Colo.). *Natl. Bur. Std. (U.S.)*, Tech. Notes No. 332, 110 pp. (1966) (Eng). The spectral line positions and intensities for the CO₂ bands occurring in the 2.05- and 2.7- μ regions of the ir spectrum are listed. Lines with intensities down to 10⁻⁷ cm.⁻¹/atm. cm. are listed for a temp. of 296°K.

VNJZ

C.A. 1966 65 4
4853 f

CO₂

600-1000 Å

спектр

9 Д162. Поглощение, фотоионизация и флуоресценция CO₂. Cook G. R., Metzger P. H., Ogawa M. Absorption, photoionization, and fluorescence of CO₂. «J. Chem. Phys.», 1966, 44, № 8, 2935—2942 (англ.)

1966

Измерены коэф. абсорбции и фотоионизации CO₂ в области сильных полос поглощения и в области непрерывного спектра в спектральном интервале 600—1000 Å. Наличие непрерывного спектра поглощения приписано процессам ионизации и диссоциации в исследуемой системе. Обнаружено интенсивное флуоресцентное излучение CO₂ при 715,7 Å, обладающее колебательной структурой. Изучена зависимость относит. выхода флуоресценции CO₂ от длины волны возбуждающего света. Проведен анализ наблюданной в спектре флуоресценции колебательной структуры. На основании полученных данных проведена оценка вклада процессов ионизации и диссоциации в спектр полного поглощения CO₂. Библ. 25 назв.

Е. Викторова

окт. 1966. № 8

CO_2

1966

№18 Б267. Молекулярная спектроскопия с помощью лазерного источника. Исследование полосы 1064 см^{-1} CO_2 .
Fargenq Robert, Rossetti Colette, Bougbonneux Françoise, Bargewitz Pierre.
Spectroscopie moléculaire avec source laser. Etude de la bande de CO_2 à 1064 см^{-1} . «C. r. Acad. sci.», 1966, 263, № 3, B241—B243. (франц.)

Методика измерения параметров вращательных компонентов колебательно-вращательных ИК-полос с помощью лазерного источника (CO_2) (РЖХим, 1966, 22Б163) применена для измерения ширины и интегральной интенсивности вращательных компонентов P_{16} — P_{22} и R_{17} , R_{19} полосы 1064 см^{-1} CO_2 . Вычислены моменты чисто вращательного перехода $R_{v''}^v = (2,95 \pm 0,02) \cdot 10^{-2} D$

и.и.

Х. 1967. 18

и соотв-щая вероятность перехода $A_v' = 0,33$ сек $^{-1}$.

Определено эффективное сечение ударного уширения линий. $Q = (10,2 \pm 1,0) \cdot 10^{-15}$ см 2 . Изучено влияние собственного давления CO₂ и давление постороннего газа (N₂) на ширину линий. Определено сечение $Q(\text{CO}_2 - \text{N}_2) = (5,0 \pm 0,5) \cdot 10^{-15}$ см 2 .

Г. Жижин

1966
CO₂

Molecular spectroscopy with a laser source. Study of the CO₂ band at 1064 cm.⁻¹ Robert Farrenq, Colette Rossetti, Francoise Bourbonneux, and Pierre Barchewitz (Fac. Sci., Orsay, France). *Compt. Rend.*, Ser. A, B 263B(3), 241-3 (1966)(Fr). The vibrational-rotational transition moment and the collision half-width have been detd. for the lines P₁₆, P₁₈, P₂₀, R₁₇, and R₁₉ in the CO₂ absorption band centered at 1064 cm.⁻¹ This was done by using a laser to measure the absorption coeff. at the center of the lines (following abstr.). The method was also used to det. collision half-widths in mixts. of CO₂ and N, by using the line P₂₀ in the band centered at 961 cm.⁻¹

N. D. Clare

C. A. 1966 65.12
17898ab

CO_2

Freed K. F.

1986

J. chem. Phys., 45, N^o 2, 591.

Изучение вращатель и ко-
вibrативных переходов
молекул.

(See. Paper
II. n.)

(96)
 CO_2

14 Б234. Микроволновое поглощение в сжатой CO_2 .
Frenkel L., Woods D. Microwave absorption in compressed CO_2 . «J. Chem. Phys.», 1966, 44, № 5, 2219
(англ.)

М.Б.

записано

Х. 1967. 14

CO₂

(E_i, V_i, n.n.)

BP-N2030-IV | 1966

Frappead C.,
Lauers P., ...

C. r. Acad. sci., 1966,

AB262, N20,

31340 - 31343

CO₂

1966

U.K.

unpub

The infrared spectrum of CO₂ in the 2.8- and 15-micron regions.
Howard Robert Gordon (Pennsylvania State Univ., University Park). Univ. Microfilms (Ann Arbor, Mich.), Order No. 66-4807, 85 pp.; Dissertation Abstr. 26(11), 6781(1966)(Eng); cf. CA 64, 13591a. SNDC

C.A. 1966-65-6

8194 f

CO₂

1966

з Д248. Полосы 2,8 μ CO₂. Gordon Howard R.,
McCubbin T. K., Jr. The 2.8-micron bands of CO₂.
«J. Molec. Spectrosc.», 1966, 19, № 2, 137—154 (англ.)

Получен спектр CO₂ в области 2,8 μ при точности регистрации вращательных линий ±0,005 см⁻¹. Произведенный анализ показал, что расстояние между уровнями 020 и 100 в невозмущенном состоянии составляет 2,5±0,1·10⁻⁴ см⁻¹. Библ. 15.

от 1967. 32

CO₂

1966

6 Б144. Полосы CO_2 в области 2,8 μ . Gordon H. Howard R., McCubbin T. K., Jr. The 2,8-micron bands of CO_2 . «J. Molec. Spectrosc.», 1966, 19, № 2, 137—154 (англ.)

Исследован колебательно-вращательный спектр CO_2 в области 2,8 μ . Проведен анализ вращательной структуры 10 полос $\text{C}^{12}\text{O}_2^{16}$, 1 полосы $\text{C}^{13}\text{O}_2^{16}$ и 2 полосы $\text{C}^{12}\text{O}^{16}\text{O}^{18}$. В этой области появляются интенсивные полосы, соответствующие переходам 10^01-000 , 02^01-000 и «горячие» полосы, связанные этими же переходами. Найдены значения колебательных и вращательных постоянных с учетом резонанса Ферми (K_{122}). На основе данных, полученных при анализе полос при 15 μ вычислены положения вра-

x. 1967.6

щательных линий во всех исследованных полосах и сопоставлены с их опытными значениями. При расчете коэф. ангармоничности K_{122} кроме резонанса Ферми в 5 диадах уровней учтен также малый резонансный эффект Тейлора — Бенедикта — Стронга и определены значения параметров, характеризующих этот эффект. Аномальные значения некоторых постоянных α_i и γ_i , приписаны кoriолисовому резонансу и влиянию резонанса Ферми на l -удвоение. Отмечено, что невозмущенные уровни $1\ v_2^l v_3$ в 5 диадах расположены ниже невозмущенных уровней.

М. Алиев

1966

 CO_2

Микроволн.
газ поглаще-
ние

7 Б197. Микроволновое поглощение в сжатом CO_2 .
Ho W., Kaufman I. A., Thaddeus P. Microwave
absorption in compressed CO_2 . «J. Chem. Phys.», 1966,
45, № 3, 877—880 (англ.)

Исследовано микроволновое поглощение CO_2 при
т-рах от 270 до 500° К и давлениях до 95 атм. Метод
основан на измерении коэф. диэлектрич. потерь в зави-
симости от плотности газа, проводящемся на фиксиру-
ванной частоте 9620 Мгц. Плотность газа определялась
по величине диэлектрич. постоянной, вычисленной из
резонансной частоты камеры при данном давлении.
Определены первые 2 члена вириального разложения
коэф. диэлектрич. потерь. Из первого вириального коэф.
вычислен квадрупольный момент молекулы. Получен-
ные результаты сопоставляются с данными других
авторов.

Б. Н.

г. 1967. 7

CO_2

1966

3 Б153. Новые излучательные системы в CO_2 . I. $\pi-\pi$ -переход. Howe John A., McFarlane R. A. New emission systems in CO_2 . Part I. $\Pi-\Pi$ transition. «J. Molec. Spectrosc.» 1966, 19, № 2, 224—226 (англ.)

Получена генерация на CO_2 в области 11—18 μ при возбуждении сильноточными импульсами постоянного тока. Точно измерены длины волн 16 линий вблизи 11 μ , к-рые отнесены к P -ветви перехода $\Pi_g \rightarrow \Pi_u$ и $01^11 \rightarrow 11^10$. Добавление N_2 увеличивает выходную мощность генератора. Оптимальное давл. смеси 2,6 ми, скорость прокачки газа $0,4 \text{ м} \cdot \text{сек}^{-1}$. Э. Бурхард

Х. 1967. 3

1966

CO₂

1 Д678. Новые излучательные системы в CO₂. I.
 П—П-переход. Howe John A., McFarlane R. A.
 New emission systems in CO₂. Part I. P—P transition.
J. Molec. Spectrosc., 1966, 19, № 2, 224—226 (англ.)

Получена генерация на CO₂ в области 11—18 μ при возбуждении сильноточными импульсами постоянного тока. Точно измерены длины волн 16 линий вблизи 11 μ, которые отнесены к P-ветви перехода $P_g \rightarrow P_u$ и $01^11 \rightarrow 11^10$. Добавление N₂ увеличивает выходную мощность генератора. Оптимальное давление смеси 2,6 мм рт. ст., скорость прокачки газа $0,4 \text{ л} \cdot \text{сек}^{-1}$.

спектр

оф. 1964. 18

CO₂

1966

High-resolution absorption measurement in CO₂ with a tuned laser. B. F. Jacoby and R. K. Long (Ohio State Univ., Columbus). Appl. Phys. Letters 8(8), 202-4(1966)(Eng). A relatively new technique of tuned laser spectroscopy was used to measure directly a single line in the P branch of the CO₂ 13¹1 to 01¹0 vibro-rotational absorption band near 2 μ . The laser was based on a mixt. of 80 torr of He and 0.25 torr of Xe. The utility of this technique for the measurement of very weak absorption lines was demonstrated by the results, in which the absorption cell output is given as a function of the magnetic field for various pressures of CO₂.

BGJN

C.A. 1966. 65. Y

4849h

CO_2

K.-S. Janßen u. J. 1966

Canad. J. Phys. 44 14,707

Многие обесцен.
благод. числ. колич.
последовательн. в
результате.



$\sqrt{4} \text{ D}_2$

1966

CO₂
лазеры

8 Д860. Изучение молекулярных переходов при помощи молекулярных лазеров с модулированной добротностью. Kovacs M. A., Flynn G. W., Javan A. Q switching of molecular laser transitions. «Appl. Phys. Letters», 1966, 8, № 3, 62—63 (англ.)

Описана эксперим. методика использования молекулярных лазеров с модулированной добротностью для измерения времен релаксации колебательных и вращательных состояний молекул. При использовании молекулярного лазера на смеси N₂—CO₂—He с мощностью генерации в непрерывном режиме около нескольких вт максим. скорость повторения импульсов составляла 500 гц и достигалась с помощью вращающейся призмы. Из измерения зависимости мощности импульсов излучения от частоты их повторения получена оценка времени жизни колебательных уровней молекулы CO₂: $\tau \leq 2 \cdot 10^{-3}$ сек.

В. Ходовой

Ф. 1966. 88

CO₂

1966

22 Б137. Инфракрасные спектры CO₂, адсорбированной на галогенидах щелочных металлов, полученных конденсацией из парообразного состояния. Kozíkovský Y., Folman M. Infra-red spectra of CO₂ adsorbed on evaporated alkali halides. «Trans. Faraday Soc.», 1966, 62, № 6, 1431—1438 (англ.)

При различных т-рах исследованы ИК-спектры CO₂, адсорбированной на пленках галогенов щелочных металлов с большой площадью поверхности, полученных конденсацией из парообразного состояния на подложку при —196°. Колебание ν₃ CO₂ представляет собой узкую и сильную линию. С длинноволновой стороны ν₃ имеется слабая линия, отнесенная к асим. вал. кол. C¹³O₂. Для пленок NaCl и NaJ ν₂ появляется всегда как хорошо разрешенный дублет, причем интенсивности компонент

X · 1967 · 22

примерно равны. Полагают, что дублет появляется в результате снятия вырождения в адсорбированном состоянии. Для CsCl и CsJ ν_2 , расщеплена на 3 компоненты. Полагают, что в этих солях представлены две кристаллические структуры, имеющие различную адсорбцию. В результате на адсорбентах одной кристаллич. структуры ν_2 расщепляется, а другой — не расщепляется. Анализ формы полос ν_2 и ν_3 и их нечувствительность к изменению т-ры позволили сделать вывод, что в адсорбированном состоянии CO_2 не вращается. Я. Кимельфельд

CO₂

1966

42063r High-temperature spectral emissivities and total intensities of the $15-\mu$ band system of CO₂. C. B. Ludwig, C. C. Ferriso, and L. Acton (Space Sci. Lab., Gen. Dyns. Convair, San Diego, Calif.): *J. Opt. Soc. Amer.* 56(12), 1685-92(1966)(Eng). Spectral-emissivity measurements of the $15-\mu$ band of CO₂ were made at 1000-2300°K. The hot gas was produced in a supersonic burner, which used gaseous CO and O as propellants. Many "hot" transitions were observed which were identified through their Q-branches even when the spectral resolution of the spectrometer was not very high. The total intensity of the ν_2 -fundamental band system was detd. at the highest temps. and a value of $240 \pm 15\%$ cm.⁻¹/cm. at standard temp. and pressure was obtained in the present expt. which is in agreement with other measurements at room temp. The max. error resulting from the presence of the strong central Q-branch (at 670 cm.⁻¹) at a temp. of 2300°K. was estd., utilizing detailed line calcs. for the fundamental transition and band-model calcs. for the higher-order transitions.

RCKX

C.A. 1967. 66. 10

CO₂

1966

6 Д259. Высокотемпературные спектральные излучательные способности и полные интенсивности системы полос CO₂ у 15 μ. Ludwig C. B., Ferriso C. C., Acton L. High-temperature spectral emissivities and total intensities of the 15-μ band system of CO₂. «J. Opt. Soc. America», 1966, 56, № 12, 1685—1692 (англ.)

При т-рах 1000—2300° К в области 1000—500 см⁻¹ с разрешением 2—9 см⁻¹ получены в абсолютных единицах спектры излучения молекулы CO₂ (колебание ν₂). Рассчитаны средние значения коэф. поглощения Q-ветвей 16 полос, обусловленных переходами типа 0(v₂+1)^{l+1}0 → → 0v₂^l0 и 1(v₂+1)^{l+1}0 → 1v₂^l0. Отмечается, что при т-ре 2300° К суммарная интенсивность Q-ветвей составляет ~16% от общей интенсивности системы полос ν₂, равной 240±15% см⁻² при нормальных т-ре и давлении.

В. Байков

09.1967.68

CO_2

Malkmus, Liedwig,
and Ferriso. 1966

J. Chem. Phys., 45, 3953.

Temperature dependence
of the total intensity of
difference band systems:
the 10μ band system
of CO_2 .

CO₂

V 7 Д281. ИК-спектры пленок двуокиси углерода при косом падении света. Pandey Gopal Krishna, Chandra Suresh. On the matrix spectra of the HF molecule. «J. Chem. Phys.», 1966, 45, № 11, 4369—4370 (англ.)

1966

ИК-спектр

Исследованы ИК-спектры поглощения тонких пленок CO₂, осажденных на подложку при т-ре 53° К, в области фундаментальных колебаний ν_2 (650—680 см⁻¹) и ν_3 (2270—2400 см⁻¹). Спектры каждой пленки изучались при норм. падении светового пучка и при угле падения 40°. Основные полосы поглощения (654,5; 659,6; 2344,0 см⁻¹) не изменяются при увеличении угла падения от 0 до 40°; отмечено появление новых полос 678,3 и 2383,0 см⁻¹ при неперпендикулярном падении. Высказано предположение, что зависящие от угла максимумы объясняются продольными колебаниями. Получено удовлетворительное согласие эксперим. данных с частотами полос, вычисленными при этом предположении по ф-ле Ведлера — Хорнига. Библ. 7.

С. Бурейко

X · 1964 · 70

CO_2

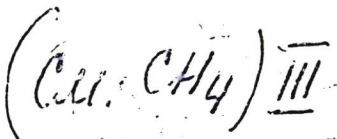
Peters &

1966

V F. Chem. Phys., 45; 3474.

March 1963 - 11

Ionization energies of
some small molecules.



CD_e Popov T. A., Segal T. A. 1966

J. Chem. Phys., 44, 19, 3289-3296.

Термодинамическое значение само-
согласованых молекуллярных
органических соединений.
III. Регулируемое, полу-
законное с молекулами методом
HHDN. Для систем AB₂ и AB₃.

(на BH₃)

CO_2

Ron A.,
Ssheppō O.

1966

Israel J. Chem., 4, n 1a, 46.

Сменор холодаючі реагенти
зберігають N_2 , CO_2 та CO .

(ак. N_2) III

CO₂

1966

Molecular spectroscopy with a laser source: determination of the vibrational transition moment and of the vibration-rotation line widths of the $\nu_3 - \nu_1$ transition of CO₂. Colette Rossetti and Pierre Barchewitz (Fac. Sci., Orsay, France). *Compt. Rend.*, Ser. A, B 262B(18), 1199-202(1966)(Fr). Mol. spectroscopy with a laser source permitted a direct measure of the absorption coeff. of CO₂ for each vibration-rotation band of the laser transition. This method was applied to the transition 1000 → 0001. The absorption coeff. $\alpha = (1/L) \log (\mathcal{J}_0/\mathcal{J}_t)$ was obtained for each band: P_{24} , P_{20} , and R_{17} . Values of integrated absorption coeffs. $S_0 = 8\pi^3 \sigma_{v'J''}^2 / 3hc |R_{v'J''}^2| [(N_{vJ}/g_{vJ}) - (N_{v'J'}/g_{v'J'})]$, (where the transition is $vJ \rightarrow v'J'$; N_{vJ} , $N_{v'J'}$, g_{vJ} , and $g_{v'J'}$ are populations and degeneracy degrees of vJ , and $v'J'$ levels; $\sigma_{v'J''}^2$ is the wave no.; and $|R_{v'J''}^2|$ is the matrixial element of elec. moment for the transition studied), were obtained under 1 atm. and at 300°K. The vibrational transition moment was deduced. Its value is in good agreement with those given in the literature. The widths of bands γ_0 were also obtained. A. R. Cambon

C.A. 1966: 65: 11
16265ab

CO₂

1986

Molecular spectroscopy with a laser source. Vibrational-rotational transition moment for the 00^01-10^00 transition of CO₂. Colette Rossetti, Françoise Bourbonneux, Robert Farrenq, and Pierre Barchewitz (Fac. Sci.; Paris). *Compt. Rend., Ser. A, B* 262B(26), 1684-6(1966)(Fr). An earlier report (*CA* 65, 16265a) gave some results on the use of a mol. CO₂ laser for the detn. of the absorption coeff. at the center of the vibrational-rotational lines of the transition 00^01-10^00 of CO₂. Improved precision has allowed measurements to be made on all of the lines that can be obtained with the laser source used. The value of the absorption coeff. at the center of the lines P_{12} to P_{24} and R_{13} to R_{24} of the transition 10^00-00^01 of CO₂ has allowed the detn. of the collisional half-width, the integrated absorption, and the sq. of the vibrational rotational transition for each line. The results obtained lead to the detn. of the vibrational-rotational interaction factor.

G. W. Cleek

C.A. 1986. 65. 12

i7898c

CO₂

(9)

B9 - M1632 - 11 | 1966

Sjögren H.

K.T.H. - Avhandl, 1966,

N 213, 4pp

M2015 -IV-BP

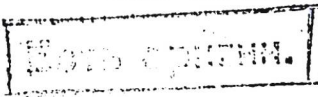
1966

CO₂ (A, P, O⁺)

Sjörga H.,

Arkiv. fys., 1966, 32, №6, 529-35,

Formation of carbon dioxide ions after electron and ion impact.



M , J

F^R

RJFis1967

de Smith Wm. Hayden, Leroy 1866

George E.

J. Chem. Phys., 45, n^o 5, 1784.

Kopperevica zelenkozimot
cinkoszinger a cinkosai koncentra-
ciót irányítja s kekesszögökkel mű-
ködik a mosogatásban.

* Kör 63/1. III

CO₂

1966

5 Д730. Вероятности переходов между уровнями
CO₂. Statz H., Tang C. L., Koster G. F. Transition
probabilities between laser states in carbon dioxide.
«J. Appl. Phys.», 1966, 37, № 11, 4278—4284 (англ.)

Определены вероятности излучательных переходов между участвующими в генерации колебательными уровнями CO₂ путем диагонализации больших гамильтоновых матриц (до 30×30 членов). Необходимый для расчета дипольный момент найден сравнением теоретич. и эксперим. коэф. поглощения. Получено хорошее соответствие расчетных и измеренных ранее вероятностей переходов. Показано, что при рассмотрении времен релаксации излучательные процессы можно не рассматривать, т. к. вычисленные радиационные времена жизни для большинства колебательных уровней достаточно велики и релаксация, по-видимому, имеет место при столкновениях между молекулами.

И. Елькина

Ф. 1967. 58

CO₂

1966

8 Д235. Определение интегральной интенсивности полосы CO₂ около 15 μ. Vaganasi P., Lauer J. L. A redetermination of the integrated intensity of the 15 micron bands of carbon dioxide. «J. Quant. Spectrosc. and Radiat. Transfer», 1966, 6, № 1, 127—130 (англ.)

С помощью техники самоуширения (при давлении газа в оптич. ячейке до 10 атм) определена интегр. интенсивность полосы 15 μ двуокиси углерода при 300° К. Большое внимание обращено на устранение рассеянного света и определение геометрич. длины ячейки, т. к. точное измерение эффективного увеличения оптич. пути при повышении давления существенно для нахождения интегр. интенсивности. Рассмотрено изменение контура полосы с давлением. Полученное значение интегр. интенсивности составляет $200 \pm 10 \text{ см}^{-2} \cdot \text{атм}^{-1}$. Библ. 10 назв.

С. Бурейко

ф. 1966. 82

CO₂

1967

24 Б114. Определение момента колебательного перехода $00^{\circ}1 \rightarrow 00^{\circ}0$ для газообразного CO_2 из дисперсионных измерений. Arcas Philippe, Hochard — Demol-Lière, Lucetle. *Détermination du moment de transition vibrationnel pour la transition $00^{\circ}1 \rightarrow 00^{\circ}0$ du gaz carbonique par des mesures de dispersion.* «С. г. Acad. sci.», 1967, 264, № 17, 1258—1260 (франц.)

На основании измерения дисперсии газообразного CO_2 в области $2400—2500 \text{ см}^{-1}$ получено значение интенсивности основной полосы v_3 , равное $2327 \pm 11 \text{ см}^{-2} \text{ атм}^{-1}$, что на 10—15% ниже литературных данных, полученных непосредственными измерениями интенсивности. Подчеркивается, что метод позволяет получать значения интенсивностей, не зависящие от предположений о форме контура линий в колебательно-вращательной полосе.

Библ. II.

Э. В. Б.

Х. 1967. 24

CO₂

1967

(Publ. No.)

14235s Determination of numerical values of the rotational constant D_{eff} for the molecules $^{12}\text{C}^{16}\text{O}_2$ and $^{13}\text{C}^{16}\text{O}_2$. Andrade e Silva, Maria Helena (Lab. Spectrosc. Mol., Fac. Sci. Paris, Fr.). *Ann. Phys. (Paris)* 1967, [14] 2(4), 217-24 (Fr). In ir spectroscopy, high order energy corrections are needed for the interpretation of high resoln. vibration-rotation spectra. A theoretical study has been made of vibration-rotation spectra of linear mols., esp. CO₂. A rotational anal. was made of sym.

C.A. 1968-69



triat. mols. XY_2 with a Fermi resonance between the bands ν_1 and $2\nu_2$, esp. the CO_2 mol. The consts. B_{eff} and D_{eff} relative to the mols. XY_2 were calcd., with consideration of all of the energy corrections up to the 4th order. The coeffs. δ , δ' , β_1 , β_2 , and β_3 of the matrix elements from the r^3P^2 4th-order Hamiltonian operators were calcd. as functions of the mol. parameters. The differences $\Delta D_{calcd.}$ between the values of D_{eff} relative to the upper and lower levels of the transition were calcd. for a large no. of transitions observed in the spectra of $^{12}C^{16}O_2$ and $^{13}C^{16}O_2$. The $\Delta D_{calcd.}$ were compared with published exptl. results. 15 references.

GRJF

CO₂

1967

3 Д199. Изучение перехода $00^{\circ}1-10^{\circ}0$ N_2O . Влияние постороннего газа на колебательно-вращательный переход $00^{\circ}1-10^{\circ}0$ в CO_2 . Boulin Robert, Brulebois Daniel, Rossetti Colette. Etude de la transition $00^{\circ}1-10^{\circ}0$ de N_2O . Influence d'un gaz perturbateur sur les largeurs des raies de vibration-rotation de la transition $00^{\circ}1-10^{\circ}0$ de CO_2 . «С. р. Acad. sci.», 1967, 265, № 3, B195—B197 (франц.)

Измерен коэф. поглощения в центре линий полосы $00^{\circ}1-10^{\circ}0$ $N_2O \sim 938 \text{ см}^{-1}$. Определен момент колебательно-вращательного перехода и полуширины при соударениях для каждой изучаемой линии. Изучено влияние различных искажений на ширины линий CO_2 для перехода $00^{\circ}1-10^{\circ}0$ в области 961 см^{-1} , что позволило сделать вывод об эффективном сечении соответствующих соударений.

Резюме

9.1968. ЗД

17

CO₂

N₂O

(конд.)

спектр

КР

20 Б177. Спектры комбинационного рассеяния поликристаллических CO₂ и N₂O. Cahill J. E., Treuil K. L., Miller R. E., Leto I G. E. Raman spectra of polycrystalline CO₂ and N₂O. «J. Chem. Phys.», 1967, 47, № 9, 3678—3679 (англ.).

106

Получены низкочастотные спектры КР поликристаллических CO₂ и N₂O при т-рах 90 и 170° К. Спектры возбуждались как ртутной лампой низкого давления, так и He—Ne-лазером. В спектрах обоих соединений наблюдается по три линии, которые при изменении т-ры смещаются в небольших пределах; при т-ре 170° К для CO₂ линии имеют частоты 70, 85 и 124 см⁻¹, а для N₂O 61, 71, 110 см⁻¹, соотв. Линии отнесены к вращательным качаниям молекул в элементарной ячейке. Сходство спектров еще раз подтверждает сходство св-в изоэлектронных молекул CO₂ и N₂O. Несколько большая ширина линий в спектре N₂O приписана неоднородности кристалла.

А. Бобров



CO_2

XIV -9796a

1967

M. II.

43360p Vibrational analysis of the $^{12}\text{C}^{16}\text{O}_2$ molecule. Alain Chedin and Zdenek Cihla (Fac. Sci., Paris). *Cah. Phys.* 21 (199-200), 129-11(1967)(Fr). The terms in the Hamiltonian considered up to the fourth order of approxn. are set out for calcg. the vibrational consts. of the $^{12}\text{C}^{16}\text{O}_2$ mol. An analysis yields the B_{0000} , α_1 , α_2 , α_3 consts., and the δ const. in the nondiagonal contribution of the third order of the form $J(J + 1)\delta$, showing good general agreement between the exptl. and theoretical values for the vibration energies.

Rhys Matthews

C.A. - 1968. 68 '10

$C^{12}O^{16}$

2

РУ 9642

1967
4 Д117. Колебательный анализ молекулы $C^{12}O_2^{16}$. Chedin Alain, Cihla Zdenek. Analyse vibrationnelle de la molécule $^{12}C^{16}O_2$. «Cahiers phys.», 1967, 21 № 199—200, 129—141 (франц.; рез. англ.)

В четвертом приближении составлена ф-ла для колебательной энергии молекулы. Затем в эту ф-лу внесены поправки, обусловленные резонансом Ферми. Для определения входящих в эту ф-лу параметров по спектральным данным применен итерационный метод. Рассмотрены случаи линейных и нелинейных зависимостей уровней энергии от искомых параметров. В расчете использовано вычисление производных от энергии по параметрам. В результате расчета определены нулевые частоты, постоянные ангармоничности 2-го и 3-го порядка.

09.1968. 4

ков x и y и коэф. в ф-ле, выражающей матричный эле-
мент возмущения через колебательные квантовые числа.
Дана оценка погрешностей. Вычисленные с найденными
постоянными значения энергии многих уровней очень
близки к опытным значениям.

М. А. Ковнер

1967

Dibeler V. H.
Walker J. A.

J. Opt. Soc. Amer., 57, N 8,
1007.

Place - синтезатор. изгра-
див фосфогеназы VI.
 O_2 , CO_2 , \bullet COS и CS_2

(цик. O_2) III

CO_2

Gehrhardt H.,
Kresling A. 1907

9
D.
Z. Naturforsch., 22a, v 12,
2036.

Duccoyuanubisae vorreza-
yer N_2 , O_2 , H_2O , CO_2 u
nūata. (cu. N_2) III

CD₂

1984

25218u Relative intensity calculations for carbon dioxide.
III. Relative line intensities of transitions from the vibrational
ground state for temperatures from 160° to 280°K. L. D. Gray
(Jet Propulsion Lab., Pasadena, Calif.). *J. Quant. Spectrosc.*
Radiat. Transfer. 7(5), 795-803(1967)(Eng); cf. CA 63: 1347g.
Rotational line intensities, relative to the integrated intensity of a
vibration-rotation band, are tabulated from 160 to 280°K. at
intervals of 20°K. These tables are intended to cover the temp.
range of interest for the atm. of Earth and Mars. RCHR

C.A. 1988:

68-6

1967

CO₂

91576f) Absorption and emission spectra of carbon dioxide at
4.3 microns. Hahn, Yu Hak (Pennsylvania State Univ.,
University Park, Pa.). 1967, 106 pp. (Eng). Avail. Univ.
Microfilms, Ann Arbor, Mich., Order No. 68-8700. From
Diss. Abstr. B 1968, 29(1), 338.

SNDC

newsp

C.A. 1968-69-22

CO₂

1967

16 Б130. Флуоресценция с третьего колебательного уровня двуокиси углерода. Houghton J. T. Fluorescence from the v_3 vibration of carbon dioxide. «Proc. Phys. Soc.», 1967, 91, № 2, 439—448 (англ.)

Исследована флуоресценция (Φ) с третьего колебательного уровня (2349 см^{-1}) CO_2 . Время релаксации при дезактивации соударением для этого уровня измерено при помощи модуляции возбуждающего излучения $4,3 \mu$ с частотой 350 или 750 Гц и наблюдением фазового сдвига между возбуждающим сигналом и Φ . В случае CO_2-CO_2 соударений при $T = 290^\circ \text{ K}$ и давлении 1 атм время релаксации равно 7 ± 1 мсек. Относительная эффективность дезактивации соударениями CO_2-Ag по сравнению с CO_2-CO_2 равна $0,09 \pm 0,03$. Величина интенсивности Φ хорошо согласуется с полученной из теоретического расчета для уширенных давлением линий поглощения.

О. Г. Гаркуша

X·1968·6

1964

CuprobienocturneCO₂

108401h Correlation of force constants with bonding in the dichalcogenides of carbon. Llewellyn H. Jones (Los Alamos Sci. Lab., Los Alamos, N. Mex.). *Inorg. Chem.* 6(2), 29-30(1967) (Eng). For XCR mols. where X, R equals O, S, Se, and Te there are 10 possible species. A general expression for the interaction consts. in terms of primary force consts. was derived with the following hypotheses. For XCR any change in the CX bond order gives a proportional change of opposite sign for the CR bond order independent of R. The proportionality const., γ , is the same for all X. A small change in bond order causes a proportional change of opposite sign in bond length and vice versa. The proportionality const. depends on the atoms involved. The harmonic frequencies of the 10 species were calcd. from γ and the approx. values for the primary stretching force consts. The calcd. and observed harmonic frequencies agree well. DWJN

+10

C.A. 1967 66-24



monocyclic

+ even. noCS.

CO_2 , CS_2 , CSe_2 , CTe_2

OCS , OCSe $\text{OC}\bar{\text{Te}}$.

SCSe

SCTe SeCTe

1967

CO₂ ω_3^0 x_{33}^0 y_{333}

73641y Infrared emission of CO₂-N₂ and CO₂-N₂-He plasmas. T. K. McCubbin, Jr., and Yu. Hak Hahn (Pennsylvania State Univ., University Park). *J. Opt. Soc. Amer.* 57 (11), 1373-5(1967)(Eng). A high-resoln. spectroscopic study has been made of the emission in the 4.3- μ region of elec. excited CO₂-N₂ and CO₂-N₂-He plasmas. CO₂-rich plasmas emit an intense spectrum in which *P*-branch and low-*J* *R*-branch lines appear in absorption. The *R*-branch band heads ($J \approx 120$) appear as emission features in such spectra and there is a region of mixed absorption and emission. CO₂-N₂ plasmas which would sustain laser oscillations in a suitable cavity exhibit emission lines and derive most of their intensity from the fundamental and four hot bands of the naturally abundant CO₂ isotope. With the mixt. ratio and pressure carefully adjusted, the CO₂-N₂-He plasma emits lines of the 00⁰3-00⁰2 and 00⁰2-00⁰1 bands. Bands from ¹³C¹⁶O₂, ¹³C¹⁶O¹⁸O, and ¹³C¹⁶O¹⁸O, which are prominent in the CO₂ absorption spectra, do not appear in the plasma spectra. The mol. consts. ω_3^0 , x_{33}^0 , and y_{333} are derived from bands in the 00v₃-00(v₃-1) sequence.

RCKX

C.A. 1968 • 68 • 16

CO₂

1967

10 Д100. Изучение линейных растяжений в полигатомных молекулах: точные самосогласованные MO волновые функции для CO₂ и BeF₂. Peyerimhoff Sigrid D., Buenker Robert J., Whitten Jerry L. Study of linear stretch in polyatomic molecules: accurate SCF MO wavefunctions for CO₂ and BeF₂. «J. Chem. Phys.», 1967, 46, № 5, 1707—1716 (англ.)

Точные самосогласованные MO расчеты были проведены для CO₂, BeF₂ и различных AH₂ и AH₃ молекул с целью изучения поведения различных энергетич. характеристик в зависимости от межъядерных расстояний. Кривая, соответствующая сумме орбитальных энергий, имеет минимум при гораздо более коротких расстояниях, чем кривая полной энергии. Т. обр., сумма валентных орбитальных энергий не дает представления о правильном равновесном расстоянии, хотя и правильно указывает равновесные углы.

М. А. Долгушин

+1

09.1967.10

田

CO₂

1967

Д151. Важность квадратичных силовых постоянных для расчета Ферми-резонанса. Reichman Sander, Overend John. Importance of quadratic force constants in Fermi resonance. «J. Chem. Phys.», 1967, 47, № 4, 1525—1530 (англ.)

см. пост.
Проведены вычисления кубич. силовых постоянных норм. координат, определяющих величину связи между двумя резонирующими состояниями при ферми-резонансе, в некоторых простых типичных случаях: для молекул CO₂, N₂O, ClCN, BrON, HOD, D₂O и некоторых атомных групп. При вычислениях использовалось представление кубич. силовой постоянной норм. координат через квадратичные и кубич. силовые постоянные внутренних координат (координат растяжений валентных связей и деформаций валентных углов), причем связь норм.

9.1968. 28



координат с внутренними была нелинейной. Результаты вычислений приводятся в таблицах. Обнаружено, что основной вклад в кубич. силовую постоянную, определяющую величину ферми-резонанса, вносят квадратичные валентные силовые постоянные, а квадратичные деформационные и кубич. постоянные валентного и деформац. взаимодействий дают намного меньшие вклады. Этот факт позволяет предсказывать величину ферми-резонанса из знаний только квадратичных валентных силовых постоянных, которые известны для большого числа молекул. Обсуждается возможность распространения полученных выводов на большие молекулы.

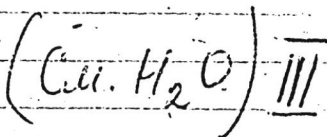
В. А. Морозов

CO_2

Segal G.A., Klein M.L. 1967

J. Chem. Phys., 47, N10, 4236

Stereoselective intermolecular -
recip & LR - cocrystallization
among CNDO.



CO_2

Spurling T.H.
Mason E.A.

1967

J. Chem. Phys., 46, N1, 322

Определение квадрупольных
моментов коллекти-
ивного возбуждения в первом
и втором верхней-
шном колебательном



(чи. O_2 III)

Bsp - M 2350 - IV

1967

CO₂

10 Д273. Множители Франка — Кондона при ионизации: использование молекулярной фотоэлектронной спектроскопии. II. Turner D. W., May D. P. Franck — Condon factors in ionization: experimental measurement using molecular photoelectron spectroscopy. II. «J. Chem. Phys.», 1967, 46, № 3, 1156—1160 (англ.)

С помощью 180° магнитного анализатора скоростей электронов исследована тонкая колебательная структура молекулярных фотоэлектронных спектров, возбужденных фотонами резонансной линии Не ($h\nu = 21, 21 \text{ эВ}$) в молекулах CO₂, COS, CS₂ и N₂O. Выполнено полное колебательное отнесение всех полос CO₂ и N₂O и для двух полос COS. Определены экспериментальные значения множителей

09.1967.10

18

Франка — Кондона для ионизации из уровней, лежащих у CO_2 и N_2O выше 21,21 эв; для двух состояний CO_2^+ (X и A) произведено сравнение полученных величин с расчетными значениями. В молекуле COS проанализировано одно (C) состояние; у CS_2 тонкой структуры разрешить не удалось. Вычислены значения вертикальных ионизационных потенциалов для всех уровней. Библ. 1; Ч. I см. РЖФз, 1967, 8Д177.

С.

CO₂

B9P - 2350 - M IV

1967

З Б96. Коэффициенты Франка — Кондона в процессах ионизации: экспериментальное измерение с применением молекулярной фотоэлектронной спектроскопии. II. Tig-
ner D. W., May D. P. Franck — Condon factors in ioniza-
tion: experimental measurement using molecular photo-
electron spectroscopy II. «J. Chem. Phys.», 1967, 46, № 3,
1156—1160 (англ.)

Для выяснения тонкой колебательной структуры молекулярных фотоэлектронных спектров, возбуждаемых фотонами резонансной линией гелия ($R\nu = 21,21$ эв) в молекулах двуокиси углерода, сульфокиси углерода, сероуглерода и зakisи азота, использован ранее описанный скоростной электронный анализатор с 180° отключе-

x · 1968 · 3

15

нием магнитного поля. Экспериментально определены коэффициенты Франка—Кондона для случаев ионизации с уровнями CO_2 и N_2O , лежащих выше 21,21 эв; для двух состояний (X, A) иона CO_2^+ экспериментальные данные сравниены с расчетными. В случае CO_2 анализ приведен только для одного состояния (C); в CS_2 детальная структура не достигается нужной степенью разрешения. Для всех этих уровней определены значения вертикальных потенциалов ионизации. Сообщ. I. см. РЖХим, 1967,
18Б104.

Резюме:

1967

 CO_2

6 Д397. Влияние температуры на ближний ИК-спектр поглощения молекул в конденсированном состоянии. I. Двуокись углерода. Waggener W. C., Weinberger A. J., Stoughton R. W. Effects of temperature on the near-infrared absorption spectra molecules in the condensed states. I. Carbon dioxide. «J. Phys. Chem.», 1967, 71, № 13, 4320—4325 (англ.)

Изучены ИК-спектры (1,2—2,5 μ) жидкого CO_2 . В указанной области спектра обнаружены 13 полос поглощения. Все эти полосы в спектре разреженного газа характеризуются D -, Q -, R -вращательной структурой и являются парал. полосами. При переходе CO_2 из газообразного состояния в жидкое P - и R -ветви смещаются к центру полосы и совмещаются с Q -ветвью, в результате чего интенсивность в максимуме полосы резко возрастает. Все полосы отнесены. Получена температурная зависимость спектра в области 1,19—1,66 μ в интервале

09. 1968. 68

т-р от -80 до 60° . Спектр CO_2 в твердом состоянии снимался для двух точек: -80° , $0,9 \text{ atm}$ и $-56,6^\circ$, $5,1 \text{ atm}$ (тройная точка). Спектр CO_2 в жидком и газообразном состояниях измерялся для ряда точек в интервалах тройная точка — критич. точка ($31,1^\circ$, $72,9 \text{ atm}$) и критич. точка — 65° , 136 atm соответственно. Измерены зависимости полуширин полос ($\Delta\nu_{1/2}$) от т-ры. С ростом т-ры до 0° величина $\Delta\nu_{1/2}$ возрастает на 25 — 75% и при 65° — на 200 — 400% . Показано, что полоса $1,6 \mu$ в спектре жидкого CO_2 во всем интервале т-р имеет форму, описываемую ф-лой Лорентца, что говорит о том, что молекулы CO_2 в конденсированном состоянии не образуют ассоциатов и, по-видимому, участвуют в случайных, застороженных вращательных движениях. Обнаружено, что интегр. интенсивность полос (221) и (141) изменяется нелинейно в зависимости от т-ры и плотности от $0,2\%/\text{град}$ в тройной точке до $5\%/\text{град}$ в критич. точке. Обнаружено также, что интенсивность полос возрастает с ростом т-ры и уменьшением плотности.

И. В. Кумпаненко

CO₂

1967

Б169. Определение силы уширенных давлением полос CO₂ в области 15 μ методом цифрового интегрирования спектров. Wolk Martin. The strength of the pressurebroadened CO₂ bands at 15 microns by digital integration of spectra. «J. Quant. Spectrosc. and Radiat. Transfer», 1967, 7, № 1, 1—5 (англ.)

Значение силы полосы CO₂ для интервала 590—800 см^{-1} найдено равным $225 \pm 7 \text{ см}^{-1}/\text{атм}$ при величине оптич. пути от 0,004 до 0,08 атм·см., давлении 57 атм, т-ре 25° с использованием N₂ в качестве уширяющего агента. При определении систематич. ошибок измерения вводилась поправка на адсорбцию. Экспериментальные значения пропусканий получались в цифровой форме и интегрировались с помощью вычислительной машины при шаге интегрирования 0,1 см^{-1} . Автореферат

x · 1968 · 1

CO₂

1967

7 Б118. Внутримолекулярный обмен колебательной энергии в CO₂. Yardley James T., Moore C. Bradley. Intramolecular vibraton-to-vibration energy transfer in carbon dioxide. «J. Chem. Phys.», 1967, 46, № 11, 4491—4495 (англ.)

Измерена скорость затухания флуоресценции молекул CO₂, возбужденных в состояние (00°1) (антисимметричное деформац. колебание) излучением газового лазера на CO₂. По наклону кривой интенсивности определено время (и вероятности) колебательной дезактивации молекул CO₂ в смеси с CO₂, He³, He⁴, Ne, Ar, Kr и Xe. Интенсивность дезактивации слабо зависит от массы парт-

Х. 1968. ♀

иера по столкновению, достигая максимума при условии $\Delta E/n\tau \sim 1$, где ΔE — разность энергий колебательных уровней, а τ — продолжительность столкновения. Для объяснения полученных результатов автор использует теорию колеблющихся сфер в варианте Тансзоса (РЖФиз, 1957, 7, 16900). Согласие с экспериментом удается получить лишь в том случае, если учесть смешивание колебаний (волновых функций) молекулы CO_2 за счет ангармоничности и кориолисова взаимодействия.

При этом среди всех возможных каналов дезактивации наибольшей вероятностью отмечен процесс $(00^{\circ}1)-(11^{\circ}0)$. Измеренная вероятность дезактивации в чистом CO_2 примерно на порядок меньше вероятности дезактивации при столкновении молекулы CO_2 с атомами инертных газов. Отмечается, что для метана наблюдается противоположная зависимость.

А. И. Осипов

CO₂

Yonezawa T., Oama-
guchi K., Kato H.

1984

Chem.

Bull. Soc. Japan, 40, n3,
536.

Насыщенные пары
алкогольных спиртов
самого высокого
качества и
составлены из
высококачественных
сырьевых материалов

кумпирных образований.
I. Массовые монолиты
(см. фиг.)

CO₂

No

Yoshimine M.,
McLean A.D.

1967

Int. J. Quantum. Chem.,
Symp. 1967 (n°1)

(see. LiF)

III

CO_2

Absar T.

1968

pacem
зелен.
суп-ре

Физермажеэ 1968г., 117cip.
N69-9303

Diss. Abstr.,
B, 1969, 29, N12, 4607

HCHO

HCN

NCO, CO_2^+



CO₂ 1968
7 Д165. Определение численных значений вращательной постоянной для молекул C¹²O₂¹⁶ и C¹³O₂¹⁶. Andrade e Silva Maria Helena. Détermination des valeurs numériques de la constante rotationnelle D_{eff} , pour les molécules C¹²O₂¹⁶ et C¹³O₂¹⁶. «Ann. phys.», 1967(1968), 2, № 4, 217—224 (франц.)

Эффективные значения вращательных постоянных $B_{\text{эфф}}$ и $D_{\text{эфф}}$ линейной молекулы выражаются через поправки 3- и 4-го порядков к колебательно-вращательной энергии. Приводятся ф-лы зависимости этих поправок от нульевых частот, постоянных анагармоничности, коэф. β в разложении D_v по колебательным квантовым числам v и от квантовых чисел l , v . Составлена таблица численных значений этих молекулярных постоянных для C¹²O₂¹⁶ и

99 · 1968 · 78

$\text{C}^{13}\text{O}_2^{16}$. Для многих уровней, участвующих в резонансе Ферми, l -резонансе и резонансе Куртуа, вычислены разности $D_{\text{эф}} - D_{000}$. D_{000} относится к фундаментальным уровням и принимает значения $13,5 \cdot 10^{-8}$ и $13,7 \cdot 10^{-8} \text{ см}^{-1}$ для двух молекул. Такие же разности вычислены в приближении, в котором значения β принимаются равными нулю. Вычисленные разности сравниваются с их опытными значениями. Расхождения находятся в пределах ошибок измерений.

М. А. Ковнер

1968

CO₂

) 10 Д285. Интенсивность полос CO₂ в области 1,6 μ.
 Boese R. W., Miller J. H., Inn E. C. Y., Givet L. P.: Intensity of the 1.6 μ bands of CO₂. «J. Quant. Spectrosc. and Radiat. Transfer», 1968, 8, № 3, 1001—1011
 (англ.)

Проведены количеств. измерения интенсивности и полуширины для ~30 линий каждой из четырех полос C¹²O₂¹⁶ в области 1,6 μ. Полные интенсивности полос, полученные из интенсивностей линий для (30°1)_I, (30°1)_{II}, (30°1)_{III}, (30°1)_{IV}, соответственно равны 127, 1050, 1070 и 122 см⁻¹ км⁻¹ атм⁻¹ при стандартных т-ре и давлении. Наблюдаемое распределение интенсивностей вращательных линий полосы (30°1)_{III} немного отклонено.

90. 1968. 102

няется от больцмановского распределения. Удовлетворительное объяснение наблюдаемому распределению дано на основе слабого колебательно-вращательного взаимодействия. Ширина линий полосы ($30^{\circ}1$)_{IV} на 50% больше, чем ширина линий остальных трех полос. Наблюдалось изменение ширины линий в зависимости от вращательного квантового числа. Приведены спектры сравнения наблюдаемой и расчетной интенсивностей для некоторых линий каждой из полос. М. В. Дедюлина

1968

C¹²O₂

18

У2 Б189. Инфракрасный спектр C¹²O₂¹⁸. Chackerian Charles, Jr., Eggers David F., Jr. The infrared spectrum of ¹²C¹⁸O₂. «J. Molec. Spectrosc.», 1968, 27, № 1—4, 59—71 (англ.)

В области 2000—5000 см⁻¹ исследованы вращ.-кол. ИК-спектры поглощения молекул C¹²O₂¹⁸ (8 полос) и C¹³O₂¹⁸ (2 полосы). Из анализа этих полос определены значения ν_0 , B' , B'' — постоянных, а для некоторых полос также значения D' — постоянной (при анализе принималось $D' = D''$ или $D' = D'' = 0$). А. Александров

x. 1969. 2

CO₂

1Д338. Обнаружение ионизации, преионизации и конверсии внутренней энергии в CO₂, COS и CS₂ с помощью фотоэлектронной спектроскопии. Colin J. Jacques E., Natalis Paul. Ionization, preionization and internal energy conversion in CO₂, COS and CS₂ by photoelectron spectroscopy. «Int. J. Mass Spectrom. Ion Phys.», 1968, 1, № 2, 121—132 (англ.)

1968

В связи с зависимостью сечения фотоприонизации от энергии фотонов произведено сравнение фотоэлектронных спектров, полученных с разными источниками облучения. При сопоставлении спектров CO₂, COS и CS₂, возбуждаемых излучением резонансных линий гелия, неона и аргона, обнаружены новые слабые полосы, обусловленные преионизацией. Предлагаемый механизм появления полос связан со сверхвозбужденными состояниями; далее, при внутренней конверсии происходит каскадное заселение автоионизационных состояний, проявляющихся в спектре. Существование такого процесса подтверждается наблюдаемой зависимостью интенсивности автоионизационных полос от давления газа.

Библ. 21.

+2

AT

Ф. 1974 № 1

CO2, COS
CS2
(M)

63282p Ionization, preionization, and internal energy conversion in carbon dioxide, carbon oxysulfide, and carbon disulfide by photoelectron spectroscopy. Collin, Jacques E.; Natalis, Paul (Univ. Liege, Liege, Belg.). *Int. J. Mass Spectrom. Ion Phys.* 1968, 1(2), 121-32 (Eng). Photoelectron spectra for CO₂, COS, and CS₂ were recorded. The expts. were performed with 3 different monochromatic resonance lines: the 584-A. - (21.21-ev.) line of He, the 736-744-A. (16.83-16.65-ev.) doublet of Ne, and the 1048-1067-A. (11.82-11.61-ev.)d oublet of Ar. - For CO₂ (1st IP = 13.78 ev.), only He and Ne sources were used. As a general result, certain ionization processes not detected with the 584-A. radiation could be observed either with the Ne or Ar lines. In CO₂, COS, and CS₂ many direct photoionization processes are detected. The use of the various light sources revealed ionization processes not reported previously. The new processes may be explained by assuming that the mols. are 1st superexcited and then decay from 1 superexcited state to another by internal conversion without fluorescence till they reach very short-lived preionized states from which autoionization takes place. The internal conversion occurs easily since a considerable pressure effect is observed. 31 references. JDJN

1968

+ 2nd
E.A. - 1968: 69: 16



CO₂

1968

1 Б142. Исследование процессов ионизации, преионизации и конверсии внутренней энергии в CO₂, COS и CS₂ с помощью фотоэлектронной спектроскопии. Collin Jacques E., Natalis Paul. Ionization, preionization and internal energy conversion in CO₂, COS and CS₂ by photoelectron spectroscopy. «Int. J. Mass Spectrom. and Ion Phys.», 1968, 1, № 2, 121—132 (англ.)

спектр

Изучены фотоэлектронные спектры CO₂, COS, CS₂ при возбуждении излучением He-I и Ne-I. Энергии ионизации валентных уровней хорошо согласуются с данными, полученными др. физ. методами. При использовании излучения Ne-I обнаружены доп. максимумы с энергией 14,65 эв в CO₂, 12,33 и 13,53 эв в COS и 11,0 эв в CS₂. Доп. максимум в случае молекулы CO₂ объяснен первоначальным образованием сверхвозбужденного состояния ${}^2\Pi_g$ CO₂⁺ с колебательной энергией 2,8 эв в результате поглощения кванта излу-

№ 3

X. 1984. 115

15

чения Ne-I. Это состоящее непосредственно или через автономизацию уровень с энергией 15,75 эв переходит в состояние 2P_g CO с колебательной энергией 0,75 эв. Эмиссия фотоэлектронов с энергией 2 эв наблюдается в виде максимума в фотоэлектронном спектре с энергией 14,65 эв. Аналогичным образом объяснены остальные добавочные максимумы фотоэлектронного спектра.

В. И. Нефедов

12 18
CO₂

1968

8 Д274. ИК-спектр $C^{12}O_2^{18}$. Chackerian Char-
les, Jr. Eggers David F., Jr. The infrared spectrum
of $^{12}C^{18}O_2$. «J. Molec. Spectrosc.», 1968, 27, № 1—4, 59—
71 (англ.)

Получен ИК-спектр $C^{12}O_2^{18}$ в области 2000—5000 см^{-1} .
Наблюдено восемь колебательно-вращательных полос
 $C^{12}O_2^{18}$ и две $C^{13}O_2^{18}$ при разрешении 0,3—0,6 см^{-1} .
Приведено обсуждение полученных из анализа вра-
щательных постоянных. Библ. 9.

Резюме

09.1969. 89

CO₂

1968

8 Д191. Масс-спектрометрия на основе последовательных электронных столкновений. III. Ионы и осколки из CO₂ и CS₂. Cutthbert J., Fargen J., Grahamada Rao B. S., Preece E. R. Sequential mass spectrometry. III. Ions and fragments from carbon dioxide and

99. 1968. 89

17

disulphide. «J. Phys. (Proc. Phys. Soc.) [formerly «Proc. Phys. Soc.»], 1968, B 1, № 1, 62—70 (англ.)

С помощью ионной ловушки, создаваемой объемным зарядом ионизирующих электронов, изучались столкновения медленных молекул CX_2 (CO_2 или CS_2) с электронами, приводящие к образованию CX_2^{2+} , CX^+ , C^+ и X_2^+ , X^+ . Ионы X^+ образуются также из атомов X , возникающих при диссоциации молекул CX_2 на горячем катоде. Определены потенциалы двукратной ионизации CS_2 и CO_2 , равные соответственно $25,5 \pm 0,3$ эв и $36,3 \pm 0,5$ эв. Потенциал появления S_2^+ из CS_2 равен $18,2 \pm 0,3$ эв в согласии с величиной, ожидаемой из значения потенциала ионизации S_2 , равного $10,8 \pm 0,3$ эв. Приводятся относительные вероятности переходов для 19 наблюдаемых процессов. Ч. II см. РЖФиз, 1967, 12Д215.

Г. К.

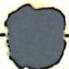
1968

CO₂

Dibeler V.H.,
Walker J.A.

quotation
selected;
D₀^o

Advances Mass Spect
rom. VOL 4, London,
1968, 767.



(Cul. O₂) III

CO₂, CS₂, SO₂ (Y)

1968

(Y; used)

63292s Photoelectron spectra and ionic structure of carbon dioxide, carbon disulfide, and sulfur dioxide. Eland, J. H. D.; Danby, C. J. (Univ. Oxford, Oxford, Engl.). *Int. J. Mass Spectrom. Ion Phys.* 1968, 1(2), 111-19 (Eng). Photoelectron spectra of CO₂, CS₂, and SO₂ excited by 584-A. radiation have been measured at a resoln. of 20 mv. over the whole energy range. Ionization potentials, vibration frequencies of the ions, and relative vibrational transition probabilities are presented for CO₂ and CS₂ and are used to derive structural information about the ionic states. A vibrational anal. of the photoelectron spectrum of SO₂ leads to est. of the ionic geometry in different states and to the conclusion that *d*- π bonding is effective in one of the 4b₂ or 1a₂ orbitals.

JDJN

t² 2u₁

C. A. 1968

69: 16

X

CO_2

1962

2 Д355. Фотоэлектронные спектры и структура ионов
 CO_2 , CS_2 и SO_2 . Et and J. H. D., Danby C. J. Photo-
electron spectra and ionic structure of carbon dioxide,
carbon disulphide and sulphur dioxide. «Int. J. Mass
Spectrom. and Ion Phys.», 1968, 1, № 2, 111—119
(англ.)

Фотоэлектронные спектры CO_2 , CS_2 и SO_2 , возбуждае-
мые резонансным излучением HeI 584 Å, записаны с
разрешением 20 мэв в области энергии до 20 эв. Опре-
делены потенциалы ионизации, колебательные частоты и
относит. вероятности возбуждения различных колебатель-
ных уровней для ионов CO_2^+ и CS_2^+ и рассчитана
геометрия ионов в возбужденных состояниях. Проведен
анализ структуры более сложного спектра SO_2 , состоя-
щего в основном из 3 полос: 12,305; 13,01 и 15,986 эв,
каждая из которых образована двумя ионизационными
переходами. Максимум при 16,73 эв, по-видимому, обус-
ловлен диссоциацией с образованием SO^+ или S^+ . Об-
суждаются структура возбужденных состояний иона и
свойства молекулярных орбиталей исходных молекул.
Библ. 13.

В. А.

CO₂

коэф.

поглощ.

19 Б216. Определение интенсивности полосы CO₂ у 667 см⁻¹ из спектров низкого разрешения. Hagward C. N., Patty R. R. Low-resolution determination of the strength of the 667-см⁻¹ CO₂ band. «J. Opt. Soc. Amer.», 1968, 58, № 2, 188—191 (англ.)

В области 610—730 см⁻¹ получены спектры поглощения смесей CO₂÷N₂ при оптич. толщинах от 0,00773 до 0,2063 атм·см и общих давлениях смеси до 13 атм. Для уменьшения ошибок, вызванных адсорбцией и десорбцией CO₂, измерения поглощения проведены при непрерывном потоке предварительно смешанных газов через кювету. Получены кривые спектрального хода коэф. поглощения в P-, R- и Q-ветвях полосы CO₂ и определено значение интегральной интенсивности полосы, равное 240±±20 см⁻² атм⁻¹ при стандартных условиях. Обсуждены данные других работ по измерению интенсивности полосы ν₂ молекулы CO₂.

К. Василевский

X. 1968. 19

1968

CO₂

1968

Keshishian

82718f Low-resolution determination of the strength of the 667-cm.⁻¹ carbon dioxide band. C. N. Harvard and R. R. Patty (North Carolina State Univ., Raleigh, N.C.). *J. Opt. Soc. Amer.* 58(2), 188-91(1968)(Eng). A different exptl. technique involving continuous flow of premixed samples through a 1.25-cm. absorption cell was used to det. the strength of the 667-cm.⁻¹ region of CO₂; a value of 240 ± 20 (atm.-cm.)⁻¹ cm.⁻¹ was obtained. Plots of absorption coeff. vs. frequency are presented and compared with results of other investigators; the interval over which absorption is significant differs from some recently published results. The contribution of the Q branch to the strength is estd. and compared with theoretical calcns.

RCKX

C.A. 1968

68-18

1988

CO

2

C28492e Thermophysical properties of carbon dioxide in the near-critical range. Kessel'man, P. M.; Kotlyarevskii, P. A.; Kamenetskii, V. R. (USSR). Tr. Vses. Nauch.-Tekh. Konf. *Termodin., Sb. Dokl. Sekts. "Termodin. Fazovykh Perekhodov, Potoka Neobratimykh Protsessov" "Teplofiz. Svoistva Veshchestv,"* 3rd 1968 (Pub. 1970), 365-71 (Russ). Leningrad. Tekhnol. Inst. Kholod. Prom.: Leningrad, USSR. Values of the sp. vol., enthalpy, entropy, isobaric sp. heat c_p , viscosity, and thermal cond. were calcd. and are given in tables for 300-20°K and 60-80 bars with accuracies of 1%, 4-5 kJ/kg, 0.3-0.5%, 3-7%, 1-3%, and 2-3%, resp.

J. Pietkiewicz

Cp

S

H_T - H

C.A. 1972. 78.6

CO₂

1968

8 Д175. Абсолютные сечения ионизации и возбуждения CO₂ электронным ударом. McConkey J. W., Burns D. J., Woolsey J. M. Absolute cross sections for ionization and excitation of CO₂ by electron impact. «J. Phys. (Proc. Phys. Soc.) [formerly «Proc. Phys. Soc.»], 1968, В 1, № 1, 71—76 (англ.)

С помощью пересекающихся молекулярного и электронного пучков измерены абр. сечения ионизации с возбуждением молекулы CO₂ электронным ударом. Измелились абр. интенсивность излучения полос переходов из возбужденных состояний иона CO₂⁺ A²P_u⁺ и B²S_u⁺ в основное X²P_g⁺ и относит. интенсивности переходов между различными колебательными уровнями. Для ка-

99. 1968. 89

либровки использовалось известное сечение перехода N_2^+ с длиной волны 3914 Å. Максим. значения сечений ионизации с возбуждением, наблюдавшиеся при энергии электронов 160 эв, оказались равными $22,4 \times 10^{-18}$ и $74,4 \cdot 10^{-18} \text{ см}^2$, соответственно для состояний $B^2\Sigma_u^+$ и $A^2\Pi_u^+$. Найдено, что ф-ции возбуждения указанных состояний CO_2^+ подобны кривой зависимости полного сечения ионизации CO_2 от энергии и что примерно 1/5 и 1/15 всех ионов образуется в состояниях $^2\Pi$ и $^2\Sigma$.

Ю. Н. Беляев

1968

CO₂

Murphy J. S.,
Bogg J. S.)

J. Chemic. Phys., 49(8), 3333

ubiquiti.
modestum

(see. OCS) III

1968

CO₂braun.
Thermal
infrared

43914j High-resolution vibration-rotation spectra of polyatomic molecules. Nielsen, Harald H.; Rao, K. Narahari (Ohio State Univ. Res. Found., Columbus, Ohio). U.S. Clearinghouse Fed. Sci. Tech. Inform., AD 1968, AD-683339, 107 pp. (Eng). Avail. CFSTI. From U.S. Govt. Res. Develop. Rep. 1969, 69(9), 75. Detailed studies were conducted on the rotational structure of the ir bands of linear mols., sym. tops, and asym. rotors by employing high resoln. and high precision ir equipment. The specific mols. dealt with are CO₂, H₂O, C₂H₂, AsH₃, HF, and DF. Usefulness of the results obtained for interpretation of the water vapor laser emissions was recognized. Some of the lab. spectra also play a significant role in the understanding of the high resoln. ir spectra of planets. The techniques developed in the identification and interpretation of overlapping bands which normally occur in the ir region were highly successful. The computer programs developed are also of use in processing speedily high resoln. ir spectra of small mols.

TCVL

+5

C. A. 1969. \$1.10

X

XIV - 9724

1968

CO₂

И.К. Силь

22 Б180. Полосы поглощения двуокиси углерода в области 4,3 μ . Oberly Ralph, Rao K. Natahagi, Hahn Y. H., McCubbin T. K., Jr. "Bands of carbon dioxide in the region of 4,3 microns. «J. Molec. Spectrosc.», 1968, 25, № 2, 138—165 (англ.)

Измерены полосы поглощения двуокиси углерода в области 4,3 μ . Наблюдаемые полосы отнесены к основным колебаниям v_3 четырех изотопич. модификаций исследуемого соединения. С использованием полученных данных определены мол. константы двуокиси углерода. Результаты дают новые критерии для идентификации колебательных уровней CO₂.

Резюме

колебаний
уровни

Х. 1968 · 22

CO₂

Culley

118173r Bands of carbon dioxide in the region of 4.3 microns.
Ralph Oberly, K. Narahari Rao, Y. H. Hahn, and T. K. McCubbin, Jr. (Ohio State Univ., Columbus). *J. Mol. Spectrosc.* 25(2), 138-65(1968)(Eng). The high resoln. spectrum of CO₂ was obtained in the ν₃ region at 4.3 μ. For the ¹²C¹⁶O₂ mol., the following mol. consts. were obtained (vibrational transition, ν₀ (cm.⁻¹); (B' - B'') × 10⁵ (cm.⁻¹), (D' - D'') × 10³ (cm.⁻¹) given): 00⁰1-00⁰0, 2349.142, -307.8 ± 0.3, -0.05 ± 0.05; 01¹c1-01¹c0, 2336.633 ± 0.003, -304.4 ± 0.5, 0.0 ± 0.1; 01¹d1-01¹d0, 2336.633 ± 0.003, -306.4 ± 0.5, 0.0 ± 0.1; 02²c1-02²c0, 2324.142 ± 0.005, -302.3 ± 1.0, + 0.6 ± 0.6; 02²d1-02²d0, 2324.142 ± 0.005, -302.3 ± 1.0, + 0.6 ± 0.6; 10⁰0, 2326.600 ± 0.006, -312.8 ± 1.0, —; 02⁰1-02⁰0, 2327.434, -298.0 ± 1.0, —. For the ¹²C¹⁶O¹⁸O mol., these consts. are 00⁰1-00⁰0, 2332.115 ± 0.006, -291.0 ± 1.0, —. The consts. obtained for ¹³C¹⁶O₂ are 00⁰1-00⁰0, 2383.490 ± 0.004, -296.3 ± 1.0, —; 01¹c1-01¹c0, 2271.764 ± 0.005, -292.8 ± 1.0, —; 01¹d1-01¹d0, 2271.764 ± 0.005, -293.6 ± 1.0, —. For the ¹³C¹⁶O¹⁸O mol., the consts. are 00⁰1-00⁰0, 2265.973 ± 0.010, -275.8 ± 0.7, —.

W. J. Lafferty

C.A. 1968 · 68 · 26

XIV . 972d

CO_2

Petropoulos B.,

1968

Botter R.

Comptes Rendus, 266B, 404

Facteurs de Franck-Condon pour
l'ionisation de CO_2 .

CO_2

Ray R. S.

L1968

Proc. Phys. Soc., London,
At. Mol. Phys., [2] 1(2), 320.

An empirical relation -
ship between bond length
and frequency.

(See. Ch. 4) 111

CO₂

Rothe & S.

1968

McLaa & F.

check

U.S. At. Energy Comm.
CAZ-TR-165, 40 pp.

(all N₂) III

CO_2

1968
Skerbele fl., Dillon M. A.,
Yassettree E. N.

N. Clew. Mus., 49, n 11,
5042

(M₂O) III

1968

CO₂

11 Д161. Общие ангармонические силовые постоянные двуокиси углерода. Suzuki Isao. General anharmonic force constants of carbon dioxide. «J. Molec. Spectrosc.», 1968, 25, № 4, 479—500 (англ.)

Составлена потенц. ф-ция молекулы CO₂, в естественных колебательных координатах, содержащая 12 силовых постоянных 2-го, 3-го и 4-го порядков. Недиагональные матричные элементы векового ур-ния, определяющего уровень колебательной энергии резонанса Фер-

ис. иссл.,

10

и. и.

Ф. 1968. 118

ми, содержат коэф. $\lambda_1, \lambda_2, \lambda_3$ при колебательных квантовых числах v_1, v_2, v_3 и член $\delta J(J+1)$. По опытным значениям колебательной энергии для отдельных диад и полиад определены все 12 силовых постоянных и значения $\lambda_1, \lambda_2, \lambda_3, \delta$ для $C^{12}O_2^{16}$ и $C^{13}O_2^{16}$. В расчете использован метод наименьших квадратов. Переход от естественных колебательных координат к норм. координатам позволил вычислить нулевые частоты, постоянные ангармоничности x в ф-ле, выражающей колебательную энергию через колебательные квантовые числа, постоянные a в ф-ле для вращательной постоянной и силовые постоянные в норм. координатах. Построены потенц. поверхности. Вычислены нулевые частоты, постоянные x, a , вращательные постоянные, уровни энергии диад и полиад и постоянные взаимодействия Ферми для молекул $C^{12}O^{16}O^{18}$, $C^{13}O_2^{16}$, $C^{13}O^{15}O^{18}$.

М. А. Ковнер

1968

*CO₂**M.N.*

90036x General anharmonic force constants of carbon dioxide. Isao Suzuki (Univ. Tokyo, Tokyo, Japan). *J. Mol. Spectrosc.* 25(4), 477-98(1968)(Eng). Twelve force consts. in the general quartic force field of CO₂ were detd. by the least sqs. method from spectroscopic data on ¹²C¹⁶O₂ and ¹³C¹⁶O₂ together with the four 3rd-order parameters, i.e., λ_1 , λ_2 , λ_3 , and δ which appear in the Fermi coupling off-diagonal elements. Inclusion of these 3rd-order parameters is indispensable to obtain a reasonable set of anharmonic force consts. From these force consts., consistent sets of vibrational consts. (ω_{ij} , χ_{ij}''), Fermi coupling consts. (W_{ij}), and rotation-vibration coupling consts. (α_{ij}) were derived for ¹²C¹⁶O₂, ¹³C¹⁶O₂, ¹²C¹⁶O¹⁸O and ¹³C¹⁶O¹⁸O. The calcd. vibrational energy levels and rotational consts. agree with those obtained exptl. A potential energy contour map of CO₂ is given. 18 references.

RCKP

C.A. 1968-68-20

1968

CO₂

7 Д312. Спектры излучения CO₂, возбужденного активным азотом, в области 4,3 и 2,7 μ. Val Jean Louis. Spectre d'émission de CO₂ excité par de l'azoté activé dans les régions de 4,3 et 2,7 μ. «C. r. Acad. sci.», 1968, 266, № 7, В 408—В 411 (франц.)

Получены спектры излучения CO₂, возбужденного активным азотом, в области 2300 и 3600 см⁻¹ на спектрометре с решеткой. Приведена схема кюветы и описаны установка и условия измерений. Произведена идентификация полос. Показано, что активный азот сильно возбуждает уровень ν₃CO₂. Отмечено, что наличие самопоглощения ослабляет интенсивность полос, соответствующих следующим переходам: 00⁹1—00⁰0, 00⁰2—00⁹1 и 00⁹3—00⁹2.

М. Дедюлина

09. 1968. 7 X

CO₂

1968

Culler JP

118236p Emission spectrum of carbon dioxide excited by activated nitrogens in the regions of 4.3 and 2.7 microns. Jean Louis Val (Lab. Photophys. Mol., C.N.R.S., Paris, Fr.). *C. R. Acad. Sci., Paris, Ser. A B* 266B(7), 408-11(1968)(Fr). N-excited (2450 MHz.) emission spectra of CO₂ are shown for 2370-2275 cm.⁻¹ and 3755-3580 cm.⁻¹. In the former region the following systems were observed: 00^o1-00^o0, 00^o2-00^o1, 00^o3-00^o2, 01¹1-01¹0, 01¹2-0¹1, 02^o1-02^o0, and 10^o1-10^o0. In the latter region the following systems were observed: 10^o1-00^o0, 11¹1-01¹0, 12^o1-02^o0, 02^o1-00^o0, and 03¹1-01¹0. Edgar S. Peck

C.A. 1968. 68-26

ВР-XIV-635а 1888

CO₂

2 Б58. Фотоионизация CO₂ и принцип Франка-Кондона для многоатомных молекул. Villarejo Don, Stockbauer Roger, Ingham Mark G. Photoionization of CO₂ and the Franck-Condon principle for polyatomic molecules. «J. Chem. Phys.», 1968, 48, № 7, 3342—3343 (англ.)

Сообщаются результаты измерений энергии пороговых электронов, ведущих при фотоионизации CO₂. Приведенные в форме графика результаты сравниваются с рассчитанными вероятностями колебательных переходов. Найденный потенциал ионизации CO₂ находится в полном согласии со значением, полученным из спектроскопич. измерений. Отмечается хорошее качественное согласие эксперим. результатов с известными расчетами.

Х. 1969. 2

189-XIV-635a 1968

CO₂

2 Д297. Фотоионизация CO₂ и принцип Франка — Кондона для многоатомных молекул. Villagejo Don, Stockbauer Roger, Inghram Mark G. Photoionization of CO₂ and the Franck-Condon principle for polyatomic molecules. «J. Chem. Phys.», 1968, 48, № 7, 3342—3343 (англ.)

(9)

С помощью диффер. анализатора изучены пороговые энергии электронов, образующихся при фотоионизации молекул CO₂ с λ=870—905 Å. Ионизационный потенциал найден равным 899,9±0,5 Å в хорошем согласии с величиной, определенной спектроскопически по средней длине волны дублетного перехода $^2\Pi_g \rightarrow ^1\Sigma_g^+$. Обнаружено два дополнительных максимума, расстояние между которыми 0,159±0,006 эв соответству-

09. 1969. 29

13

ет частоте симметричного валентного колебания молекулярного иона CO_2^+ ($0,1587 \text{ эв} = 1280 \text{ см}^{-1}$). Три наблюдавшиеся полосы отнесены к образованию ионов с колебательными уровнями 0,0,0; 1,0,0; 2,0,0; таким образом, подтверждено, что имеется малая вероятность перехода на уровень 2,0,0. Выполнено сравнение с рассчитанными ранее вероятностями колебательных переходов и с величинами множителей Франка—Кондона, вычисленными в гармонич. приближении; отмечено хорошее соответствие с эксперим. результатами. Библ. 14.

С. Ф. Б.

1968

CO₂

1 Д158. Оценка пропускания Q-ветви полосы CO₂.
Yamamoto G., Aida M. Evaluation of the transmission of the Q branch of the CO₂ band. «J. Quant. Spectrosc. and Radiat. Transfer», 1968, 8, № 6, 1307—1317
(англ.)

Проведено точное вычисление сглаженного коэф. поглощения Q-ветви в спектре молекулы CO₂. При вычислениях использовались табулированные ф-ции. Предложены два способа коррекции метода расчета пропускания на основе использования сглаженного коэф. поглощения, в результате которой этот метод можно применять для расчета пропускания и в случае неперекрывающихся линий. Применение предложенных способов иллюстрируется на примере вычисления пропускания Q-ветви молекулы CO₂ при малых давлениях поглащающего газа. Результаты обсуждаются. В. А. Морозов

Коды. методы.

оценка
поглощ.

д. 1969. 19

1968

CO₂

1 Д159. Уравнения для пропускания полос 2 μ молекул CO₂. Zachor A. S. Equations for the transmittance of the 2 μ CO₂ bands. «J. Quant. Spectrosc. and Radiat. Transfer», 1968, 8, № 6, 1341—1349 (англ.)

На основе использования четырехпараметрич. ф-ции пропускания (точнее двух двухпараметрич. ф-ций, предложенных ранее (РЖФиз, 1968, 11Д585), вычислено среднее пропускание газа CO₂ в интервале 5 см⁻¹ в области спектра 4590—5346 см⁻¹ при различных давлениях газа и длинах пути света в газе. Метод расчета сравнивается с методами, использующими другие ф-ции пропускания. Результаты подробно обсуждаются. В. А. Морозов

91. 1968. 19

2Д187. Вычисление квадратичных силовых постоянных и преобразование координат для молекулы. Ар-

1969

тый Р. И. «Докл. Научно-техн. конференции по итогам научно-исслед. работ за 1968—1969 гг. (апр. 1970 г.). Секц. Теплоэнергетическая. Подсекц. Теплофизическая. Ч. I». М., 1969, 40—52

На примере линейной трехатомной симметричной молекулы XY_2 подробно проанализирована процедура расчета квадратичных силовых коэф. Вычислены силовые коэф. молекулы CO_2 . Получено нелинейное преобразование между декартовыми смещениями и внутренними координатами молекулы XY_2 .

Секц. Иофз.

09.1970. 28

1969

CO₂Te ($\tilde{A}'B_2$)

29445d Calculations of carbon dioxide energy levels. $\tilde{A}'B_2$ state. Benedict, W. S. (Inst. Mol. Phys., Univ. Maryland, College Park, Md.). *Planet. Atmos., Symp.* 1969 (Pub. 1971), 43 (Eng). Edited by Sagan, Carl. D. Reidel Publ. Co.: Dordrecht, Neth. New calcns. of the high vibrational levels of the ground state ($\tilde{X}^1\Sigma_g^+$) give improved fits to the obsd. vibration-rotation bands and confirm the anal. by R. N. Dixon (1963), except that the v_2'' numbering must be lowered by 2. The energy of the $v = 0, K = 0$ level of 1B_2 is $45,210 \pm 10 \text{ cm}^{-1}$.

D. M. Roessler

C.A. 1972

76.6

1969

(CO₂)

H₂O

UK - covered)

(0520p)

84472c Infrared spectra of simple molecules. Benedict,
William S. (Inst. for Mol. Phys., Univ. of Maryland, College
Park, Md.). U.S. Clearinghouse Fed. Sci. Tech. Inform., AD
1969, AD-692943, 43 pp. (Eng). Avail. CFSTI. From U.S.
Govt. Res. Develop. Rep. 1969, 69(21), 85. A summary is given
of work on new interpretation of features in the spectra of CO₂
and water vapor, and of the compilation of tables of lines of those
and other mols. for identification of mol. lines in the ir spectra of
the earth and planets.

TCVL

+1

C.A. 1970.

72.16



1969

CO₂

Д849. Спектры спонтанного излучения мощных лазеров на CO₂ в ближней ИК-области. Bleekrode R. Near-infrared spontaneous emission spectra of high-power CO₂ lasers. «IEEE J. Quant. Electron.», 1969, 5, № 6, 297—298 (англ.)

Экспериментально исследованы спектры спонтанного излучения отпаянного лазера на смеси CO₂—N₂—He—H₂ в диапазоне 5000—9000 Å при помощи сканирующего монохроматора с отражательной решеткой. Установлено, что спектр спонтанного излучения содержит линии, соответствующие переходам первой положит. системы полос N₂(B³P_g—A³S_u⁺), полосы Ангстрема, принадлежащие CO, а также ряд линий кислорода около 7773 и

спектр

09.1970. 12

8447 Å, что указывает на присутствие атомарного кислорода в разряде. Измерены интенсивности переходов при максимальной и минимальной (нулевой) выходной мощности излучения лазера. На основании полученных данных вычислена колебательная т-ра, равная 4300 ± 300 ° К. По радиационному времени жизни состояния $B^3\Pi_g$ оценено время обмена колебательной энергией между CO_2 и $\text{N}_2(B^3\Pi_g)$. Библ. 13. А. И. Сербин

1969

BGP - 1166 - XIV

CO₂

11043lu Accurate rotational constants of ¹²C¹⁶O₂ from measurement of cw [continuous-wave] beats in bulk gallium arsenide between carbon dioxide vibrational-rotational laser lines.
Bridges, T. J.; Chang, T. Y. (Bell Teleph. Lab., Holmdel, N.J.). *Phys. Rev. Lett.* 1969, 22(16), 811-14 (Eng). A room-temp. bulk GaAs mixer is used to mix frequencies of pairs of cw vibrational-rotational CO₂ laser lines, each stabilized to line center. The beat frequencies, in the mm.-wave region of 50-80 GHz., are measured for 37 pairs of transitions to better than 1 MHz. The deduced rotational consts. for the relevant vibrational levels (00°1, 10°0, 02°0) are 25 to 200 times more accurate than the best previous results (from conventional spectroscopy).

RCZV

40.24

C.A. 1969.

CO₂

1969

Изучен.
фотолиз

Б1046 Д. Импульсный фотолиз двуокиси углерода в дальней ультрафиолетовой области. Вагат Франçois. Photolyse-éclair de l'anhydride carbonique dans l'ultra-violet lointain. Thèse Doct.-ingr Fac. sci. Orsay Univ. Paris, 1969, 57 p., ill. (франц.)

Изучена кинетика образования CO при импульсном фотолизе газ. CO₂, чистого (давл. 6,4; 300 и 760 мм) и в присутствии добавок CO, CH₄, H₂, Xe, Ar, He. Изучены также р-ции атомов O(³P) и O(¹D), образующихся при импульсном фотолизе O₂ в смесях с CO, H₂, Xe, Ar, He, SF₆.

В. Е. Скурат

X. 1972. 1

CO_2

Brennle C. R.
Turner D. W.

1969

3

Internat. J. Mass Spectrom.
and. Ion Phys. 1969, 2, 113
195-220



(Ces. N_2O) $\overline{\text{III}}$

CO_2

P.R. Bunker
D. Papoušek.

1969
908

"J. Mol. Spectrosc."

1969, 32, N3, 419 - 429

"The Symmetry Groups of Linear
Molecules.

CO₂

1 Д215. Вращательное возбуждение молекул CO₂ при столкновениях. Chan F. T., Tang C. L. Rotational transition of CO₂ molecule by collisions. «J. Appl. Phys.», 1969, 40, № 7, 2806—2810 (англ.)

1969

Для расчета вращательного возбуждения молекулы CO₂ принятая модель взаимодействия жесткого ротатора с бесструктурной частицей. Энергия взаимодействия выбрана в виде

$$V(r\gamma) = V_0(r) [1 + \lambda P_2(\cos\gamma)],$$

где γ — угол между осью ротатора и направлением пучка, λ — параметр асимметрии и ф-ция $V_0(r)$ аппрокси-мирует короткодействующую часть потенциала Лен-нарда—Джонса для CO₂—CO₂. Для описанной модели вычислены сечения вращательных переходов $J \rightarrow J+2$, времена вращательной релаксации, число столкнове-ний Z и температурная зависимость Z . Из эксперим. данных по среднему числу столкновений в газе CO₂ при $T=300^{\circ}\text{K}$ ($\bar{Z}=1,5$) найдено, что $\lambda=0,31$. В. О.

09. 10 1970.

18

1969

CO₂

107335f Raman spectra of solid carbon dioxide, nitrous oxide, nitrogen, and carbon monoxide. Cahill, J. E.; Leori, George E. (Princeton Univ., Princeton, N.J.). *J. Chem. Phys.* 1969, 51(4), 1324-32 (Eng). See CA 71:8235s. VNJZ

107336g Raman spectroscopic study of metal ion coordination: chloride, bromide, and nitrate complexes of bismuth (III). Oertel, Richard P. (Cornell Univ., Ithaca, N.Y.). 1968, 90 pp. (Eng). Avail. Univ. Microfilms, Ann Arbor, Mich., Order No. 69-5773. From *Diss. Abstr. B* 1969, 29(11), 4083.

SNDC

Pasquati
curledp(NO, N₂)

CO)

+3

C.A. 1969 71.22



CO₂

1969

2 Б176. Спектроскопия с помощью лазерного источника. Изучение колебательно-вращательных переходов $v_3 - v_1$, $v_3 - 2v_2$ и $(v_3 + v_2) - (v_1 + v_2)$ CO₂. Cousin Catherine, Rossetti Colette, Meyer Claude. Spectroscopie avec source laser. Etude des transitions de vibration-rotation $v_3 - v_1$, $v_3 - 2v_2$ et $(v_3 + v_2) - (v_1 + v_2)$ de l'anhydride carbonique. «C. r. Acad. sci.», 1969, 268, № 25, B1640—B1643 (франц.)

Изучены полосы поглощения, соотв-щие колебательно-вращательным переходам $v_3 - v_1$, $v_3 - 2v_2$ и $(v_3 + v_2) - (v_1 + v_2)$ CO₂. В кач-ве источника света использовался одномодовый лазер на CO₂, исследуемый газ находился в многоходовой кювете (эффективная толщина кюветы

X. 1970. 2

6,36—54 м). Изучалась зависимость коэф. поглощения и ширин полос от давл. CO₂, получаемые значения пересчитывались для т-ры 300° К. Изучение аномалий в поглощении на полосе $\nu_3 - 2\nu_2$ позволило оценить также порядок коэф. поглощения на переходе $\nu_3 + \nu_2 - 3\nu_2$. Зависимость уширения полос от давл. хорошо согласуется с теорией уширения спектральных линий, вызываемого соударениями молекул.

А. В. Бобров

1969

CO₂Collin Y. E.
Natalis P.

8i

Bull. Cl. Sci., Acad. Roy.
Belg., 1969, 55, n° 4, 352.
Determination of electro-
nic states and of vibratio-
nal levels of molecular
ions by photodetec-
tron spectroscopy
(Cu. NO) III

CO₂

Cunliffe - Jones & B. 1969

Spectrochim. Acta, A 25,
N 4, 779.

U.K. crew
& parahope

(ave. CCl₄) III

1969

 CO_2

4 Д193. Интенсивности инфракрасных полос и полярности связей. Ч. 1. Постоянные моментов связей в молекулах CO_2 , OCS , CS_2 , CSe_2 и ScSe . Davies P. Rowland, Orville—Thomas W. J. Infrared band intensities and bond polarities. Part I. Bond moment constants in CO_2 , OCS , CS_2 , CSe_2 and SCSe . «J. Molec. Struct.», 1969, 4, № 2—4, 163—177 (англ.)

Приводится таблица длин связей и силовых постоянных в молекулах CO_2 , OCS , CS_2 , CSe_2 , ScSe . По этим данным вычислены элементы матриц обратных форм колебаний. По опытным значениям интегр. интенсивностей в ИК-спектрах этих молекул вычислены абр. значения производных от их дипольных моментов по норм. координатам. Получены ф-лы, связывающие эти производные

+4

9. 1980. 49

☒

с производными от дипольных моментов отдельных связей по их длинам. Расчеты выполнены в нулевом приближении валентно-оптич. теории. Определены численные значения дипольных моментов связей и их производных по длинам связей в газообразном, жидким и твердом состояниях. Сопоставление полученных величин между собой и с электронной структурой исследованных молекул приводит к выводу о недостаточности нулевого приближения:

М. А. Ковнер

1969

CO₂

de Reilhac L.
Damany Astdin N.,
Romand Y.

Kosq. noreco
yesmeur
bau. Y. qb.

Spectrochim. Acta,
Part A, 25(1), 19.

(Cec. Ch.) III

CO₂

1969

1 Б68. Расчет относительной интенсивности для двуокиси углерода — IV. Расчеты функции распределения для изотопозамещенных молекул CO₂. Gray L. D., Young A. T. Relative intensity calculations for carbon dioxide. IV. Calculations of the partition function for isotopes of CO₂. «J. Quant. Spectrosc. and Radiat. Transfer», 1969, 9, № 5, 569—589 (англ.)

Затабулированы колебательно-вращательные и колебательные функции распределения C¹²O₂¹⁶ (I), C¹³O₂¹⁶, C¹²O¹⁶O¹⁸, C¹²O¹⁶O¹⁷ и C¹³O¹⁶O¹⁸ в области т-р 180—300° К с интервалом 10° К. Для 5 из них кол. состояний этих молекул вычислены также вращательные функции распределения. Для I функции распределения пересчитаны с большей точностью, чем ранее. (Пред. сообщ. см. РЖХим, 1967, 2Б127).

Резюме

X · 1970 · 1

CO_2

ИК-спектр

B9P-1620-XIV

1969

Hochan - Demollière Y.

Ann. phys., 1969(1970),
4(2), 89.

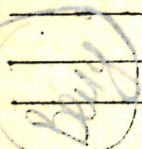
(ал. НСН) III

CO₂

9/20/69 J.W. Johnson

1969

82430j Nonlaser phenomena in sealed carbon dioxide laser.
II. Dissociation of carbon dioxide molecules. Karube, Norio;
Yamaka, Eiso (Matsushita Res. Inst. Tokyo, Kawasaki, Japan).
Nat. Tech. Rep. (Matsushita Elec. Ind. Co., Osaka) 1969,
15(5), 577-84 (Japan). The dissociation of CO₂ in a sealed CO₂
laser during operation has been studied by mass spectroscopy.

gcccc
yaayus

helium neon laser. Boersch, Hans; Stahl, H. (I. Phys. Inst.,
Tech. Univ. Berlin, Berlin, Ger.). *Z. Phys.* 1970, 237(1),
58-68 (Ger). A double laser device of high stability was used to
det. the threshold bandwidth of a He/Ne-laser amplifier and
oscillator. By using 1-laser as a single-mode oscillator and the
other as an amplifier, resonance curves of the amplifier with
bandwidths between $\Delta\nu = 2.5 \times 10^3$ and 1.7×10^6 Hz were
recorded. By operating the 2 lasers as single-mode oscillators,
beat frequencies with a bandwidth $\Delta\nu \approx 100$ Hz were obsd.
Extrapolating these results to the threshold noise power, the
threshold bandwidths $\Delta\nu_R^* = 1.4 \times 10^3$ and $\Delta\nu_R^* = 2.0 \times 10^3$
Hz, resp., are obtained.

RCQW

C.A. 1970 73 16

CO₂

Objevěl Bouček?

1969

24880d Measuring the population of the 00°1 level of carbon dioxide molecules. Levinson, G. R.; Sviridov, A. N.; Tychinskii, V. P.; Frolova, V. G. (USSR). *Radiotekh. Elektron.* 1969, 14(4), 682-5 (Russ). The population in abs. units (n) of the 00°1 CO₂ vibrational level was detd. in gas mixts. of CO₂-He-air by comparing the relative intensity of the spontaneous irradn. from this level on connecting and disconnecting a resonator. The differential equation for the spontaneous decay of the 00°1 level was integrated to a form proper for the app. used. Results are given graphically. Under optimum conditions, $n = 10^{15}/\text{cc.}$ for the CO₂ partial pressure $p = 0.35 \text{ torr}$ and the power output 0.02 w./cc. in a continuous regime, and $n = 1.5 \times 10^{16}/\text{cc.}$ for $p = 1.5 \text{ torr}$, 1 w./cc. in a pulse regime.

Karel A. Hlavaty

C. A. 1969.

41.6

CO₂

1969

7Д333. Ридберговы серии малых молекул. V. Ридберговы серии CO₂. Lindhom Einag. Rydberg series in small molecules. V. Rydberg series in CO₂. «Arkiv fys.», 1939, 40, № 2, 125—128 (англ.).

Уточненные значения квантовых дефектов ридберговых серий (D) CO₂ получены путем сопоставления спектров поглощения с фотоэлектронными спектрами и спектрами энергетич. потерь. Значения D для CO₂ совпадают с таковыми для двухатомных молекул. Исключение составляют $nd\sigma$ -состояния, где $D > 0,31$. Главное отличие от двухатомных молекул состоит в том, что в CO₂ наблюдались переходы, запрещенные правилами $g \leftrightarrow g$, $u \leftrightarrow u$. Библ. 17. Ч. IV см. рф. 7Д332. И. Дворников

Ф. 1970. 7Д

1969

CO₂

ридберговские
серии

13 Б187. Ридберговые серии малых молекул. V. Ридберговые серии молекулы CO₂. Lindholm Einag. Rydberg series in small molecules. V. Rydberg series in CO₂. «Årkiv fys.», 1969, 40, № 2, 125—128 (англ.)

Идентифицированы ридберговые серии электронных полос молекулы CO₂. Отмечено нарушение альтернативного запрета для ряда полос. Показано, что квантовые дефекты для всех уровней за исключением уровня $nd\sigma$, согласуются с соответствующими квантовыми дефектами двухатомных молекул, а для уровня $nd\sigma$ квантовый дефект выше и составляет 0,34. Сообщ. IV см. пред. реф.

М. Р. Алиев

X. 1970.

13

CO₂

XIV-137

1969

105453u General model of anharmonic interaction force constants in polyatomic molecules. Machida, Katsunosuke; Overend, John (Kyoto Univ., Kyoto, Japan). *J. Chem. Phys.* 1969, 51(6), 2537-42 (Eng). A model, previously postulated in a 2-dimensional form and applied to the discussion of anharmonic stretch-stretch interaction force consts. in triat. mol: has been extended to the polydimensional case. In this form it has been used to discuss the anharmonic interaction force consts. coupling the stretching and bending coordinates. Numerical values of the model parameters have been evaluated for CO₂ and HCN.

RCJO

+1

C. A. 1969.

71.22



XIV-137 1969

CO₂

10 Б76. Общая модель для ангармонических силовых постоянных взаимодействия многоатомных молекул.
Machida Katsunosuke, Overend John. General model of anharmonic interaction force constants in polyatomic molecules. «J. Chem. Phys.», 1969, 51, № 6, 2537—2542 (англ.)

Модель, предложенная авторами в пред. работе (J. Chem. Phys., 1969, 50, 4429) для определения ангармонич. коэф. взаимодействия связей многоатомной молекулы, распространена на более общий случай, учитывающий еще ангармонич. коэф. взаимодействия связей с углами. Ангармонич. потенциальная функция в этой модели представляется в виде суммы членов, соотв-щих независимым нелинейным изменениям внутренних координат и членов, соотв-щих одновременному изменению двух или большего числа координат. Результаты применены к вычислению коэф. ангармоничности молекул CO₂ и HCN.

M. P. Алиев

X. 1970.

10



CO₂

1960

24803f Anharmonic stretch-stretch interaction force constants of triatomic molecules. Machida, Katsunosuke; Overend, John (Fac. Pharm. Sci., Kyoto Univ., Kyoto, Japan). *J. Chem. Phys.* 1969, 50(10), 4429-36 (Eng). A model is proposed which, using the generally accepted form of the potential-energy surface in the 2 bond stretching coordinates, allows the prediction of the anharmonic stretch-stretch interaction force consts. from the quadratic interaction force const. The model is applied to CO₂ and N₂O. HCN, OCS, and H₂O are also discussed. RCJQ

74

C.A. 1969

71.6



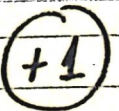
CO₂

1 Д277. Ангармонические силовые постоянные взаимодействия связей в трехатомных молекулах. Machida Katsunosuke, Overend John. Anharmonic stretch-stretch interaction force constants of triatomil molecules. «J. Chem. Phys.», 1969, 50, № 10, 4429—4436 (англ.)

Предложен приближенный способ вычисления ангармонич. силовых постоянных взаимодействия связей 3- и 4-го порядков в трехатомных молекулах из диагональных силовых постоянных 2-, 3- и 4-го порядков, квадратичной силовой постоянной взаимодействия связей и равновесных длин связей. Этот способ основан на модели Хита и Линнета (Heath D. F., Linnett J. W., «Trans. Far. Soc.», 1949, 44, 556), в которой квадратичная силовая постоянная взаимодействия связей выражается через диагональные силовые постоянные, и на представлении диагональных силовых постоянных одной связи в виде ряда по степеням смещения по друг-

9. 1981.

10



гой связи. Предложен также упрощенный вариант этой модели, в котором при помощи эмпирич. соотношений между диагональными силовыми постоянными и межатомным расстоянием число параметров в потенц. ф-ции сокращается. Как исходный, так и упрощенный варианты модели применены к расчету постоянных ангармоничности молекул CO_2 и N_2O . Полученные значения силовых постоянных согласуются с их значениями, найденными из эксперим. данных по спектроскопич. постоянным.

М. Р. Алиев

1969

CO₂

Негребов В.И.

М. Ошорукпесурт.

9

Ханнес , 1969, 10,

15°, 938

(cel. O₂) \bar{m}

CO₂

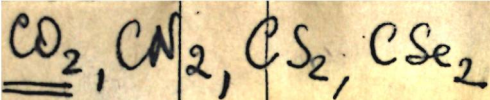
1969

12 Д318. Спектроскопия с использованием лазера.
Исследование и интерпретация аномалий в интенсивности
линий P₅₆ перехода ν₃—ν₁ двуокиси углерода. ~~Rossetti Colette, Meyer Claude, Barchewitz Pierre~~. Spectroscopie avec source laser. Etude et interprétation
des anomalies d'absorption de la raie P₅₆ de la transition
ν₃—ν₁ de l'anhydride carbonique. «С. г. Acad. sci.», 1969,
268, № 26, B1735—B1738 (франц.)

Исследована зависимость интенсивности колебательно-
вращательной линии поглощения P₅₆ перехода ν₃—ν₁ молекулы CO₂. В качестве источника использован лазер на
CO₂. При возрастании давления коэф. поглощения линии
монотонно увеличивается, достигая $(1,1 \pm 0,2) \cdot 10^{-4} \text{ см}^{-1}$.

90, 1969. 120

В области давл. 200—760 мм рт. ст. коэф. поглощения изменяется. Основываясь на сравнении вычисленной и определенной эксперим. зависимости коэф. поглощения от давления, авторы делают вывод, что поглощение в этой области определяется наложением линии P_{56} перехода $v_3 - v_1$ и линии P_{23} «горячего» перехода $(v_3 + v_2) - (v_1 + v_2)$, отстоящих на $0,001 \text{ см}^{-1}$. М. В. Тонков



1969

(м.н.)
расчет

Д 4 Д 175. Исследование некоторых линейных молекул XY_2 с помощью функций Грина. Ramaswamy K., Srinivasan K. Green's function analysis of some XY_2 linear molecules. «J. Molec. Struct.», 1969, 4, № 2—4, 135—143 (англ.)

Изотопическое замещение рассматривается как возмущение, и частоты колебаний возмущенной молекулы вычисляются из векового ур-ния $|\varepsilon\omega^2 G(\omega^2) + I| = 0$, в котором $\varepsilon = (m^{(i)} - m)/m$, I — единичная матрица, ф-ция Грина определяется ф-лой

$$G_{ij}(\omega^2) = \sum l_{ik} l_{jk} (\omega^2 - \omega_k^2)^{-1},$$

+3

Ф. 1970. 4

2

+3

☒

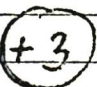
где l — элементы матрицы, связывающей массово взвешенные декартовы и норм. координаты. Применение метода к молекуле XYY^i позволило получить новые изотопич. правила, связывающие частоты колебаний молекул XYY^i и XY_2 . Вычислены частоты колебаний, силовые постоянные, средние амплитуды колебаний, постоянные вращательного искажения и постоянные Кориолиса для различных изотопич. модификаций молекулы CO_2 и радикала CN_2 . Такие же величины найдены для молекул CS_2 и CSe_2 по опытным значениям частот. Во всех случаях получено хорошее совпадение вычисленных и опытных значений молекулярных постоянных. М. А. Ковнер

1969

 CO_2

) 8 Б82. Анализ колебаний некоторых линейных молекул XY_2 методом функции Грина. Ramaswamy K., Srinivasan K. Green's function analysis of some XY_2 linear molecules. «J. Molec. Struct.», 1969, 4, № 2-4, 135—143 (англ.)

Методом функции Грина получены соотношения между частотами изотопических разновидностей линейной молекулы типа XY_2 . Эти соотношения применены к вычислению частот различных сим. и несим. изотопозамещенных молекул CO_2 , CS_2 , CSe_2 и CN_2 . Результаты согласуются с эксперим. данными. Вычислены также силовые постоянные, средне-квадратичные амплитуды колебаний, постоянные центробежного искажения и корицисового взаимодействия этих молекул. М. Р. Алиев

ст. 11..ст. 11. вост.X. 1970· 8

CO₂

Snyder L. C.,
Basch H.

1969

formose

gp-ure

KB.-exex
paciem

J. Amer. Chem. Soc.,
1969, 91, n^o 9, 2189



(C₆H₅)₃C₆H₅

00223.4947

Ph, Ch

C O (8; 4.4)

1969

ATI25

XIV-9825

Schwartz S.E., Thrush B.A. Energies of
vibrational levels 22 to 33 of carbon
monoxide X $^1\Sigma_g^+$. "J. Molec. Spectrosc.",
1969, 32, N 2, 343 -346. (англ.)

оригинал

0050 тираж

8 36 0 4 1 40

ВИНИМ

CO₂

сечения
возбужде-
ния разни-
чных видов колебаний

1969
8 Д381. Возбуждение колебаний вблизи порога в CO₂ и N₂O. Stamatovic A., Schulz G. J. Excitation of vibrational modes near threshold in CO₂ and N₂O. «Phys. Rev.», 1969, 188, № 1, 213–216 (англ.)

Измерены сечения возбуждения различных видов колебаний в молекулах CO₂ и N₂O потоком электронов с энергией, близкой к пороговой. В качестве источника электронов использовался трохоидальный монохроматор с энергетич. распределением 0,05 эВ в полумаксимуме. Газообразный SF₆ использовался в качестве детектора электронов с нулевой энергией, образующихся в результате колебательного возбуждения молекул. Обнаружено, что сечения возбуждения всех основных колебаний имеют один порядок величины. Этот факт рассматривается как свидетельство неприменимости для оптически запрещенных переходов вблизи порога борновского приближения, использующего дипольное взаимодействие. Библ. 16.

И. Дворников

φ · 1970

89

+1



1969

CO₂

22 Б274. Оценка ширины вращательных линий полос
CO₂. Yamamoto G., Tanaka M., Aoki T. Estima-
tion of rotational line widths of carbon-dioxide bands.
«J. Quant. Spectrosc. and Radiat. Transfer», 1969, 9, № 3,
371—382 (англ.)

При помощи теории уширения спектральных линий не-
адиабатич. соударениями, развитой Андерсоном, выпол-
нен расчет ширины вращательных линий 4-х полос пере-
ходов 000—01¹0, 01¹1—02²0, 01¹0—02²0 при 15 μ 000—001
при 4,3 μ молекулы CO₂, обусловленной соударениями
CO₂—CO₂ и CO₂—N₂ с учетом лишь квадруполь-квадру-
польного межмолек. взаимодействия. Вычисления про-
ведены для максвелловского распределения скоростей
при различных значениях квадрупольных моментов CO₂
и N₂. Путем сопоставления результатов расчета с экспе-
рим. данными для чистого CO₂ оценен квадрупольный
момент CO₂.

Резюме

26.1969. 22

ВФ-2373-XIV

1969

CO₂

ЗД170. Изучение изотопических молекул CO₂ и пропускание лазерного излучения атмосферой C¹²O₂¹⁸.

Yin, P. K. L. Studies on CO₂ isotope molecules and atmospheric transmission of ¹²C¹⁸O₂ laser radiation. «Appl. Optics», 1969, 8, № 5, 997—1006 (англ.)

Из частот нулевых колебаний ω_i и постоянных ангармоничности x_{ij} вычислены ангармонич. коэф. k_{ijk} и k_{ijkl} в нормальных координатах 18 изотопич. разновидностей молекулы CO₂. С учетом ангармонич. резонансов вплоть до 3-го порядка из k_{ijk} и k_{ijkl} вычислены энергии ряда колебательных уровней и соответствующие им вращательные постоянные. Результаты использованы для расчета частот и коэф. поглощения различных лазерных колебательно-вращательных переходов изотопов CO₂. В частности, показано, что лазерное излучение на переходе P(20) молекулы C¹²O₂¹⁸ практически не поглощается атмосферой.

М. Р. Алиев

E_i,
б. косм

09. 1970. 80

Opnum 280

